

11-168

2



ISSN 0002-3078

АЗӘРБАЙЧАН ССР ЕЛМЛӘР АКАДЕМИЯСЫ
АКАДЕМИЯНАУН АЗЕРБАЙДЖАНСКОЙ ССР

МӨРҮЗЭЛӘР ДОКЛАДЫ

ТОМ XXXIX ЧИЛД

1983 • 2

ДАН Азерб. ССР публикует краткие сообщения об оригинальных, нигде не печатанных ранее, результатах научных исследований, представленные академиками АН Азерб. ССР, которые тем самым берут на себя ответственность за научные достоинства представляемой статьи.

В «Докладах» не публикуются крупные статьи, механически разделенные на ряд отдельных сообщений, статьи полемического характера, без новых фактических сообщений, статьи полемического характера, без новых фактических данных, статьи с описанием промежуточных опытов, без определенных выводов и обобщений, чисто методические статьи, если предлагаемый метод не является принципиально новым, а также статьи по систематике растений и животных (за исключением описания особо интересных для науки находок).

Будучи органом срочной информации, журнал «ДАН Азерб. ССР» принимает и отбирает к печати статьи, объем которых допускает их публикацию в установленные решением Президиума АН Азерб. ССР сроки.

В связи со всеми перечисленными ограничениями отклонение статьи редакцией «Доклады АН Азерб. ССР» означает только, что она не согласуется с требованиями и возможностями этого журнала и не исключает ее публикации в других изданиях.

ПРАВИЛА ДЛЯ АВТОРОВ

Редакция журнала «Доклады АН Азерб. ССР» просит авторов руководствоваться приведенными правилами и надеется, что авторы ознакомятся с ними прежде, чем пришлют статью в редакцию.

Статьи, присланные без соблюдения этих правил, к рассмотрению не принимаются.

1. Статьи, направляемые в редакцию, должны иметь представление члена АН СССР или академика АН Азерб. ССР, если оно требуется (см. выше).

Статьи с просьбой направить их на представление редакцией не принимаются.

2. Статья публикуется по мере поступления. Единственный поводом для внеочередной публикации является исключительная важность сообщения и соображения приоритета. Для этого необходимо специальное решение редколлегии.

3. Как правило, редакция направляет представленные статьи на рецензию.

4. «Доклады» помещают не более трех статей одного автора в год. Это правило не распространяется на членов АН СССР, академиков Академии наук Азерб. ССР.

5. Авторы должны определить раздел, в который следует поместить статью, а также дать индекс статьи по Универсальной десятичной классификации (УДК). К статье прилагается отпечатанный на машинке реферат в двух экземплярах, предназначенный для передачи в один из реферативных журналов ВИНИТИ.

6. В конце статьи нужно указать полное название учреждения, в котором выполнено исследование, фамилии всех авторов а также полный почтовый адрес и номер телефона (служебный и домашний) каждого соавтора.

Кроме того, авторский коллектив должен указать лицо, с которым редакция будет вести переговоры и переписку.

7. Возвращение рукописи автору на доработку не означает, что статья принята к печати. После получения доработанного текста рукопись вновь рассматривается редакторами. Доработанный текст автор должен вернуть вместе с первоначальным экземпляром статьи, а также ответом на все замечания. Датой поступления считается день получения редакцией окончательного варианта статьи.

8. В «Докладах» публикуются статьи, занимающие не более $\frac{1}{4}$ авторского листа (6 страниц машинописи). В этот объем входят текст, таблицы, библиография (не больше 15 источников) и рисунки, число которых не должно превышать четырех, включая и обозначения «а», «б» и т. д. в том числе вклейки на мелованной бумаге. Вклейки даются только для микрофотографий большого увеличения. Штриховые рисунки (карты, схемы и т. п.) на вклейках не печатаются, а даются на кальке. Текст и графический материал представляются в двух экземплярах. Повторение одних и тех же данных в тексте, таблицах и графиках недопустимо. Рисунки должны быть выполнены четко, в формате, обеспечивающем ясность передачи всех деталей. Фотографии представляются на глянцевой бумаге. Подписи к рисункам должны быть напечатаны в 2-х экземплярах через два интервала на отдельной странице. На обороте рисунков мягким карандашом указываются фамилии авторов, название статьи и номер рисунка.

(Продолжение на третьей странице обложки)

МЭРҮЗЭЛЭР ДОКЛАДЫ

ТОМ XXXIX ЧИЛД

№ 2

«ЕЛМ» НЭШРИЙЛТЫ-ИЗДАТЕЛЬСТВО «ЭЛМ»
БАКУ-1983-БАКУ



РЕДАКЦИОННАЯ КОЛЛЕГИЯ:

Г. Б. Абдуллаев (главный редактор), М. Т. Абасов,
 Ал. А. Ализаде, (зам. главного редактора), В. С. Алиев, Г. А. Алиев,
 Дж. А. Алиев, И. Г. Алиев, Дж. Б. Гулиев, Н. А. Гулиев,
 М. З. Джазаров, Ф. Г. Максудов, А. А. Надиров,
 Ю. М. Сейдов (зам. главного редактора),
 М. А. Усейнов, Г. Г. Зейналов (ответств. секретарь).

УДК 517.97

МАТЕМАТИКА

А. Ф. КОНОНЕНКО, У. М. МУХТАРОВ

**О СИТУАЦИЯХ РАВНОВЕСИЯ В НЕАНТАГОНИСТИЧЕСКИХ
ДИФФЕРЕНЦИАЛЬНЫХ ИГРАХ СО СВЯЗАННЫМИ
ОГРАНИЧЕНИЯМИ**

(Представлено академиком АН Азербайджанской ССР Ф. Г. Максудовым)

Последнее время потребности решения практических задач определили новые постановки игровых проблем. К таковым относятся игры со связанными ограничениями.

Первые постановки таких задач рассматривались в работах [2], [3], [4], в которых исследовались динамические модели принятия экономических решений. Далее аналогичные вопросы рассматривались в работе [7], в которой основное внимание уделялось анализу программных управлений. В [6] рассматривается антагонистическая дифференциальная игра со связанными ограничениями. Под связанными ограничениями понимаются ограничения, не распадающиеся на прямое произведение множеств допустимых стратегий каждого из игроков.

В настоящей работе приводятся необходимые и достаточные условия существования ситуаций равновесия в дифференциальных играх на классе позиционных стратегий со связанными ограничениями, т. е. стратегий, являющихся функциями времени и фазовых координат.

Итак, рассмотрим управляемую динамическую систему, описываемую дифференциальным уравнением

$$\dot{x} = f(x, u_1, u_2, t), \quad 0 \leq t \leq T, \quad (1)$$

$$x(0) = x^0, \quad (2)$$

$$u_1 \in U_1, \quad u_2 \in U_2, \quad (u_1, u_2) \in P \subset U_1 \times U_2, \quad (3)$$

$$J_1(u_1, u_2) = g_1(x(T)), \quad (4)$$

$$J_2(u_1, u_2) = g_2(x(T)) \quad (5)$$

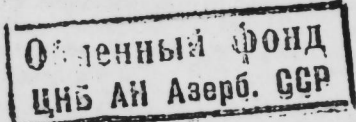
Здесь x — n -мерный вектор, u_1 и u_2 — p_1 , p_2 —мерные вектор-функции, значения которых выбираются игроками 1 и 2 с целью максимизации соответствующих функций выигрыша (4), (5), P —компактное выпуклое множество в пространстве $\{u_1, u_2\}$.

Позиционные, программные стратегии и траектории будем обозначать следующим образом:

$$\begin{aligned} u_{1xt} &= \{u_1(x, t), 0 \leq t \leq T\}, \quad u_{2xt} = \{u_2(x, t), 0 \leq t \leq T\}, \\ u_{1t} &= \{u_1(t), 0 \leq t \leq T\}, \quad u_{2t} = \{u_2(t), 0 \leq t \leq T\}, \\ x_t &= \{x(t), 0 \leq t \leq T\}. \end{aligned} \quad (6)$$

Функция $f(x, u_1, u_2, t)$ и динамическая система удовлетворяют тем же условиям, что и в [1]. Однако ограничение $u \in U, v \in V$ дополняется условием $(u_1, u_2) \in P$.

© Издательство „Элм“ 1983 г.



Адрес: г. Баку, Коммунистическая, 10. Редакция „Известий Академии наук
Азербайджанской ССР“

Выполнение наложенных условий обеспечивает, в частности, существование единственного решения задачи Коши при любом допустимом программном управлении.

Однако при использовании допустимых позиционных управлений может возникнуть ситуация, когда решение задачи Коши не существует. Поэтому оказывается удобно дополнительно ввести понятие "модифицированного" движения [1].

Итак, пусть зафиксирована произвольная начальная позиция $[t_*, x_*]$, и стратегия u_{1x} . Покроем $[t_*, T]$ системой непересекающихся полуинтервалов $\tau_i \leq t < \tau_{i+1}$, $i = 0, 1, \dots, k-1$, $\tau_0 = t_*$, $\tau_k = T$.

Определим ломаные Эйлера таким образом:

$$X^k[t, t_*, u_1(x, t), U_2] = [x_t / \dot{x}^k = f(x^k(t)),$$

$$u_1(x^k(\tau_i), \tau_i), u_2(t), t], t \in [\tau_i, \tau_{i+1}],$$

$i = 0, 1, \dots, k-1$: при произвольных измеримых $u_2(t) \in U_2$, $x^k(t_*) = x_*$

Аналогично определяются ломаные Эйлера

$$X^k[t, t_*, x_*, U_1, u_2(x, t)], X^k[t, t_*, x_*, u_1(x, t), u_2(x, t)]$$

Определение 1. Движением $x(t) \in X^k[t, t_*, x_*, u_1(x, t), U_2]$, порожденным стратегией $u_1(x, t)$ на отрезке $[t_*, T]$ из начальной позиции (t_*, x_*) , будем называть всякую абсолютно непрерывную функцию $x(t)$, для которой на всяком отрезке $t_* \leq t \leq T$ найдется последовательность ломаных Эйлера $x^k(t) \in X^k[t, t^k, x^k, u_1(x, t), U_2]$ равномерно сходящаяся к $x(t)$ при условии $t^k < t \leq T$, равномерно сходящаяся к $x(t)$ при условии

$$\limsup_{k \rightarrow \infty} (\tau_{i+1}^k - \tau_i^k) = 0$$

Пара позиционных стратегий $(u_1(x, t), u_2(x, t))$ называется допустимой, если

$$\forall (x, t) \in X^k[t_0, x_0, u_1(x, t), u_2(x, t)], t \}$$

выполняется $(u_1(x, t), u_2(x, t)) \in P$,

где $X^k[t_0, x_0, u_1(x, t), u_2(x, t)]$ — объединение движений $x(t) \in X[t_0, x_0, u_1(x, t), u_2(x, t)]$, $\delta(t)$ — непрерывно по t , $\delta(t) > 0$, $t \in [t_0, T]$ и $\delta(T) = 0$.

Аналогично определяется множество допустимых пар программных стратегий (u_1, u_2) .

Множество движений x_t , порожденных допустимыми стратегиями (u_1, u_2) и проходящих через точку (t_*, x_*) , обозначим $\hat{X}[t_*, x_*, u_1, u_2]$.

Совокупность движений, порожденных стратегий u_{1xt} при переборе всех управлений u_{2xt} т. ч. пара (u_{1xt}, u_{2xt}) является допустимой, обозначим $\hat{X}[t_*, x_*, u_{1xt}, U_2]$. Аналогичный смысл имеют множества $\hat{X}[t_*, x_*, U_1, u_{2xt}]$ и $\hat{X}[t_*, x_*, U_1, U_2]$.

Выигрыш $J_1(u_1, u_2, x_t)$ игрока j на некотором движении x_t , порожденном парой допустимых стратегий (u_1, u_2) , равняется по определению $g_j(x(T))$, $j = 1, 2$ и $J_1(u_1, u_2, x_t) = -\infty$, если пара недопустима.

Определим следующие множества

$$P_u = \{u_1 \exists u_2, (u_1, u_2) \in P\}$$

$$P_u = \{u_2 \exists u_1, (u_1, u_2) \in P\}$$

В силу того, что выбор связанных стратегий и реализация их в каждой позиции производится при отсутствии априорной информации у игроков о конкретном движении из множества возможных движений, имеет смысл с целью уточнения описания неантагонистической игры для заданной позиции (τ, x^*) и фиксированных допустимых управлений понятие [1] ожидаемого выигрыша $J_j^{ok}(\tau, x^*, u_1, u_2)$, $j = 1, 2$, стремление к максимизации которого и определяет выбор игроками той или иной стратегии. Очевидно, в любой позиции (τ, x^*) должно иметь место неравенство

$$\hat{X}[\tau, x^*, u_1, u_2] \stackrel{\min}{\sim} g_j(x(T)) < J_j^{ok}(\tau, x^*, u_1, u_2) < \hat{X}[\tau, x^*, u_1, u_2] \stackrel{\max}{\sim} g_j(x(T))$$

Определение 2. Пара позиционных стратегий (u_{1xt}^0, u_{2xt}^0) образует ситуацию равновесия в игре (1)–(5), если

1) управлении (u_{1xt}^0, u_{2xt}^0) допустимы и порождают единственное решение задачи Коши (1)–(2), которое является и единственным движением, т. е. при всех t имеет место

$$X[t, x^0(t), u_{1xt}^0, u_{2xt}^0] = [x^0(\tau), t < \tau < T]$$

2) выполняются равенства

$$J_1(u_{1xt}^0, u_{2xt}^0, x_t^0) = \max_{u_{1xt}} J_1(u_{1xt}, u_{2xt}), t \in [0, T] \quad (7)$$

$$J_2(u_{1xt}^0, u_{2xt}^0, x_t^0) = \max_{u_{2xt}} J_2(u_{1xt}^0, u_{2xt}), t \in [0, T] \quad (8)$$

Определим минимаксные выигрыши игроков в соответствующих антагонистических играх:

$$L_1(\tau, x^*) = \inf_{u_{2xt}} \max_{u_{1xt}} g_1(x(T))$$

$$L_2(\tau, x^*) = \inf_{u_{1xt}} \max_{u_{2xt}} g_2(x(T))$$

Построим семейство множеств (стабильных мостов [5]), зависящих от параметра c_2 , фигурирующее среди значений функции $g_2(x(T))$

$$W_2(c_2) = \{(t, x) / L_2(t, x) < c_2 = \text{const}\} \quad (9)$$

и, следуя [5], построим множество $M_2(c_2)$

$$M_2(c_2) = \{(t, x) / t = T, g_2(x(T)) < c_2\}$$

Верны следующие леммы.

Лемма 1. Существует стратегия $u_1^*(x, t)$ первого игрока такая, что для любой позиции $(t_0, x_0) \in W_2(c_2)$ справедливо

$$\{t, \hat{X}[t_0, x_0, u_1^*(x, t), U_2]\} \in W_2(c_2)$$

Лемма 2. Существует стратегия $u_2^*(x, t)$ второго игрока такая, что для любой позиции $(t_0, x_0) \in W_1(c_1)$ справедливо

$$\{t, \hat{X}[t_0, x_0, U_1, u_2^*(x, t)]\} \in W_1(c_1)$$

Здесь множества $W_1(c_1), M_1(c_1)$ аналогичны $W_2(c_2), M_2(c_2)$.

Определим множество решений для системы (1)–(5) следующим образом:

$$X^p[0, x^0, U_1, U_2] = \{x(t) / \dot{x} = f(x(t), u_1(t), u_2(t), t), (u_1(t), u_2(t)) \in P\}$$

и следующие подмножества этого множества

$$\hat{D}_x^j = \{x_t \in \hat{X}^p [0, x^0, U_1, U_2] / g_j(x(T)) > L_j(t, x(t)), t \in [0, T]\},$$

$$D_x^j = \{x_t \in \hat{X}^p [0, x^0, U_1, U_2] / g_j(x(T)) > L_j(t, x(t)), t \in [0, T]\}$$

$$\hat{D}_x = \bigcap_{j=1,2} \hat{D}_x^j, \quad D_x = \bigcap_{j=1,2} D_x^j$$

Введем всюду плотное в $\hat{X}^p [0, x^0, U_1, U_2]$ подмножество $\hat{X}^k [0, x^0, U_1^k, U_2^k]$, где U_1^k, U_2^k —множества кусочно-постоянных функций $(u_1^k, u_2^k) \in P$

Обозначим $D_x^k = D_x \cap \hat{X}^k [0, x^0, U_1^k, U_2^k]$, заметим, что $\rho_{\text{II}}(D_x^k, D_x) = 0$, где $\rho_{\text{II}}(\cdot)$ —расстояние по Хаусдорфу.

Сформулируем теорему существования ситуации равновесия.

Теорема 1. Пусть

$$D_x^k \neq \emptyset$$

Тогда в игре (1)–(5) существует допустимая пара $(u_1^0(x, t), u_2^0(x, t))$, которая порождает x_t^0 и образует ситуацию равновесия. Доказательство сводится к построению равновесных стратегий.

Построим следующие позиционные стратегии:

$$u_1^0(x, t) = \begin{cases} u_1^0(t), & \text{при } (t, x) \in W_2(c_2) \\ u_1^{\prime\prime}(x, t), & \text{при } (t, x) \in W_2(c_2) \end{cases} \quad (10)$$

$$u_2^0(x, t) = \begin{cases} u_2^0(t), & \text{при } (t, x) \in W_1(c_1) \\ u_2^{\prime\prime}(x, t), & \text{при } (t, x) \in W_1(c_1) \end{cases} \quad (11)$$

Можно показать, что стратегии вида (10), (11) удовлетворяют всем условиям определения 2 равновесных позиционных стратегий.

Справедлива следующая теорема.

Теорема 2. Если в игре (1)–(5) существует ситуация равновесия в позиционных стратегиях со связанными ограничениями, тогда

$$\hat{D}_x \neq \emptyset$$

Замечание. Полученные результаты верны для случая, когда $P_{u_j} \subset U_j$, $j = 1, 2$. В этом случае всегда \hat{D}_x совпадает со множеством всех решений, так как появляется возможность взаимных угроз по выводу из допустимого множества.

Литература

- Копоненко А. Ф. ЖВМ и МФ, 20, № 5, 1105–1116, 1980.
- Копоненко А. Ф., Мамедов М. Б. Труды Межд. конф. «Моделирование экономических процессов». Ереван, 1974.
- Копоненко А. Ф. В Всесоюз. совещ.-семинаре по управлению большими системами. Тез. докл. Алма-Ата, 1978.
- Гермейер Ю. Б., Монсеев Н. Н. Сб. «Проблемы прикладной математики и механики». «Наука», М., 1971.
- Красовский Н. Н., Субботин А. И. Позиционные дифференциальные игры. «Наука», М., 1974.
- Красовский Н. Н. Сб.: «Игровые задачи управления». УНЦ АН СССР, 1977.
- Сучков А. П. Канд. дисс. М., 1980.

А. Ф. Копоненко, У. М. Мухтаров

ИДАРЭЕДИЧИЛЭР ҮЗЭРИНДЭ БИРКЭ МЭҮДУДЛУГ ШЭРТИ ОЛДУГДА ГЕЈРИ-АНТАГОНИСТИК ДИФФЕРЕНСИАЛ ОҮҮНЛАР ҮЧҮН ДАЯНЫГЛЫГ ВЭЗИЙЛЭТИ ҮАГГЫНДА

Магадэ гејри-антагонистик дифференсаал оүүнлар үчүн мөвгали стратегијалар үзэриндэ биркэ мөнхдүүдүйжэт олдугда, даляныглыг вэзијјати үчүн зэрүүн өз кафи шэрт алымасыдан бөхөн единлир.

A. F. Koponenko, U. M. Muchtarov

ON EQUILIBRIUM SITUATIONS IN NONANTAGONISTIC DIFFERENTIAL GAMES WITH CONNECTED CONSTRAINTS

In this paper necessary and sufficient conditions are given for the existence of equilibrium situations in nonantagonistic differential games in the class of positional strategies with connected constraints, i. e. the strategies being the functions of time and the phase coordinates.

УДК 517.91

МАТЕМАТИКА

Х. Р. МУРАДОВ

О ПЕРВОЙ КРАЕВОЙ ЗАДАЧЕ ДЛЯ УРАВНЕНИЯ ШРЕДИНГЕРА

(Представлено академиком АН Азербайджанской ССР Ф. Г. Максудовым)

Рассматривается уравнение Шредингера, имеющее вид

$$i \frac{\partial u}{\partial t} = \sum_{p,q=1}^n \frac{\partial}{\partial x_p} a_{pq}(x, t) \frac{\partial u}{\partial x_q} + a(x, t)u + f(x, t), \quad (1)$$

где

$$x = (x_1 \dots x_n) \in G \subset \mathbb{R}^n, t \in (0, T)$$

Будем изучать смешанную краевую задачу при начальном условии

$$U|_{t=0} = 0 \quad (2)$$

и граничном условии

$$U|_{\partial G \times [0, T]} = 0 \quad (3)$$

Область G предполагается ограниченной. Будем обозначать

$$Q_T = G \times [0, T], \quad \Gamma = \partial G \times [0, T]$$

Коэффициенты уравнения (1) предполагаются бесконечно гладкими в \bar{Q} вещественно значимыми функциями, а также

$$a_{pq} = a_{qp}, \quad \sum_{p,q=1}^n a_{pq} \lambda_p \lambda_q > m |\lambda|^2, \quad \lambda \in \mathbb{R}^n, m = \text{const} > 0$$

Такого вида задача изучалась в работе О. А. Ладыженской [1], где доказано существование и единственность обобщенного решения. Мы будем изучать вопрос о гладкости обобщенного решения, т. е. в каком случае оно будет классическим. При этом существенное внимание будет уделено случаю, когда ∂G не есть гладкая поверхность.

Мы будем рассматривать пространство С. Л. Соболева $W_2^k(Q)$, которое для краткости будем обозначать $W^k(\mathcal{C})$ и пространства $\dot{W}^k(Q)$ — подпространства $W^k(Q)$, состоящее из функций, обращающихся в нуль, когда $(x, t) \in \Gamma$. Дадим определение обобщенного решения. Обобщенным решением задачи (1)–(3) назовем функцию $U(x, t) \in \dot{W}'(Q_T)$ такую, что $U|_{t=0} = 0$ и такую, что если $\Phi(x, t) \in \dot{W}'(Q_T)$, $0 < t \leq T$ верно тождество:

$$\begin{aligned} i \int_{Q_T} \Phi \frac{\partial u}{\partial t} dx dt + \sum_{p,q=1}^n \int_{Q_T} a_{pq}(x, t) \frac{\partial u}{\partial x_q} \frac{\partial u}{\partial x_p} dx dt = \\ = \int_{Q_T} a(x, t) \Phi U dx dt + \int_{Q_T} f \Phi dx dt. \end{aligned} \quad (4)$$

где $dx = dx_1 \dots dx_n$

Ниже всегда будем предполагать, что $f \in L_2(Q_T)$. Наше определение отлично от определения, принятого в работе О. А. Ладыженской [1]. Единственность обобщенного решения доказывается легко. Действительно, пусть U_1, U_2 — два обобщенных решения. Тогда $v = U_1 - U_2 \in W'(Q)$, $v|_{t=0} = 0$ и удовлетворяет тождеству:

$$i \int_{Q_T} \Phi \frac{\partial v}{\partial t} dx dt + \sum_{p,q=1}^n \int_{Q_T} a_{pq}(x, t) \frac{\partial v}{\partial x_q} \frac{\partial \Phi}{\partial x_p} dx dt = \int_{Q_T} a(x, t) \Phi v dx dt \quad (5)$$

при любой $\Phi \in \dot{W}'(Q_T)$. Положим $\Phi = \bar{v}$. Соотношение (5) тогда примет следующий вид:

$$i \int_{Q_T} \bar{v} \frac{\partial v}{\partial t} dx dt + \sum_{p,q=1}^n \int_{Q_T} a_{pq}(x, t) \frac{\partial v}{\partial x_q} \frac{\partial \bar{v}}{\partial x_p} dx dt = \int_{Q_T} a(x, t) v \bar{v} dx dt \quad (6)$$

Взяв в соотношении (6) от обоих частей комплексносопряженную часть, получим:

$$\begin{aligned} -i \int_{Q_T} v \frac{\partial \bar{v}}{\partial t} dx dt + \sum_{p,q=1}^n \int_{Q_T} a_{pq}(x, t) \frac{\partial \bar{v}}{\partial x_q} \frac{\partial v}{\partial x_p} dx dt = \\ = \int_{Q_T} a(x, t) v \bar{v} dx dt \end{aligned} \quad (7)$$

Вычитая почленно обе части равенства (7) из равенства (6) получаем:

$$\int_{Q_T} \frac{\partial}{\partial t} |v|^2 dx dt = 0, \text{ т. е.}$$

$$\int_G |v(x, t)|^2 dx = \int_G |v(x, 0)|^2 dx = 0, \quad v(x, t) = 0$$

и поскольку t произвольно, получаем, что $v = 0$ в Q , значит

$$U_1 \equiv U_2$$

Легко показать, что всякое классическое решение задачи (1)–(3) является обобщенным.

Предположим, что ∂G — бесконечно гладкая поверхность. В этом случае справедлива следующая теорема:

Теорема 1. Если $f \in W^k(Q_T)$, $f_t \in W^k(Q_T)$, $f = 0$ при $t \leq t_k$, $t_k > 0$, то существует решение задачи (1)–(3), такое, что

$$\begin{aligned} U_t \in W^k(Q), \quad \frac{\partial^{|\alpha|} U}{\partial x_1^{\alpha_1} \dots \partial x_n^{\alpha_n}} \in L_2(Q_T) \text{ при } |\alpha| \leq k+2, \text{ причем} \\ |U_t|_{W^k(Q_T)} + \left| \frac{\partial^{|\alpha|} U}{\partial x_1^{\alpha_1} \dots \partial x_n^{\alpha_n}} \right|_{L_2(Q_T)} \leq C \left[|f|_{W^k(Q_T)} + |f_t|_{W^k(Q_T)} \right] \end{aligned} \quad (8)$$

Как следствие этой теоремы получается утверждение, что если $f \in C^\infty(\bar{Q}_T)$, $f = 0$ при $t \leq t_0$, то существует бесконечно дифференцируемое (и, следовательно, классическое) решение задачи (1)–(3). Можно показать, что требование $f \equiv 0$ при $t \leq t_0$ существенно для выполнения утверждения теоремы 1. Константа C в неравенстве (8) от f не зависит.

Доказательство теоремы 1 проводится по следующей схеме. Рассматриваемое вспомогательное уравнение:

$$i \frac{du_2}{dt} = \sum_{p,q=1}^n (1+i\epsilon) \frac{\partial}{\partial x_p} a_{pq} \frac{\partial u_2}{\partial x_q} + a(x,t) U_2 + f_2, (s > 0) \quad (9)$$

Это уравнение параболического типа. Как следует из результатов работы [2], существует и единственное его решение, удовлетворяющее условиям (2), (3). Причем, если $f \in C^\infty(Q_T)$, то $U_2 \in C^\infty(Q_T)$. Важным этапом доказательства теоремы 1 является получение оценок (8) для U_2 , равномерных по x . Это делается энергетическим методом для U_2 , применением оператора дифференцирования к обеим частям уравнения (9) и последующих энергетических оценок для $\frac{\partial^s U_2}{\partial t^s}$, $s \leq k$. Приведенные U_2 по x затем оцениваются с помощью оценок решений эллиптических уравнений (см., например, [3]). Таким же путем получается следующая теорема:

Теорема 2. Если $f \in C^\infty(Q_T)$, все производные f равны нулю при $t=0$, то решение задачи (1)–(3) удовлетворяет неравенству:

$$\|U_2\|_{L_1(Q_T)} + \sum_{l=1}^n \|U_{x_l}\|_{L_1(Q_T)} \leq C \left[\|f\|_{L_1(Q_T)} + \|f_t\|_{L_1(Q_T)} \right], \quad (10)$$

где C зависит только от коэффициентов уравнения (1) и от диаметра области G .

Отличие теоремы 2 от теоремы 1 состоит в том, что константа C в неравенстве (8) зависит от структуры области G , а в неравенстве (10) только от ее диаметра.

Из теоремы 2 нетрудно получить теорему существования обобщенного решения задачи (1)–(3). Для этого область G следует аппроксимировать изнутри последовательностью областей G_m с бесконечно гладкой границей, в $G_m \times [0, T]$ решить задачу (1)–(3) и для ее решения U_m применить оценку (10).

Последовательность U_m оказывается слабокомпактной и ее слабый предел есть обобщенное решение задачи (1)–(3). Так, получается следующая теорема:

Теорема 3. Если $f \in L_2$, $f_t \in L_2$, то обобщенное решение задачи (1)–(3) существует и таково, что $\|U\|_{W'(Q_T)} \leq C (\|f\|_{L_2} + \|f_t\|_{L_2})$.

Будем теперь рассматривать дифференциальные свойства обобщенного решения. Сначала сформулируем теорему о дифференциальных свойствах решения по временной переменной.

Теорема 4. Если $\frac{dt}{dt^l} \in L_2(Q_T)$, $0 < l \leq s$, $f \equiv 0$ при $t \leq t_0$ то обобщенное решение задачи (1)–(3) таково, что

$$\left\| \frac{\partial^{s-1} U}{\partial t^{s-1}} \right\|_{W'(Q_T)} \leq C \sum_{l=0}^s \left\| \frac{\partial^l f}{\partial t^l} \right\|_{L_2(Q_T)}.$$

Рассмотрим теперь случай кусочно-гладкой области G . Более точно, предположим, что ∂G – граница области G состоит из двух бесконечно гладких поверхностей $\partial_1 G$, $\partial_2 G$, пересекающихся вдоль $(n-2)$ -мерного класса C^∞ многообразия l . Вследствие локального характера ре-

зультатов они легко переносятся на случай, когда ∂G состоит из конечного числа попарно пересекающихся многообразий класса C^∞ .

Пусть $\partial_1 G^T = \partial_1 G \times [0, T]$, $\partial_2 G^T = \partial_2 G \times [0, T]$, $l_T = l_0 \times [0, T]$. Предположим, что $\partial_1 G^T$ и $\partial_2 G^T$ пересекаются в точке $P \in l_T$ под углом $\gamma(P)$, $\gamma(P) \in C^\infty$ и требуем, чтобы $0 < \gamma < 2\pi$, $\gamma(P) \neq \pi$. Зафиксируем $P \in l_T$ и приведем оператор

$$\sum_{p,q=1}^n a_{pq}(P) \frac{\partial^2 U}{\partial x_p \partial x_q} \quad (11)$$

к каноническому виду. После приведения угол $\gamma(P)$ преобразуется в некоторый другой угол $\omega(P)$. Заметим, что величина $\omega(P)$ не зависит от способа приведения оператора (11) к каноническому виду. Функция $\omega(P)$ будет участвовать в формулировке следующих теорем:

Теорема 5. Если $\omega(P) < \pi$, $f \in L_2(Q_T)$, $f_t \in L_2(Q_T)$, то обобщенное решение задачи (1)–(3) таково, что $U_{x_p x_q} \in L_2(Q_T)$ и $|U_{x_p x_q}|_{L_2(Q_T)} \leq C (\|f\|_{L_2(Q_T)} + \|f_t\|_{L_2(Q_T)})$.

Заметим, что если окажется $\omega > \pi$, то вторые производные решения могут не принадлежать $L_2(Q_T)$.

Теорема 6. Если $\omega(P) > \pi$, $f \in L_2(Q_T)$, $f_t \in L_2(Q_T)$, то обобщенное решение задачи (1)–(3) таково, что

$$U = C(x, t) r^{\frac{n-\omega}{n}} \Phi(x, t) + U_1(x, t), \quad (12)$$

где $U_1 \in L_2(Q_T)$, $U_{x_p x_q} \in L_2(Q_T)$,

$$\|U_1\|_{L_2(Q_T)} + \|U_{x_p x_q}\|_{L_2(Q_T)} \leq C (\|f\|_{L_2(Q_T)} + \|f_t\|_{L_2(Q_T)})$$

$r(x)$ -бесконечно дифференцируемая функция, совпадающая в некоторой окрестности l_0 с расстоянием от x до l_0 . Функция $\Phi(x, t)$ не зависит от решения, она бесконечно гладкая по t . Если в точке $P \in l_T$ ввести полярную систему координат с центром в P и в плоскости, ортогональной l_0 , то в этой плоскости $\Phi(x, t)$ бесконечно дифференцируемая функция полярного угла. В малой окрестности l_0 она бесконечно дифференцируемая по направлениям, трансверсальным l_0 . Функция $C(x, t)$ зависит от решения, она такова, что

$$\int_{Q_T} \left| \frac{\partial^2 C}{\partial x_p \partial x_q} \right|^2 r^{n-\omega} dx dt + \int_{Q_T} \left| \frac{\partial C}{\partial t} \right|^2 r^{\frac{n-\omega}{n}} dx dt \leq C (\|f\|_{L_2(Q_T)} + \|f_t\|_{L_2(Q_T)})$$

При доказательстве последних двух теорем мы основываемся на оценках производных из теоремы 4, что нам дает $U_1 \in L_2(Q_T)$, после чего, перенося f в левую часть уравнения (1), мы получаем для U эллиптическое уравнение, решения которого изучались в работе [4]. Применение этого результата и дополнительное изучение вида первого слагаемого в формуле (12) приводит к завершению доказательства теорем 4, 5.

Автор выражает свою признательность проф. В. А. Кондратьеву за постановку задачи и ценные советы.

Литература

1. Ладыженская О. А. О нестационарных операторных уравнениях и их приложениях к линейным задачам математической физики. Матем. сб., т. 45, вып. 2, стр. 123—158, 1954.
2. Аграпович М. С., Вишник М. И. Успехи матем. наук, т. 19, вып. 3, стр. 153—161, 1964.
3. Аграпович М. И. Даглис. Нириенберг. Оценки вблизи границы решений эллиптических уравнений в частных производных. ИЛ., 1962.
4. Кондратьев В. А. Диф. уравнения, ч. 6, № 10, стр. 1823—1849, 1970.

Азербайджанский технологический институт

Поступило 21. XII 1981

Х. Р. Мурадов

ШРЕДИНКЕР ТӘНЛИЈИ ҮЧҮН БИРИНЧИ СӘРӘД МӘСӘЛӘСИ ҺАГГЫҢДА

Мәғаләдә Шрединкер тәнлији үчүн ашагыдағы гарышыг сәрәд мәсәләсінө ба-
хызыры:

$$i \frac{\partial U}{\partial t} = \sum_{p,q=1}^n \frac{\partial}{\partial x_p} a_{pq}(x, t) \frac{\partial u}{\partial x_q} + a(x, t) u + f(x, t),$$

нарада ки, $x = (x_1 \dots x_n) \in G \subset R^n$, $t \in (0, T)$. вә үмүмиләшмиш һәллин һамарлы-
ғы мәсәләси өткөннилүр.

Kh. R. Muradov

ON THE FIRST BOUNDARY PROBLEM FOR SHREDINGER EQUATION

In this paper the following mixed boundary problem for Shredinger equation is considered

$$i \frac{\partial u}{\partial t} = \sum_{p,q=1}^n \frac{\partial}{\partial x_p} a_{pq}(x, t) \frac{\partial u}{\partial x_q} + a(x, t) u + f(x, t),$$

where $x = (x_1 \dots x_n) \in G \subset R^n$, $t \in (0, T)$. The problem of smoothness of the general-
ized solution is studied.

АЗӘРБАЙЖАН ССР ЕЛМЛӘР АКАДЕМИЯСЫНЫН' МӘРҮЗӘЛӘРИ

ДОКЛАДЫ АКАДЕМИИ НАУК АЗЕРБАЙДЖАНСКОЙ ССР

ТОМ XXXIX ЧИЛД

№ 2

1983

УДК 523.98

АСТРОНОМИЯ

М. М. МУСАЕВ

ИЗМЕНЕНИЕ КОНТРАСТА ФАКЕЛОВ В ЗАВИСИМОСТИ ОТ ГЕЛИОЦЕНТРИЧЕСКОГО РАССТОЯНИЯ

(Представлено академиком АН Азербайджанской ССР Г. Ф. Султановым)

Изменения контраста факелов при перемещении их по диску Солнца являются единственным источником информации для определения изменения физических параметров в факелах в зависимости от глубины.

Исследование этого вопроса посвящено немало работ. Но нет единого мнения исследователей об изменении контраста факелов при перемещении их по диску Солнца. И существуют варианты наблюдаемой закономерности изменения контраста факелов в зависимости от расстояния от центра диска, которые нашли свои объяснения при предположении температурного дефицита в глубоких слоях факелов.

Естественно, что пока из наблюдений не получена общепринятая достоверная закономерность об изменении контраста факелов в зависимости от гелиоцентрического расстояния, нельзя судить о физической природе факелов вообще. Поэтому исследования изменения контраста факелов в зависимости от гелиоцентрического расстояния и выявление причины существующих разногласий в этой области остаются в числе важных вопросов исследований.

§ 1. Материал наблюдений и его обработка

В данной работе спектры факелов получены нами в ШАО АН Азерб. ССР на спектрографе АСП-20 горизонтального солнечного телескопа АЦУ 5/1 в основном летом 1966 г., частично в 1969 и в 1973 гг., а также в 1964 и 1965 гг.

Материал получен при хороших условиях наблюдения. Обработка материала произведена на усовершенствованном микрофотомере МФ-2 с саморегистрирующим потенциометром. Фотометрические записи произведены поперек дисперсии и построены профили отношений интенсивности факельной эмиссии к интенсивности излучений невозмущенной фотосферы. За значение контраста факелов в каждом случае брались отношения, соответствующие вершинам профилей контура. Подробная обработка материала и некоторые предварительные результаты даны в [2].

§ 2. Результаты обработки и их обсуждение

Ход изменения контраста факелов до диску Солнца обычно определяется на основе наблюдений различных факелов, находящихся на разных расстояниях от центра диска, отличающихся между собой по своим

физическим характеристикам, в том числе по яркости. Поэтому речь идет о ходе изменения контраста «среднего» факела. В качестве кривой контраста, на диаграмме контраст—расстояние от центра диска, берется или некоторая усредненная кривая, или верхняя огибающая точек. Такое усреднение можно сделать, если факелы на одинаковом расстоянии от центра диска не сильно различаются между собой по интенсивности. Когда существует сильный разброс точек и есть достаточное число наблюдений для группирования факелов, то в таком случае нужно их делить хотя бы на две группы: сильных факелов и слабых факелов и рассмотреть изменение контрастов для каждой группы в отдельности. Иначе такое усреднение приведет к неверному результату при определении хода изменений контраста по диску Солнца.

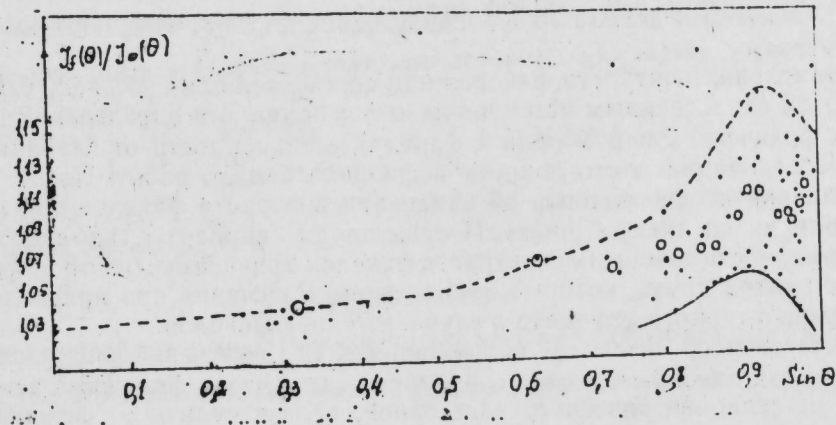


Рис. 1.

На рис. 1 и 2 дается наблюдаемая зависимость контраста факелов от гелиоцентрического расстояния на участке спектра $\lambda=4081,6\text{ \AA}$.

Как видно из рис. 1, такое разделение можно сделать, если провести верхнюю и нижнюю огибающую точек. Уместно сказать, что разброс точек на рисунке не является результатом ошибки измерений, так как ошибка измерений относительных интенсивностей для отдельных случаев не превышает 1%.

На рис. 1 также приведена усредненная кривая (светлые кружки на рисунке). Как видно, такое усреднение приводит к некоторому уменьшению значения контраста сильных факелов в зоне максимума, а в зоне невидимости слабых факелов усредненная кривая фактически описывает контраст сильных факелов. В результате этого на кривой контраста, при переходе на край диска, после максимума образуется небольшой провал, а на самом краю диска небольшой подъем. Исключая из рассмотрения несколько слабых факелов в точке провала, мы получили бы еще одну закономерность для изменения контраста факелов, а именно: контраст отличен от нуля в центре диска и растет к краю до определенного расстояния (это расстояние соответствует расстоянию максимального контраста) и в дальнейшем остается постоянным до края диска.

Из сказанного следует, что в зависимости от соотношений число наблюдаемых сильных и слабых факелов, а также форма кривого контраста меняется. По всей вероятности, именно это является одной из причин существующих разногласий. Невысококачественные наблюдения,

приведшие к уменьшению числа слабых факелов на краю диска, могут привести к монотонному росту контраста.

Как известно, сильные и слабые факелы с точки зрения наблюдения не находятся в одинаковых условиях: слабые факелы лучше всего наблюдаются в зоне максимального контраста. Из [3] и рис. 1 следует, что при переходе к центру диска они практически исчезают. В центре диска наблюдаются только те факелы, у которых контраст при максимуме превышает определенное минимальное значение. Ближе к краю диска число слабых факелов уменьшается, а на самом краю их не видно, что связано как с атмосферными помехами, так и локализацией их в глубоких слоях атмосферы Солнца. Аномально яркие факелы, наблюдавшиеся в зоне падения контраста к краю диска, представляют собой возвышения [2, 4].

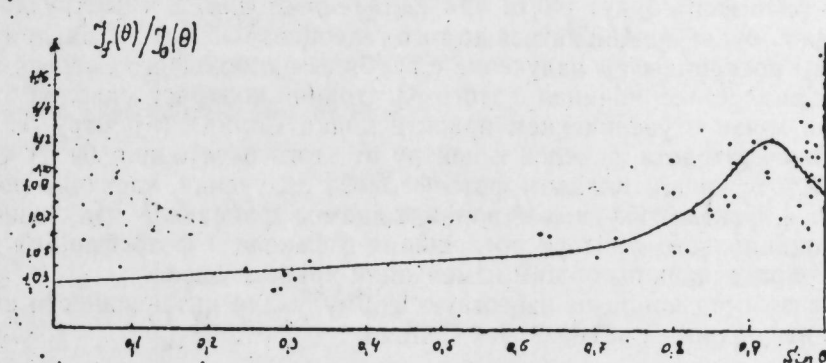


Рис. 2

Создается такое представление, что чем сильнее факелы, тем выше они располагаются на атмосфере Солнца. О локализациях факелов на различных глубинах атмосферы Солнца и возможном влиянии ее на ход изменения кривого контраста говорилось еще в работе [4]. О том, что факелы локализованы в разных глубинах атмосферы Солнца и исчезновение некоторых из них при переходе на край диска связано с их локализацией в глубоких слоях, говорилось еще в [4, 5]. В пользу сказанного, может быть, говорят еще наблюдения [6], показывающие, что факельные гранулы с малыми размерами не поднимаются в верхние слои фотосферы. Уместно оговориться, что если существует закономерность между яркостью и высокой локализацией факелов, то это дает определенную информацию для понимания их природы (причины генерации и т. д.).

Из сказанного следует, что из-за того, что сильные факелы наблюдаются по всему диску, а слабые, в основном, в зоне максимального контраста, их объединение приводит к некоторым неопределенностям при определении хода изменения кривого контраста факелов при перемещении их по диску Солнца. Поэтому факелы, ограниченные нижними огибающими, и оставшиеся в пределе ошибки измерений включаем в число слабых и не рассматриваем, а рассматриваем на изменение контраста сильных факелов (рис. 2). Тем самым кривая контрастов сильных факелов освобождается от деформации за счет слабых факелов.

Как видно из рис. 2, контраст этих факелов в центре диска отличен

от нуля и при переходе к краю диска сперва растет, достигая своего максимального значения на некотором расстоянии от центра, а затем вновь уменьшается к краю диска.

Нужно отметить, что для изучения изменения контраста факелов при перемещении их по диску Солнца, желательно проследить один и тот же факельный элемент по всему диску. Теперь попробуем объяснить наблюдаемое изменение контраста факелов по диску Солнца, не прибегая к предположению температурного дефицита в глубоких слоях факелов, о чем говорилось еще в [3, 4].

Представим некоторый объем фотосферы, более нагретый, чем такой же объем невозмущенной фотосферы. Назовем этот объем факелом. Предположим также, что температура в этом объеме до некоторой глубины растет быстрее, чем в фотосфере.

Естественно, что в таком случае отношения интенсивности излучения факел—фотосфера будут расти при удалении от лимба к центру диска. Этот рост будет продолжаться до того гелиоцентрического угла, при котором мы воспринимаем излучение с глубины наибольшего нагрева данного объема. Далее, начиная с этого расстояния контраст факелов будет падать в связи с увеличением яркости диска Солнца к центру. И ход изменения контраста факелов к центру от этого расстояния будет определяться в основном вкладом фотосферного излучения, частично поглощенного в факеле, вносимым в наблюдаемое факельное излучение. В случае одинакового фактора поглощения в факеле и фотосфере он полностью определялся бы общим изменением яркости диска.

Для ясности напишем известную формулу для интенсивности выходящего излучения на поверхности Солнца:

$$J_O(0,0) = \int_0^{\infty} B_O(h) \bar{e}^{\sec \theta \int_0^h \kappa_O dh} \sec \theta \kappa_O dh, \quad (1)$$

где $B_O(h)$ —функция источника в фотосфере, κ_O —объемный коэффициент поглощения в фотосфере.

Эту формулу можно представить в виде:

$$J_O(0,0) = \int_0^{h'} B_O(h) \bar{e}^{\sec \theta \int_0^h \kappa_O dh} \sec \theta \kappa_O dh + \\ + \left[\int_{h'}^{\infty} B_O(h) \bar{e}^{\sec \theta \left(\int_0^h \kappa_O dh - \int_0^{h'} \kappa_O dh \right)} \sec \theta \kappa_O dh \right] \bar{e}^{\sec \theta \int_0^{h'} \kappa_O dh}, \quad (2)$$

где интеграл в квадратных скобках дает интенсивность падающего на слой толщины излучения от расположенных ниже слоев. Первый же член дает интенсивность излучения слоя фотосферы толщиной h' .

Формулу (2) применим к наблюдаемому факельному излучению:

$$J_f(0,0) = \int_0^{h'} B_f(h) \bar{e}^{\sec \theta \int_0^h \kappa_f dh} \sec \theta \kappa_f dh + \\ + \left[\int_{h'}^{\infty} B_f(h) \bar{e}^{\sec \theta \left(\int_0^h \kappa_f dh - \int_0^{h'} \kappa_f dh \right)} \sec \theta \kappa_f dh \right] \bar{e}^{\sec \theta \int_0^{h'} \kappa_f dh}, \quad (3)$$

где $B_f(h)$ —функция источника в факеле, κ_f —объемный коэффициент поглощения в факеле. Отметим, что в дальнейшем знаки f и O будут относиться к факелу и фотосфере, соответственно.

Предполагая, что при $h \geq h'$ $\kappa_f = \kappa_O$, $B_f(h) = B_O(h)$ и при получим:

$$\int_0^{h'} \kappa_f dh = \int_0^{h'} \kappa_O dh + \int_{h'}^h \kappa_O dh; \quad \int_0^h \kappa_f dh - \int_0^{h'} \kappa_f dh = \int_{h'}^h \kappa_O dh \\ \int_{h'}^{\infty} B_f(h) \bar{e}^{\sec \theta \left(\int_0^h \kappa_f dh - \int_0^{h'} \kappa_f dh \right)} \sec \theta \kappa_f dh = \\ = \int_{h'}^{\infty} B_O(h) \bar{e}^{\sec \theta \left(\int_0^h \kappa_O dh - \int_0^{h'} \kappa_O dh \right)} \sec \theta \kappa_O dh$$

Применим следующие обозначения:

$$\int_0^{h'} B_O(h) \bar{e}^{\sec \theta \int_0^h \kappa_O dh} \sec \theta \kappa_O dh = J^O(0,0)$$

$$\int_0^{h'} B_f(h) \bar{e}^{\sec \theta \int_0^h \kappa_f dh} \sec \theta \kappa_f dh = J^f(0,0)$$

$$\int_{h'}^{\infty} B_f(h) \bar{e}^{\sec \theta \left(\int_0^h \kappa_f dh - \int_0^{h'} \kappa_f dh \right)} \sec \theta \kappa_f dh = \\ = \int_{h'}^{\infty} B_O(h) \bar{e}^{\sec \theta \left(\int_0^h \kappa_O dh - \int_0^{h'} \kappa_O dh \right)} \sec \theta \kappa_O dh = J_n(0, h')$$

$$\int_0^{h'} \kappa_O dh = \tau_O; \quad \int_0^{h'} \kappa_f dh = \tau_f$$

и формулы (2) и (3) напишем вновь:

$$J_O(0,0) = J^O(0,0) + J_n(0, h') e^{-\tau_O \sec \theta}, \quad (4)$$

$$J_f(0,0) = J^f(0,0) + J_n(0, h') e^{-\tau_f \sec \theta}, \quad (5)$$

Из (4) находим:

$$J_n(0, h') = [J_O(0,0) - J^O(0,0)] e^{-\tau_O \sec \theta}, \quad (6)$$

тогда

$$J_f(0,0) = J^f(0,0) + [J_O(0,0) - J^O(0,0)] e^{-(\tau_f - \tau_O) \sec \theta}. \quad (7)$$

Поскольку из наблюдений находим отношение интенсивности факел—фотосфера, то формулу напишем для этого соотношения:

$$\frac{J_f(0,0)}{J_O(0,0)} = \frac{J^f(0,0) + [J_O(0,0) - J^O(0,0)] e^{-(\tau_f - \tau_O) \sec \theta}}{J_O(0,0)} \quad (8)$$

Более подробно о численных расчетах и полученных результатах будет говориться в следующей работе.
Здесь отметим только то, что удовлетворяющие наблюдениями результаты получаются при $t_1 - t_0 \approx 0.57$.

В заключение считаю своим приятным долгом выразить благодарность Г. Ф. Ситникову, В. А. Крату, Н. И. Мороженко за полезные обсуждения.

Литература

1. Мусаев М. М. Изв. АН Азерб. ССР, серия физ.-матем. и техн. наук, № 5, 82, 1969. 2. Мусаев М. М. Солнечные данные, № 12, 1962. 3. Мусаев М. М. Солнечные данные, № 12, 63, 1966. 4. Мусаев М. М. Солнечные данные, № 12, 73, 1968. 5. Крат В. А. Изв. КАО, т. 24, вып. 2, № 178, 19, 1965. 6. Мильер R. Solar phys., 52, № 2, 249, 1977.

Шемахинская астрофизическая
обсерватория им. М. Н. Туси

Поступило 25. XI 1981

М. М. Мусаев

МЭШЭЛЛЭРИИ КОНТРАСТЫНЫИ ҮЕЛЕОСЕНТРИК МЭСАФЭДЭН АСЫЛЫ ОЛАРАГ ДЭЛНИШМЭСИ

Мэглэдэ мэшэллэрии Күнэш диски боју контрастларынын дэлнишмэснэдэй бийс олуулж.

Костарилур ки, мэшэллэрии контрасты дискин мэркэзиндэ сыйфирдан фэргли олуб, кинара кетдикчэ артыр вэ мэддэй мэсэфэдэн сонра јенидэн азалыр. Мэшэллэрии контрастынын диск боју дэлнишмэсий оиларда удулма факторууну фотосфераја иисбэтэн бир гэдэр артыг олмасы ило изан ёдлийр.

Мэшэллээр иэ гэдэр күчлүдүрсэ, бир о гэдэр Күнэш атмосферинии јухары гатлагында јерлэшир.

M. M. Musayev

ON THE CHANGE OF THE FACULA CONTRAST DEPENDING ON THE HELIOPCENTRIC DISTANCE

The change of the facula contrasts depending on the distance from the centre of the solar disk is studied. The faculae are divided into strong and weak. Each group is considered separately.

A conclusion is drawn that the brighter faculae are, the higher they are located in the solar atmosphere. It is stated that the contrast of the strong faculae in the disk centre is not equal to zero and while moving from the center to the solar limb it increases reaching its maximum at some distance from the disk and then it decreases again to the limb. Such decrease of the facula contrasts is explained by the absorption factor which is somewhat greater in the facula than in the photosphere.

АЗЭРБАЙЧАН ССР ЕЛМЛЭР АКАДЕМИЯСЫНЫН МЭРҮЗЭЛЭРИ

ДОКЛАДЫ АКАДЕМИИ НАУК АЗЕРБАЙДЖАНСКОЙ ССР

ТОМ XXXIX ЧИЛД

№ 2

1983

УДК 621.315.61.518.73

ФИЗИКА

М. Г. КЯЗИМОВ, И. Р. АМИРАСЛАНОВ

КРИСТАЛЛИЧЕСКАЯ СТРУКТУРА ДВУХПАКЕТНОГО $CdInGaS_4$

(Представлено академиком АН Азербайджанской ССР Г. Б. Абдуллаевым)

В течение ряда лет в ИФАН Азерб. ССР проводятся исследования электрофизических свойств сложного полупроводникового соединения $CdInGaS_4$. В результате обширного исследования видно [2], что $CdInGaS_4$ обладает сильно выраженным цепочечными, люминесцентными, фоточувствительными и др. свойствами. В связи с этим требуется точная кристаллическая структура данного кристалла, поскольку в зависимости от технологии получения они проявляют различную структурную характеристику, связанную с наличием полиптипий.

Настоящая работа посвящена расшифровке кристаллической структуры кристаллов $CdInGaS_4$, выращенных методом газотранспортной реакции. Существование $CdInGaS_4$ впервые описано в [3], где и приведена ромбоэдрическая ячейка с параметрами $a = 3,85$, $c = 36,94\text{ \AA}$. Соединение с аналогичным составом было получено также при изучении взаимодействия $CdTn_2S_4 - CdGa_2S_4$ [1]. Параметры тригональной решетки кристалла в данном случае характеризовались следующими значениями: $a = 3,91(5)$, $c = 12,72(7)\text{ \AA}$. Из-за недостаточности рентгенографического материала структура была расшифрована на высоком уровне. Однако не оставляет сомнения, что кристалл является однопакетным вариантом структуры состава $ZnIn_2S_4$, где все металлические атомы ошибочно расположены в тетраэдрическом положении в однопакетной структуре.

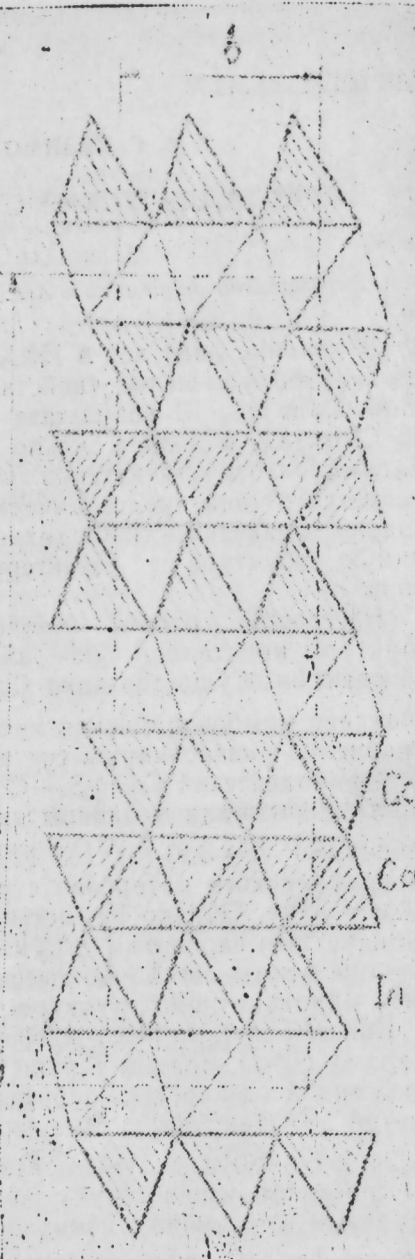
Кристаллы $CdInGaS_4$, выбранные для данного исследования, представляют собой желтые тонкие пластинки, т. е. характеризуются ярко выраженной спайностью перпендикулярно оси "c". На автодифрактометре "Синтекс Р21", были получены параметры: $a = 3,869 \pm 0,003$; $c = 24,668 \pm 0,014\text{ \AA}$; $V = 319,79 \cdot 10^{-24}\text{ см}^3$; $d_{min} = 4,455\text{ г/см}^3$; $z = 2$.

Кристаллическая структура решена на основе [4] независимых неионевых огранений, измеренных на том же автодифрактометре в рамке Феодоровской группы симметрии Р3mI. Трехмерная функция Паттерсона анализировалась с учетом того, что в основе структуры должна лежать восьмислойная упаковка атомов серы в соответствии со значением периода "c". Согласно Белову [3], в восьмислойных шаровых упаковках возможны шесть разновидностей и еще учтевенная двуслойная гексагональная упаковка ... AB ... Анализ трехмерной функции Паттерсона позволил однозначно выбрать последнюю из них с последовательностью ... ABABABAB ...

В связи с тем, что все атомы занимают положения на поворотных осях, требовалось уточнить только их координаты. Эти координаты уточнялись по МНК в линейном приближении. После четырех циклов такого уточнения R-фактор равен 11,2%. В табл. 1

Таблица 1

Атомы	<i>x</i>	<i>y</i>	<i>z</i>
Cd	0	0	0,2500(4)
In	1/3	2/3	0,5959(4)
Ga	1/3	2/3	0,0959(4)
S ₁	1/3	2/3	0,6947(8)
S ₂	1/3	2/3	0,1947(8)
S ₃	1/3	2/3	0,4386(11)
S ₄	1/3	2/3	0,9386(14)

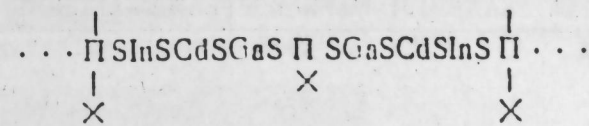


Проекция структуры двухпакетного CdInGaS₄ на плоскость (2110) в квадратичных полиэдрах.

приведены относительные координаты атомов в элементарной ячейке, а в табл. 2—значения межатомных расстояний.

На рисунке приведен план структуры CdInGaS₄. Как видно из плана структуры, атомы Cd занимают октаэдрические, а атомы In и Ga—тетраэдрические пустоты. Расположение атомов в октаэдричес-

ких и атомов In, Ga в тетраэдрических пустотах между слоями атомов S приводит к следующей последовательности:



Как известно, аналогичным способом построена и структура двухпакетного ZnIn₃S₄ [4].

При расположении атомов Cd в октаэдрическом положении для тетраэдрических катионов оказывается возможным всего один вариант. Однако в таком случае для атомных слоев S, которые завершают пакет, оказываются возможным два варианта.

Для S₃ атомов

- 1) 1/3 2/3 0,4372
- 2) 0 0 0,4372

Для S₄ атомов

- 1) 1/3 2/3 0,9386
- 2) 0 0 0,9386

Однако, эти варианты возможны только лишь в рамках принципа плотной упаковки.

Взаимосвязь этих положений с другими атомами по существующей симметрии приводит к статическому распределению атомов S₃ и S₄ в вышеуказанных позициях. Характер химической связи в структуре ковалентный с ионными составляющими.

Таким образом выясняется, что в процессе газотранспортной реакции образуются двухпакетные полигипида наряду с образованием однопакетных или же трехпакетных.

Авторы выражают благодарность Х. С. Мамедову и А. Г. Абдулаеву за ценные советы и помощь в работе.

Литература

- Мехтиев Т. Р., Нани Р. Х., Гусейнов Г. Г. Кристаллическая структура монокристаллов CdInGaS₄. Некоторые вопросы экспериментальной и теоретической физики. Баку, «Элм», 1977. 2. Джурас Н. Д. Канд. дисс. Баку, 1972.
- Shand W. A. Phys. Stat. Sol. (a), 3, k. 77, 1970. 4. Доника Ф. Г., Радауцан С. И., Кноссе Г. А., Семилетов С. А., Доника Т. В., Мустя И. Г. «Кристаллография», 16, 190—192, 1971.

Институт физики

Поступило 1. IV 1982

М. И. Казымов, И. Р. Эмирасланов

ИКИПАКЕТЛИ CdInGaS₄-ЫН КРИСТАЛЛИК СТРУКТУРУ

Мэггалэдэ тригонал симметриясы олчи икипакетли CdInGaS₄-ын кристаллик структуру ашкар едилиши вә ашагыдақы параметрлер тә'жин олумышшур $a = 3,869 \text{ \AA}$; $c = 24,668 \text{ \AA}$; $V = 319,79 \cdot 10^{-24} \text{ см}^3$; $d_{\text{est}} = 4,455 \text{ г/см}^3$; $Z = 2$, Феодор групу $\bar{P}\bar{3}m1$.

Мүэйлән олумышшур ки, Cd атомлары октаэдрик In вә Ga атомлары исо төрәедрик әнатәдә йөрәшир, бұ структур ZnIn₃S₄-ын икипакетли вариантынын структурунун ешнилір.

M. G. Kyasimov, I. R. Amiraslanov

CRYSTALLINE STRUCTURE OF DOUBLE-PACKET CdInGaS₄

The crystalline structure of double-packet CdInGaS₄ having the trigonal symmetry has been decoded. The following parameters are determined: $a = 3,869 \text{ \AA}$; $c = 24,668 \text{ \AA}$; $V = 319,79 \cdot 10^{-24} \text{ cm}^3$; $d_{\text{est}} = 4,455 \text{ g/cm}^3$, Feodorov group $\bar{P}\bar{3}m1$, $Z = 2$.

The structure is established to be the double-packet version of ZnIn₃S₄ structure, where Cd atoms are in the octahedral environment while In and Ga atoms are in the tetrahedral environment.

УДК 548.74

ФИЗИКА

Р. Б. ШАФИЗАДЕ, Ф. И. АЛИЕВ, Р. М. СУЛТАНОВ
ИССЛЕДОВАНИЕ КИНЕТИКИ $\alpha \rightarrow \beta$ ПРЕВРАЩЕНИЯ
В ПЛЕНИКАХ Ag₂Te

(Представлено академиком АН Азербайджанской ССР М. И. Алиевым)

Согласно [1–2], соединение Ag₂Te при 149,5°C претерпевает фазовое превращение. В указанной точке обнаруживается резкое изменение в температурной зависимости электропроводности и постоянной Холла, связываемое с изменением типа химической связи [3–4].

Низкотемпературная α -фаза имеет моноклинную структуру с параметрами решетки $a = 8,09$; $b = 4,48$; $c = 8,96$ Å и $\beta = 123^{\circ}20'$; высокотемпературная β -фаза имеет кубическую решетку (КГЦ) с периодом $a = 6,58$ Å [5–6]. Геометрический анализ структур всех фаз системы Ag–Te проведен в [5], где показано их сходство. Однако кинетика взаимных $\alpha \rightarrow \beta$ переходов в Ag₂Te не исследована.

Настоящая работа посвящена исследованию кинетики $\alpha \rightarrow \beta$ превращения в тонких пленках Ag₂Te. Для этого использовали метод кинематической электронографии [7]. Пленки толщиной ~ 250 Å получали испарением в вакууме 10^{-5} мм. рт. ст. сплава Ag₂Te на свежие сколы NaCl, находящиеся при комнатной температуре. От пленок Ag₂Te были получены изотермические кинематические электронограммы, показывающие $\alpha \rightarrow \beta$ превращения при 160, 175 и 180°C.

На рис. 1 показан процесс $\alpha \rightarrow \beta$ превращения в Ag₂Te при 160°C.

Непрерывная регистрация процесса фазового превращения с помощью кинематической съемки позволяет проследить за уменьшением интенсивности отражений исходной α -фазы. Для построения кинематических кривых были использованы несовпадающие с линиями кубической фазы отражения (100), (110), (111), (123) моноклинной фазы Ag₂Te.

Кинематические электронограммы, снятые при указанных температурах, микрофотометрировались. На рис. 2 приведены микрофотограммы от электронограмм, снятых при 160°C. Из этих микрофотограмм были определены интенсивности анализируемых линий в различные моменты времени.

Учитывая, что интенсивность рассеяния J_{hkl} пропорциональна объему данной фазы [8], и осуществляя переход от интенсивности к объему путем нормировки, построили изотермы $\alpha \rightarrow \beta$ превращения (рис. 3). Эти изотермы хорошо описываются аналитическим выражением $V_t = V_0 [1 - \exp(-kt^m)]$

при $m = 1$, где

V_t — объем превратившейся фазы,

V_0 — объем исходной фазы в начале процесса,
 t — время превращения,
 k — константа, не зависящая от времени,
 m — параметр, характеризующий мерность роста кристалликов.

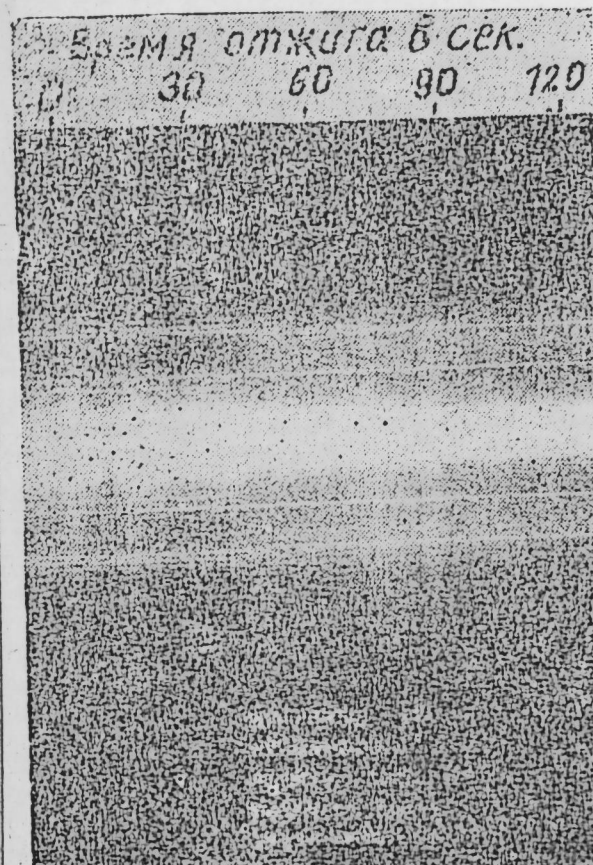


Рис. 1. Кинематическая электронограмма, показывающая $\alpha \rightarrow \beta$ превращение в Ag₂Te при 160°C.

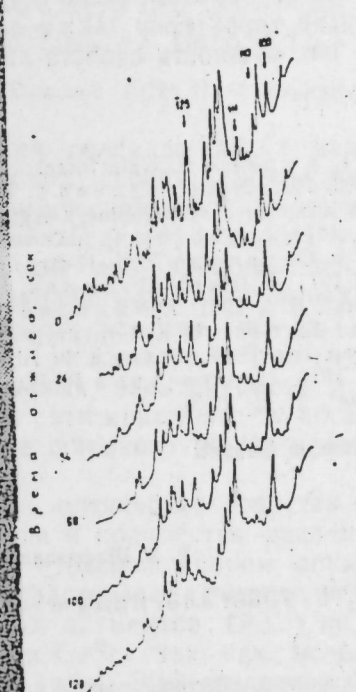


Рис. 2. Микрофотограммы от различных участков кинематической электронограммы, изображенной на рис. 1.

Значения $m = 1$ позволяют сделать вывод о том, что процесс $\alpha \rightarrow \beta$ превращения в Ag₂Te происходит в основном за счет образова-



Рис. 3. Изотермы $\alpha \rightarrow \beta$ превращения.

ния зародышей, а их рост не является определяющим в скорости образования новой фазы.

Значения $\ln k$ для указанных температур соответственно равны: $-4,03$; $-2,80$; $-2,41$. Линейная зависимость $\ln k$ от $1/T$ позволила оценить энергию активации превращения, которая оказалась $\sim 30 \frac{\text{ккал}}{\text{моль}}$.

Сравнение полученных для Ag_2Te результатов с данными по исследованию кинетики $\alpha \rightarrow \beta$ превращений в Ag_2S и Ag_2Se [9,10] показало аналогию в характере кинетических кривых и механизме превращения.

Таким образом, бездиффузионный механизм превращений в Ag_2S и Ag_2Se характерен также для соединения Ag_2Te . В этом проявляется еще раз общность свойств халькогенидов серебра.

Литература

1. Appel J. Z. Naturforschung, 10a, 530. 1955.
2. Rahills P. Z. Phys. Chem., 31, 193. 1936.
3. Абдуллаев Г. Б., Алиев М. И., Алиев С. А., Вердиева Н. А. Кинетические явления в Ag_2Te и Ag_2Se , препринт № 33, Институт физики, Баку, 1974.
4. Uabres G, Messien P., Bull. Soc. Roy. Sci. Liege, 37, 5–8, 328, 1968.
5. Баранова Р. В. Пискер З. Г., Имамов Р. М. "Кристаллография", 16, 1, 1971.
6. Чжоу Цзин-ляи, Имамов Р. М., Пискер З. Г. "Кристаллография", 6, 5, 1961.
7. Эфендиев Г. А., Шафизаде Р. Б. ПТЭ, № 1, 1963.
8. Вайиштейн Б. К. Структурная электронография. Изд-во АН СССР. М., 1956.
9. Нуриев И. Р., Алиев Ф. И., Шафизаде Р. Б. ДАН Азерб. ССР, 27, № 1, 1971.
10. Султанов Р. М., Алиев Ф. И., Шафизаде Р. Б. "Кристаллография", 21, 2, 1976.

Институт физики

Поступило 13. V 1982

Р. Б. Шафизаде, Ф. И. Элиев, Р. М. Султанов

Ag_2Te ТӘБӘГӘЛӘРИНДӘ $\alpha \rightarrow \beta$ ФАЗА КЕЧИДИНИН КИНЕТИКАСЫНЫН ТӘДГИГИ

Кинематик электронографија үсулу илә Ag_2Te тәбәгәләриндә $\alpha \rightarrow \beta$ фаза кечидинин кинетикасы өյрәнілmişdir.

Дифраксија хәтләрини интенсивлијиниң өлчүлмәсі иәтичесинде кечид изотермәри гурулмуш вә мүәйян единицишләр ки, онлар Колмогоров-Авраами дүстүруна табе олурлар. Процес әсас етibarилә жени фазалының яранымасы иссабына баш верир вә онуң активләшмә енержиси 30 ккал/мол-а бәрабәрдир.

R. B. Shafizade, F. I. Aliev, R. M. Sultanov

INVESTIGATION OF THE $\alpha \rightarrow \beta$ TRANSFORMATION KINETICS IN Ag_2Te THIN FILMS

The kinetics of $\alpha \rightarrow \beta$ transformation in Ag_2Te films obtained during the vacuum deposition has been studied by the electron diffraction technique. On the basis of analysis of the (100), (110), ($\bar{1}\bar{2}3$), diffraction line intensities in the isothermal kinematic electron diffraction patterns at 160, 170, 180°C the isotherms are obtained. The experimental isotherms are in good agreement with the analytic Kolmogorov-Avrami expression $V_t = V_0[1 - \exp(-kt^m)]$, where $m=1$. It is shown that the transformation process is generally due to the nucleus formation and the activation energy of this process is $E=30$ kcal/mol.

АЗӘРБАЙЖАН ССР ЕЛМЛӘР АКАДЕМИЈАСЫНЫН МӘРҮЗӘЛӘРИ

ДОКЛАДЫ АКАДЕМИИ НАУК АЗЕРБАЙДЖАНСКОЙ ССР

ТОМ XXXIX ЧИЛД

№ 2

1983

УДК 621.315.592

ФИЗИКА ПОЛУПРОВОДНИКОВ

Г. М. НИФТИЕВ, Б. Г. ТАГИЕВ, С. А. АБУШОВ

ФОТОПРОВОДИМОСТЬ И ТЕРМОСТИМУЛИРОВАННАЯ ПРОВОДИМОСТЬ В МОНОКРИСТАЛЛАХ $\text{GaSe} <\text{Yb}>$

(Представлено академиком АН Азербайджанской ССР М. И. Алиевым)

Одной из характерных особенностей селенида галлия является резко выраженная анизотропия физических свойств, обусловленная слоистостью структуры и анизотропией химической связи. Связь между атомами внутри слоев носит ковалентный характер, а между слоями она является Ван-дер-Ваальсовой. Каждый слой кристалла построен из четырех гексагональных плотноупакованных одноатомных подслоев, расположенных в последовательности $\text{Se}-\text{Ga}-\text{Ca}-\text{Se}$.

Структурные особенности слоистых кристаллов играют существенную роль в появлении ряда интересных электрических и фотоэлектрических явлений в них. Поэтому эти кристаллы в последние годы привлекают пристальное внимание широкого круга исследователей.

Электрические, фотоэлектрические и оптические свойства моноокристаллов GaSe сильно зависят от типа и количества введенных в них примесей и определяются природой и расположением локальных уровней в запрещенной зоне [1–8]. Представляет интерес исследование влияния примесей редкоземельных элементов (РЗЭ) на фотоэлектрические свойства моноокристаллов GaSe , так как вследствие недостроенных внутренних f орбиталей атомы РЗЭ создают в запрещенной зоне широкозонных полупроводников очуствляющие центры [9, 10].

Целью настоящей работы является выяснение роли примеси редкоземельного элемента на фотоэлектрические свойства GaSe . С такой целью в данной работе исследовано спектральное распределение фотопроводимости и термостимулированная проводимость (ТСП) в моноокристаллах $\text{GaSe} <0,03 \text{ ат. \% Yb}>$.

Моноокристаллы $\text{GaSe} <\text{Yb}>$ получены методом Бриджмена. Удельное сопротивление при 293 К вдоль и перпендикулярно слоям составляет $\rho_{||} = 3 \cdot 10^7 \text{ Ом} \cdot \text{см}$ и $\rho_{\perp} = 2 \cdot 10^9 \text{ Ом} \cdot \text{см}$, соответственно. Омические контакты к образцам создавались напылением серебра и индия в вакууме.

Спектральное распределение фотопроводимости исследовано при различных конфигурациях токовых контактов.

На рис. 1 при 77 и 293 К представлены кривые спектрального распределения фоточувствительности для случаев освещения образца со стороны токовых контактов, расположенных на поверхности перпендикулярной гексагональной оси С кристалла (кр. 1 и 2) и для случая, когда узкий световой зонд направлен перпендикулярно оси

С, а сплошные омические контакты нанесены на противоположные поверхности, перпендикулярные оси С. В последнем случае при температуре 293 К примесная фотопроводимость преобладает над собственной ($\lambda = 0,59$ мкм), а также экситонной фотопроводимостью ($\lambda = 0,620$ мкм) и охватывает широкую спектральную область ($\lambda = 0,625 \div 0,875$ мкм). Максимум ее соответствует длине волны 0,74 мкм.

Рис. 1 (кр. 1) показывает, что при 293 К, в случае, когда свет направлен вдоль оси С со стороны токовых контактов на кривой спектрального распределения фотопроводимости выявляются максимумы при длинах волн 0,59, 0,620, 0,66, 0,73 мкм. Сравнение полученных данных с результатами исследований поглощения [2,8], электропоглощения [2,11] и фотопроводимости [12,13] позволяет заключить, что за наблюденный резкий пик при длине волны 0,62 мкм

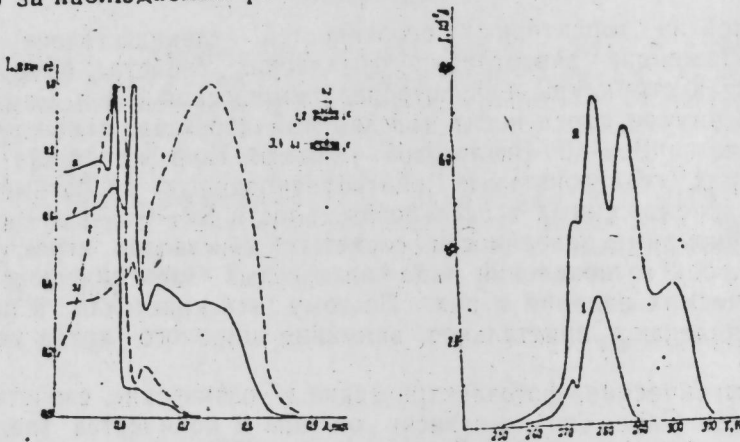


Рис. 1. Спектральное распределение фотопроводимости монокристаллов GaSe <0,03 ат.% Yb> при двух температурах, двух конфигурациях токовых контактов и направлениях светового зонда: 1,3—293 К; 2,4—77 К.

ответственен распад прямого экситона на дефектах кристаллической решетки, а за максимумы при 0,66 и 0,74 мкм ответственны примесные уровни, создаваемые атомами Yb в запрещенной зоне.

При температуре 77 К (кр. 2 и 3) фоточувствительность в примесной области резко уменьшается и становится мало заметной для обеих конфигураций, а для второй конфигурации резкий экситонный пик исчезает.

Резкое увеличение примесной фотопроводимости с ростом температуры указывает на то, что при высоких температурах имеет место термооптическое заполнение электронами уровней, лежащих выше валентной зоны и дальнейшим перебросом их в зону проводимости под действием освещения. Таким образом, из спектра фотопроводимости выявлены электронные уровни, лежащие выше потолка валентной зоны: $E_v + 0,16$ и $E_v + 0,36$ эВ.

Для получения полной информации о параметрах ловушек монокристаллов GaSe <Yb> исследована термостимулированная проводимость.

Заполнение уровней проводилось при 77 К белым светом. На рис. 2 приведены зависимости ТСП от температуры, снятые при скорости нагрева $\beta = 0,1$ К/с и при двух электрических полях из линейной (кр. 1) и нелинейной областей ВАХ. В электрическом поле с напряженностью $F = 2,5 \cdot 10^3$ В/см выявлены два пика с температурами максимумов $T_m = 270$ и 280 К, а при $F = 4,16 \cdot 10^3$ В/см наблюдается четыре максимума с $T_m = 270, 280, 287$ и 301 К, соответственно.

Наличие сильного электрического поля увеличивает величину пиков и способствует выявлению новых пиков, которые в слабых полях не наблюдаются. Анализ каждого максимума кривой ТСП показывает, что для них хорошо выполняются условия [14]:

$$\delta \geq e^{-1} \left(1 + \frac{2\kappa T_m}{E_t} \right), \quad (1)$$

(где E_t —глубина залегания уровня прилипания), т. е. бимолекулярной рекомбинации.

Глубина залегания ловушек определялась формулами, относящимися к быстрым уровням прилипания бимолекулярной рекомбинации методом Бьюба [15], анализ формы кривых ТСП [16, 18], которые в среднем составляли 0,51, 0,54, 0,58 и 0,65 эВ.

Сечения захвата носителей тока ловушками вычислены по формуле [19]

$$S_t = \frac{\beta E_t}{N_v v_t \kappa T_m} \exp \left(\frac{E_t}{\kappa T_m} \right), \quad (2)$$

где v_t —тепловая скорость электронов, N_v —плотность состояний в валентной зоне, K —постоянная Больцмана и равны:

$$S_{t_1} = 6,29 \cdot 10^{-21} \text{ см}^2; \quad S_{t_2} = 4 \cdot 10^{-19} \text{ см}^2; \quad S_{t_3} = 1,2 \cdot 10^{-19} \text{ см}^2; \\ S_{t_4} = 5 \cdot 10^{-19} \text{ см}^2$$

Концентрация ловушек определена по формуле [20]

$$N_t = \frac{j_m \kappa T_m}{e \mu \tau_0 F E_t \beta}, \quad (3)$$

где τ_0 —время жизни свободных носителей при T_0 , μ —подвижность носителей тока, j_m —плотность тока в максимуме ТСП, и равны $N_{t_1} = 5 \cdot 10^{15} \text{ см}^{-3}$, $N_{t_2} = 1,4 \cdot 10^{16} \text{ см}^{-3}$, $N_{t_3} = 2,5 \cdot 10^{16} \text{ см}^{-3}$, $N_{t_4} = 6,5 \cdot 10^{15} \text{ см}^{-3}$, соответственно.

Таким образом, исследование глубоких уровней методами ПФ и ТСП дает полную картину об энергетическом спектре примесей и дефектов (ловушек), образованных введением в GaSe в процессе роста монокристаллов редкоземельного элемента Yb.

Литература

1. Abdullaev G. B., Guseinova E. S. and Tagiev B. G. Phys. Stat. Sol., 16, 205, 1966.
2. Yoshiro Sasaki, Chihiro Hamaguchi and Junichir Nakai. Jap. Journ. Appl. Phys., 14, 494, 1975.
3. Capozzi V., Maziotto G., Montagna M., Cingolani A. and Minafra A. Phys. Stat. Sol. (a), 40, 93, 1977.
4. Schimid P., Volkovskiy J. P. and Mercier. Phys. Stat. Sol. (a), 21, 443, 1974.
5. Depersinge V. and Depersinge C. J. Phys. C. Solid State Phys., 12, 4851, 1979.
6. Manfredotti C., Mancini A. M., Murgi R., Rizzo A., and Vasenelli L. Il Nuovo cimento, 39B, 257, 1977.
7. Мехтиев Н. М., Рудь Ю. В., Салаев Э. Ю. ФТП, 8, 1556, 1978.
8. Le Chi Thanh and Depersinge. Solid State Communication, 21, 317, 1977.
9. Рустамов П. Г., Алиев О. М., Курп

- бапов Т.Х. Тройные халькогениды редкоземельных элементов, с. 227. Изд-во Эли-Баку, 1981. 10. Баграев Н. Т., Власенко Л. С., Меркулов И. А., Лебедев А. А., Юсупов П. ЖЭТФ, 32, 3, стр. 212—216, 1980. 11. Abdullaev S.G., Gadjiev V. A., Kerimova T. G. and Salayev E. Yu. IL Nuovo cimento, 38, 1459, 1977. 12. Addici F., Ferrara M., Tautalo P., Cingolani A., Minnafra A. Phys. Stat. Sol. (a), 15, 303, 1973. 13. Беленский Г. Л., Дильтабазов Т. Г., Нейманзаде И. К., Салаев Э. Ю., Сулайманов Р. А., Мамедов Ш. С. Изв. АН Азерб. ССР, серия физ.-техн. и матем. наук, 4, 47, 1976. 14. Литовченко П. Г., Устянов В. М. В сб. "Актуальные вопросы физики полупроводников и полупроводниковых приборов", с. 153, Вильнюс, 1969. 15. Бьюб Р. Фотопроводимость твердых тел. ИЛ, 1962. 16. Писта Я. А. "Микроэлектроника", 3, 178, 1974. 17. Лушник Н. В. ДАН СССР, 101, 641, 1955. 18. Smithius J. G., Taylor G. W. Phys. Rev., 135, 1619, 1972. 19. Isaak C. H. J. Opt. Soc. Amer., 47, 619, 1957. 20. Бордовский Г. А. В сб. "Фотопроводящие окислы свинца", 87—110, Л., 1976.

Институт физики

Поступило 26. I 1982

К. М. Ниғтијев, Б. І. Тагиев, С. А. Абушов

GaSe<46> МОНОКРИСТАЛЛАРЫНЫН ФОТО ВӘ ТЕРМОСТИМУЛЛАШМЫШ КЕЧИРИЧИЛИЖИ

Мәгәләдә GaSe<46> монокристалларында мұхтәлиф конфигурациялы контактларда 77 әш 300 K температурларда фотокечиричилүүн спектрал најланмасы тәдгіг олуныш дур. Мүәйян едилмишdir ки, температурун 300°-дән 77 K-я гәдәр ашагы дүшмәсі ашгар кечиричилүүн азалмасына сәбәп олур.

Ашгар сәвијжеләр һағында там мә'лumat алмаг учүн термостимуллашмыш кечиричилк тәдгіг едилмишdir. Комплекс тәдгигат иетищесинде дәрінилиji 0,16; 0,36; 0,51; 0,54; 0,58 әш 0,65 eV олар ашгар сәвијжеләр ашқар едилмишdir.

G. M. Niftiev, B. G. Tagiev, S. A. Abushov

PHOTOCONDUCTIVITY AND THERMOSTIMULATED CONDUCTIVITY OF GaSe <Yb> SINGLE CRYSTALS

This paper communicates on the investigation of photoconductive spectral distribution on GaSe <Yb> single crystal at 77 K and 300 K temperatures. It is established that with the decrease of temperature to 77 K impured photoconductivity decreases. To get full information about the impurity level, similar investigation was made by thermally stimulated conductivity. As a result of the investigation it is found out that with the depth of doping the level of impurities occurs to be 0.16, 0.36, 0.51, 0.54, 0.58 and 0.65 eV.

УДК 611.315.592

ФИЗИКА ПОЛУПРОВОДНИКОВ

А. Ш. АБДИНОВ, Я. Г. ГАСАНОВ

ОТРИЦАТЕЛЬНАЯ ФОТОПАМЯТЬ В МОНОКРИСТАЛЛАХ n-InSe

(Представлено академиком АН Азербайджанской ССР М. И. Алиевым)

В [1] сообщалось об индуцированной электрическим полем остаточной отрицательной фотопроводимости в выращенных методом медленного охлаждения при постоянном градиенте температуры вдоль слитка [2] и обладающих свойством положительной фотопамяти монокристаллах селенида индия.

Данная работа посвящена исследованию отрицательной фотопамяти (ОФП), обнаруженной в этом материале при слабых полях (в линейной области темновой ВАХ). Насколько нам известно, это явление к настоящему времени обнаружено лишь в монокристаллах CdInSe [3]. Образцы и измерительная техника были идентичны описанным в [4].

В результате проведенных измерений установлено, что при освещении структуры M-InSe-M (где M-In, Sn, Ag или аквадаг) промесным светом из области $1,15 < \lambda < 2,80$ мкм при $T < 200$ K ее проводимость (или ток через нее в линейной области ВАХ) уменьшается относительно темнового I_t , и после прекращения подсветки исходное значение I_t восстанавливается через длительный промежуток времени (рис. 1), наблюдается отрицательная фотопамять (или остаточная отрицательная фотопроводимость) с максимумом при $\lambda_m \approx 1,70$ мкм. При этом общее изменение тока через образец I_Φ можно выразить в виде $I_\Phi = I_t^- + \Delta I_\Phi^-$. Особенности первого, относительно быстро действующего компонента тока (I_t^-) хорошо объясняются на основе представлений сб обычной, обусловленной генерационно-рекомбинационными процессами в пространственно однородном полупроводнике, отрицательной фотопроводимостью [5], а особенности второго, значительно медленнорелаксирующего компонента (ΔI_Φ^-) в рамках этих представлений не объясняются. Экспериментально I_Φ^- можно оценить повторным освещением образца после установления "квазистационарного" значения тока через образец (рис. 1). В исследуемых образцах при прочих одинаковых условиях (при одинаковых T , Φ , λ , μ) как I_t^- , так и ΔI_Φ^- оказались зависимыми от σ_t и с уменьшением последнего оба они увеличивались. При оптимальных условиях максимальные экспериментально наблюдавшиеся значения $\beta = \frac{I_\Phi^-}{I_t} \cdot 100\%$ и

$$\alpha = \frac{\Delta I_\Phi^-}{I_t} \cdot 100\% \text{ достигали } 85 \text{ и } 30\% \text{ соответственно. На рис. 2 при-}$$

едены характерные кривые зависимости β (рис. 2, кр. 1) и α (рис. 2, кр. 2 и 3) от интенсивности примесной подсветки (Φ). Как видно из этого рисунка, при малых интенсивностях с ростом Φ значения обоих величин увеличиваются, а при больших—зависимости $\beta(\Phi)$ и $\alpha(\Phi)$ выходят на насыщение.

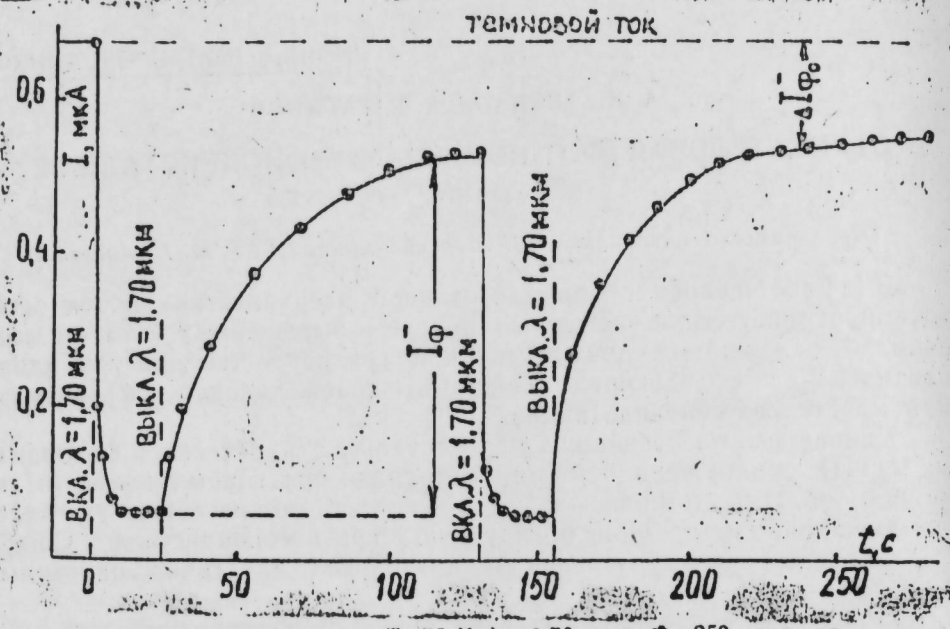


Рис. 1. Кинетика фототока $T=77$ К, $\lambda=1,70$ мкм, $\Phi=250$ огн. ед.

С ростом температуры α уменьшается, а скорость восстановления σ_t после прекращения примесной подсветки сильно возрастает—происходит температурное гашение ОФП. Состояние с ОФП разрушается также освещением образца светом из области собственного поглощения ($0,40 < \lambda < 1,10$ мкм). Установлено, что хотя при относительно малых интенсивностях примесной подсветки каждому Φ соответствует определенное значение α , однако с ростом Φ процесс установления максимального значения ΔI_{Φ} ускоряется (рис. 3а, кр. 1—4). Зависимость скорости установления максимального значения ΔI_{Φ} от Φ более наглядно проявляется при освещении образцов подсветкой с $\Phi=\Phi_n$, где Φ_n —интенсивность, соответствующая началу области насыщения на кривых $\alpha(\Phi)$.

В одном и том же образце процесс создания и разрушения (стирание) состояния с ОФП могут повторяться многократно. При этом обнаруживается высокая восприимчивость основных параметров (β , α , I_{Φ} , ΔI_{Φ} , Φ_n , λ_m). Это, по-видимому, является свидетельством того, что ОФП в исследуемых образцах не связана с необратимыми процессами, в частности, со структурными изменениями кристалла. Возбуждение и сохранение ОФП не зависит также от наличия тока (или слабого электрического поля) в исследуемых образцах, от полярности приложенного к образцу электрического напряжения, от контактного материала, а также от того, освещается ли вся длина образца или же

только ее внеконтактная средняя часть. Эти данные позволяли предполагать, что в рассмотренных нами условиях ОФП не связана с контактами.

Одной из основных особенностей ОФП в кристаллах n -InSe является также то, что она наблюдается лишь в высокоомных кристаллах, которые обладают свойством долговременно релаксирующих проводимостей и индуцированные электрическим полем (инжеекцией) отрицательные фотоэффекты [6].

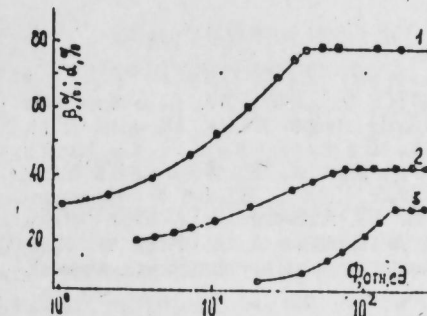


Рис. 2. Зависимость β (кр. 1) и α (кр. 2 через $t = 60$ с, кр. 3—через $t = 120$ с после выключения света) от Φ
 $T = 77$ К, $\lambda = 1,70$ мкм.

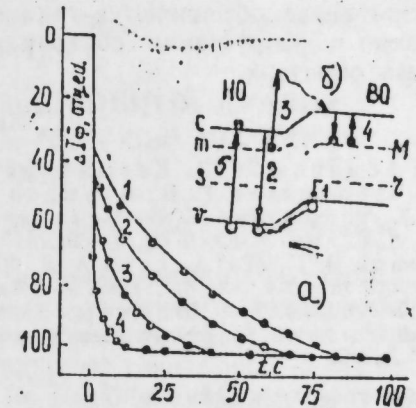


Рис. 3. а) Кривые установления максимального значения ОФП при различных интенсивностях;
 $\Phi_{\text{откл. ф.д.}} = 1-5; 2-20; 3-100; 4-200;$
 $T = 77$ К, $\lambda = 1,70$ мкм.

Рис. 3. б) Модель кристаллов n -InSe со свойством ОФП.

В высокоомных кристаллах n -InSe ОФП не наблюдается, если они предварительно переведены в состояние с остаточным оптическим гашением собственной фотопроводимости, или же—индуцированной электрическим полем отрицательной фотопроводимости. Спектр ОФП позволяет сказать, что она является объемным эффектом, связанным с примесной (а не межзонной) фотогенерацией носителей тока.

Нами предполагается, что отрицательная фотопамять в высокоомных моноокристаллах n -InSe может объясняться на основе аналогично предложенной в [6] барьерной модели (рис. 3.б), суть которой заключается в следующем. Высокоомные кристаллы n -InSe в целом состоят из низкоомной матрицы с высокоомными включениями (НО и ВО соответственно) и примесные центры (уровни прилипания и захвата) в них распределены неоднородно. В частности, мелкие уровни прилипания (t) для электронов и s -центры быстрой рекомбинации локализованы в НО, а медленные r -центры (r) для дырок и глубокие β -уровни прилипания (M) [8] для электронов—в ВО. В исходном состоянии электроны находятся в зоне проводимости НО и частично заполняют t -уровни, а дырки захвачены r -центрами. При этом β -уровни почти пустые. При воздействии на образец примесным светом, во-первых, освобождаются находящиеся в r -центрах дырки, они переходят в НО (переходы 1), где рекомбинируют с электронами проводимости (переходы 2), что обусловливается I_{Φ} , во-вторых, часть электронов

(Δn) из β -уровней (аналогично предложенной в [7]) переходят на β -уровни (переходы 3), где они захватываются надолго при низких температурах. В результате увеличивается число дырок на s -центрах и проводимость образца длительное время (пока захваченные на уровнях β -придипланы электроны не освобождены) остается меньше, чем исходного темнового. Температурное и световое гашение ОФП при этом объясняются термическим освобождением захваченных на β -уровнях электронов (переходы 4) и компенсацией Δn фотогенерированными электронами (переходы 5) соответственно. В рамках этой модели удивительно объясняются также зависимость $\alpha(\Phi)$ и независимость создания и разрушения состояния с ОФП от наличия тока в исследуемых образцах.

Литература

1. Абдинов А. Ш., Кязымзаде А. Г. ФТП, 9, 2382, 1975. 2. Мехтиев Р. Ф., Абдуллаев Г. Б., Ахуидов Г. А. «ДАИ Азерб. ССР», 18, вып. 1, 11, 1982. 3. Абдуллаев Г. Б., Белесильский Г. А., Ларионкина Л. С., Нани Р. Х., Салчев Э. Ю. ФТП, 7, 821, 1973. 4. Абдинов А. Ш., Ахмедов А. А., Гасанов Я. Г., Магомедов А. З. ФТП, 15, 1255, 1981. 5. Бююб Р. Фотопроводимость твердых тел. ИЛ, 1962. 6. Абдинов А. Ш. Автореф. докт. дисс. Баку, 1979. 7. Абдинов А. Ш., Кязымзаде А. Г., Ахмедов А. А. ФТП, 12, 1759, 1978. 8. Рыжкин С. М. Фотоэлектрические явления в полупроводниках. Физматгиз. М., 1963.

АГУ им. С. М. Кирова

Поступило 3. III 1982

Э. Ш. Абдинов, Я. Г. Гасанов

n -InSe МОНОКРИСТАЛЛАРЫНДА МӘНФИ ФОТОЖАДДАШ

Магадан үнсүзү мұтазиметті n -InSe монокристалларында ашагы температураларда ($T < 200$ К) дағы узулалуғу $1,15 < \lambda < 2,80$ мкм олар ишиг тә'сир етдикде мәнфи фотожаддаш мүшениңде едилмеш және бу нағисөнин өсас характеристикалары оյрынналғандар. Жаистергімішдер ки, бағылдан ынталла мәнфи фотожаддаш нағисөси мұхтарлық неге шарттар сәйкесінше тәжірибелінен пайланығы чөнөр модели өсепсінде изол анықталған.

A. Sh. Abdinov, Ya. G. Gasanov

NEGATIVE PHOTOMEMORY EFFECT OF n -InSe SINGLECRYSTALS

The negative photomemory phenomenon in n -InSe single crystals is described. The spectral, temperature and intensity characteristics of this phenomenon were investigated. The results are explained on the base of barrier model.

АЗЭРБАЙЖАН ССР ЕЛМЛЭР АКАДЕМИЯСЫНЫН МӘРҮЗӘЛӘРИ

ДОКЛАДЫ АКАДЕМИИ НАУК АЗЕРБАЙДЖАНСКОЙ ССР

ТОМ XXXIX ЧИЛД

№ 2

1983

УДК 547.962:541.63

БИОФИЗИКА

С. М. УСЕЙНОВА, АЛИ КАЗИМ АЛЬ ЗЕЙИДИ, А. Г. ДАМИРОВ,
И. М. ГОДЖАЕВ

ТЕОРЕТИЧЕСКИЙ КОНФОРМАЦИОННЫЙ АНАЛИЗ ДИПЕПТИДНОГО ФРАГМЕНТА $\text{Gln}^3-\text{Glu}^4$ МОЛЕКУЛЫ ГЛЮКАГОНА

(Представлено академиком АН Азербайджанской ССР Г. Г. Гасановым)

Как известно, глюкагон обладает липолитическим эффектом. Стимулируя липолиз, глюкагон принимает участие в поддержании и контролировании в крови уровней глюкозы, аминокислот и жирных кислот, которые в свою очередь регулируют глюкагоновую секрецию при помощи механизма обратной связи. Выполняемая им биологическая функция связана с его пространственной структурой. Пространственная структура молекулы глюкагона в свою очередь определяется ее первичной структурой, т. е. последовательностью чередования аминокислотных остатков вдоль цепи молекулы. Лобовой расчет трехмерной структуры молекулы глюкагона, состоящей из 29 аминокислотных остатков, исходя из первичной структуры практически невозможен из-за огромного количества предстоящих к рассмотрению вариантов. Поэтому расчет предполагается провести поэтапно, согласно подходу [1]. В данной работе изучена трехмерная структура дипептидного фрагмента $\text{Gln}^3-\text{Glu}^4$. Расчет был произведен на основе атом-атомных взаимодействий. Энергия рассмотренной системы составляет:

$$U = U_{\text{цеп.}} + U_{\text{тор.}} + U_{\text{взл.}}$$

Для каждой расчетной конформации наряду с общей энергией найдены значения энергетических составляющих от скелетных взаимодействий, взаимодействия между основными цепями $U_{\text{ы-б}}$, взаимодействия между основными боковыми цепями $U_{\text{ли-с}}$ и взаимодействия между боковыми цепями $U_{\text{ы-с}}$.

Геометрические параметры—длины связи и валентные углы, потенциальные функции и их параметры взяты из [2].

Отсчет двугранных углов соответствует Международной номенклатуре IUPAC—IVB [3]. Для удобства обозначений конформаций введены идентификаторы: форма основной цепи определяется набором буквенных обозначений, отвечающих R ($\phi \sim 0^\circ - 180^\circ, \psi \sim 0^\circ - 180^\circ$), B ($\phi \sim 0^\circ - 180^\circ, \psi \sim 180^\circ$), L ($\phi \sim 0^\circ - 180^\circ, \psi \sim 0^\circ - 180^\circ$), P ($\phi \sim 0^\circ - 180^\circ, \psi \sim 0^\circ - 180^\circ$) состояний остатков. Цифровые индексы у букв характеризуют положения боковых цепей—1—соответствует $\sim 60,2^\circ - 180,3^\circ - 60$. Расчетная модель фрагмента приведена на рисунке.

Исходные приближения соединения формировались из 10 предпочтительных конформаций глутаминовой кислоты [4], и 10 предпочтительных конформаций глутаминовой кислоты [4].

Энергетические распределения форм фрагмента приведены в табл. 1. Как видно из таблицы, все формы основной цепи практически равновероятны. В интервале энергии (0–3) ккал/моль попадает 39

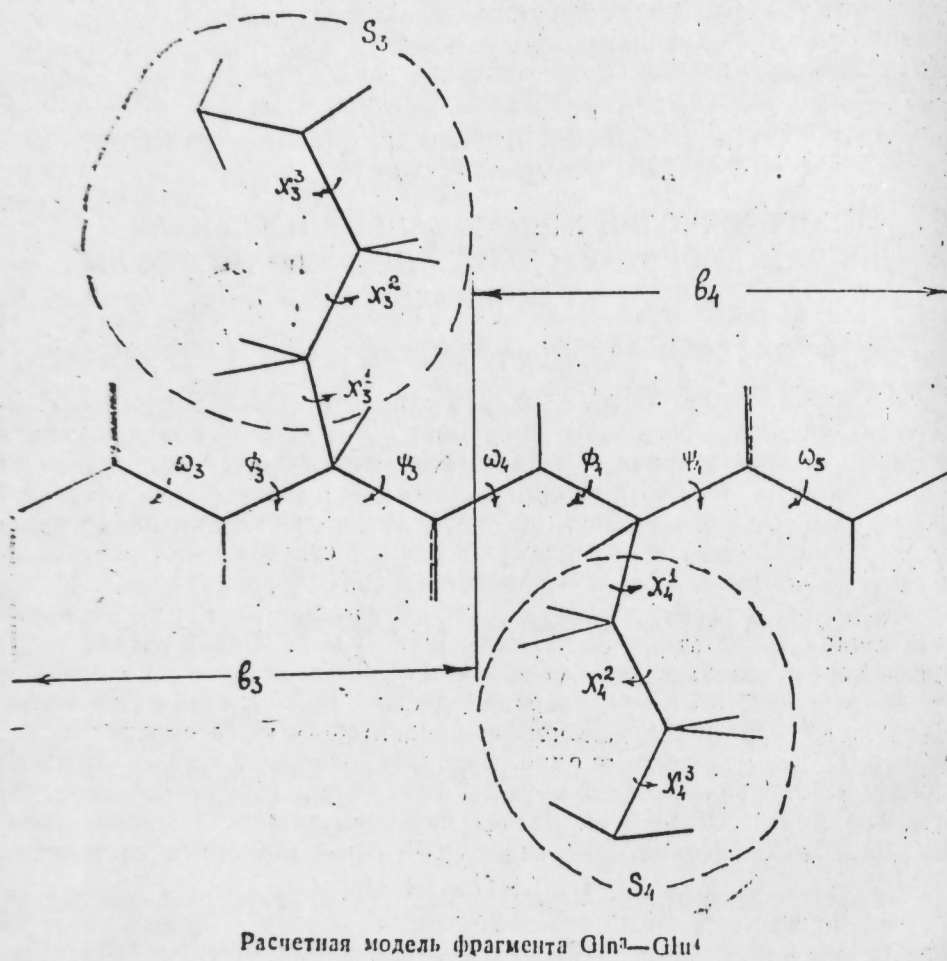


Таблица 1
Энергетическое распределение форм фрагмента Gln³—Glu⁴

Форма основной цепи	Энергетический интервал, ккал/моль					
	0–1	1–2	2–3	3–4	4–5	5
B—B	—	7	4	8	3	3
R—R	8	2	10	5	6	25
R—L	1	1	6	3	6	3

конформаций из 101 рассчитанных. Рассмотрим каждую форму основной цепи в отдельности. Энергетические параметры наиболее характерных конформаций приведены в табл. 2.

Для развернутых форм основной цепи B—B наиболее характерны стабилизирующие взаимодействия $S_3—S_4$ и $b_3—S_4$, которые могут достигнуть ~3,3 ккал/моль (табл. 2). Взаимодействия $S_3—b_4$ и $b_3—S_4$ существенно зависят от углов χ_3^1 и χ_4^1 . Для конформаций этой формы основной цепи также характерны низкая энергия взаимодействия $S_3—S_4$.

Таблица 2
Энергетические (ккал/моль) параметры наиболее характерных конформаций фрагмента

Форма основной цепи	Монопептидная эн.		Дипептидные взаимодействия							
	U_a	U_s	U_{b_3}	$U_{b_3—S_4}$	$U_{b_3—S_3}$	$U_{S_3—S_4}$	$U_{\text{топс.}}$	$U_{\text{эн.}}$	$U_{\text{отн.}}$	
B ₂₁ —B ₃₁	-1,2	4,5	0	-3,3	-2,5	-1,3	0,9	2,4	1,3	
B ₂₁ —B ₂₃	-1,5	4,0	0	-2,5	-2,5	-1,2	0,7	2,5	1,6	
B ₂₁ —B ₃₃	-0,4	4,0	-0,3	-3,3	-3,1	-1,5	1,7	2,0	1,5	
R ₂₁ —R ₃₁	-1,4	4,1	-0,6	-2,6	-1,3	-3,5	1,5	1,0	0,7	
R ₂₁ —R ₃₃	-1,1	4,0	-0,3	-1,8	-1,3	-3,0	0,6	2,3	1,4	
R ₂₂ —R ₃₁	-1,2	2,2	-0,2	-1,7	-1,5	-3,5	0,6	1,1	0,0	
R ₂₂ —L ₃₁	-1,2	5,0	0,2	-4,1	-2,6	-1,7	1,2	1,6	1,0	
R ₂₂ —L ₃₃	-1,1	4,5	0,1	-2,5	-2,6	-1,5	1,0	1,9	2,1	
R ₂₃ —L ₃₁	-0,5	4,6	0,4	-3,6	-3,4	-1,6	2,3	1,5	2,6	

Формы основной цепи R—L также являются развернутыми. Поэтому, для них характерны те же стабилизирующие взаимодействия, что и для B—B. Кроме того, как видно из табл. 2, для конформаций R—L характерным является высокая монопептидная энергия (~50 ккал/моль).

Для формы основной цепи типа R—R имеет место стабилизирующее взаимодействие типа $S_3—S_4$ (~3,5 ккал/моль) и $b_3—b_4$ (~0,6 ккал/моль). Стабилизирующее взаимодействие $S_3—S_4$ и $b_3—b_4$ осуществляется для R—R практически всегда.

Таким образом, приведенный расчет показал, что для дипептида Gln³—Glu⁴ вес развернутых B—B и свернутых форм R—R является доминирующим. Конформация с L-формой глутаминовой кислоты относительно высокоэнергетична.

Литература

- Попов Е. М. Молекулярная биология, 9, 573, 1975.
- Мотану А., МС Гире F., Burgess W., Scheraga A. J. Phys. Chem., 79, 22, 1975. (3. IUPAC—IUB Comis. Biochem. Nomenclature, "Biochem. et biophys. acta", 229, 1, 1971.)
- Липкинд Г. М., Архипова С. Ф. и др. Молекулярная биология, 902, 1974.

АГУ им. С. М. Кирова

Поступило 30. X 1981

С. М. Усеинова, Эли Казым эл Зеїди, А. І. Дәмиров, Н. М. Гочаев

ГЛУКАГОН МОЛЕКУЛУНУН Glu³-Glu⁴ ДИПЕПТИД ФРАГМЕНТИНИЙ НЭЗЭРИ КОНФОРМАСИЯ ТЭБЛИЦИ

Глүкагон молекулунун Gln^3 — Glu^4 дипептид фрагментинин конформасија төхлини едилмешдир. Полјар мүниттэ BB, RR вэ дикэр гурулушлар стабил олмушлар. Gln^3 вэ Glu^4 кэнар зэнчирлэри һесабына конформасијалар стабиллэширлэр. Електростатик гарышылыгы тэ'сир, һидрокен рабитэсийн үмуми енержије вердији нај һесабланышдыр.

S. M. Useinova, Ali Kazim al-Zeyidi, A. G. Damirov, N. M. Godgaev

THEORETICAL CONFORMATIONAL ANALYSIS OF DIPE PTIDE FRAGMENT Glu³-Glu⁴ OF THE GLUCAGON MOLECULE

Conformational analysis of dipeptide Gln³-Glu⁴ of the glucagon molecule is carried out. In polar media the most stable are the structures BB, RR etc. The side chains Gln³ and Glu⁴ are stabilized by interactions. All contributions of electrostatic interactions and hydrogen bonding into energies of the preferred forms are evaluated.

АЗЭРБАЙЖАН ССР ЕЛМЛЭР АКАДЕМИЯСЫНЫН МӘРҮЗӘЛӘРИ

ДОКЛАДЫ АКАДЕМИИ НАУК АЗЕРБАЙДЖАНСКОЙ ССР

ТОМ XXXIX ЧИЛД

№ 2

1983

УДК 678.742.2/001.69/ : 541.539.2

ХИМИЯ ПОЛИМЕРОВ

Р. М. АЛИГУЛИЕВ, Д. М. ХИТЕЕВА, А. А. МАМЕДОВ, В. А. ОГАНЯН

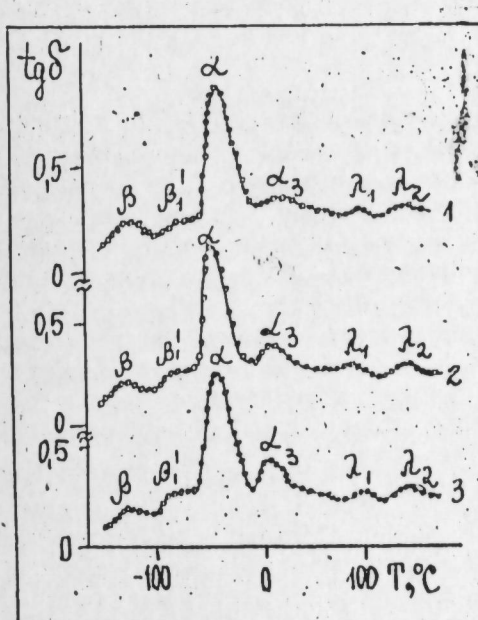
О ПРИНЦИПИАЛЬНО НОВОЙ ИНТЕРПРЕТАЦИИ МЕХАНИЧЕСКИХ СПЕКТРОВ ВНУТРЕННЕГО ТРЕНИЯ ЭТИЛЕН-ПРОПИЛЕНОВЫХ ЭЛАСТОМЕРОВ

(Представлено академиком АН Азербайджанской ССР Т. Н. Шахталинским)

Изучение структурного отклика полимеров при воздействии на них различных силовых полей методами релаксационной спектрометрии является одной из, важнейших задач физики полимеров, т. к. позволяет прогнозировать поведение полимеров в процессе эксплуатации.

Этилен-пропиленовые эластомеры относятся к новым синтетическим каучукам, значительно превосходящим по ряду свойств традиционные каучуки общего назначения, и потому релаксационная спектрометрия их особенно актуальна.

Появившиеся в последнее время сообщения по релаксации олефиновых эластомеров [2, 5, 7] обходят столь важные и интересные аспекты, как зависимость релаксационных переходов от специфических структурных особенностей.



Температурные зависимости тангенса угла механических потерь $\tan(\delta)$ (спектры внутреннего трения) этилен-пропиленовых эластомеров ($\omega = 10 \text{ сек.}^{-1}$), синтезированных на различных катализаторных системах: 1-ацетилацетонат ванадия + динизобутилалюминий хлорид; 2-тетрахлорид ванадия + ДИБАХ; 3-ванадилхлорид + ДИБАХ

Нами исследованы этилен-пропиленовые эластомеры, синтезированные в среде жидкого пропилена [8] в присутствии различных катализирующих систем [ацетилацетонат ванадия + динизобутилалюминий-

ний хлорид (I), тетрахлорид ванадия + динизобутилалюминий хлорид (II), ванадилхлорид + динизобутилалюминий хлорид (III) (табл. 1), различающиеся типами структур и степенью неоднородности [6].

Релаксационные свойства эластомеров изучались динамическим механическим методом при различных частотах в интервале $5 \cdot 10^{-3} \div 10$ Гц. Полученные температурные зависимости тангенса угла механических потерь $\tan \delta$ (спектр внутреннего трения) приведены на рисунке. Энергии активации U_1 и величины предэкспонент B_1 релаксационных процессов определяли, используя основные соотношения и положения релаксационной спектрометрии [3]. Наиболее низкотемпературный переход ($29 \div 30$ кДж/моль, $B = 1,6 \cdot 10^{-13}$ с), природа которого интерпретирована в [10], для всех трех исследованных эластомеров характеризуется одинаковыми параметрами, причем количество* кинетических единиц, участвующих в этом процессе, примерно одинаково.

Сравнительная оценка структурных особенностей этилен-пропиленовых эластомеров (47% C_2H_4 , М. м.—10⁵), синтезированных на различных катализаторах

Катализаторная система	Сод. реас. част. ("гель-фракции"), масс. % ^{**}	Относительная оптическая плотность полос поглощения по данным ИКС				
		в полимере		в "гель-фракции" (экстракт)		
		$D_{720/1310}$	$D_{1150/1310}$	$D_{1378/1310}$	$D_{720/1310}$	$D_{1378/1310}$
V(AcAc) ₃ +ДИВАХ	3,4	2,1	0,9	8,4	5,4	1,1
V ₂ Cl ₃ +ДИВАХ	12,0	1,9	0,9	7,0	5,1	1,3
VOCl ₃ +ДИВАХ	18,6	2,1	0,9	7,8	4,8	0,9

В следующем по температурной шкале низкотемпературном процессе ($U = 42$ кДж/моль, $B = 1,6 \cdot 10^{-13}$ с) участвуют те же кинетические единицы, что и в β -процессе, но они находятся в более сложных энергетических условиях. Процесс, аналогичный этому, был зафиксирован в полиэтилене низкой плотности и отнесен к подвижности нескольких групп CH_2 , в дефектных кристаллических областях полиолефина [4, 1] и назван нами β' .

Из сравнения спектров эластомеров, полученных на различных катализаторных системах, видно, что количество кинетических единиц $\beta' < \beta < \beta''$ и это не случайно.

Следующий релаксационный переход характеризует процесс стеклования (α). Предэкспонента $B = 5 \cdot 10^{-12}$ с и вычисленный объем кинетической единицы $\sim 10^{-21}$ см³ свидетельствуют о том, что в процессе участвуют свободные сегменты аморфной фазы. Большая интенсивность пика и высокие значения $\tan \delta$ приводят к заключению, что количество кинетических единиц, участвующих в данном процессе, максимально. α -процесс характеризуется энергией активации $U_\alpha = 45$ кДж/моль.

Обращает на себя внимание и тот факт, что за α -процессом наблюдается релаксационный переход, отражающий также сегментальную

подвижность ($B = 5,0 \cdot 10^{-12}$ с). Энергия активации этого процесса 59 кДж/моль, свидетельствует о затрудненности сегментальной подвижности. Поскольку это процесс сегментальной подвижности, он называется α_3 -переходом, т. к. α_1 и α_2 , обнаруженные в кристаллических полиолефинах—ПЭВП и ПЭНП, отражают сегментальную подвижность вполне определенного типа [1, 4]. Интенсивность α_3 -перехода очень сильно зависит от типа примененной катализаторной системы: $\alpha_3 < \alpha_2 < \alpha_1$. Оценочные расчеты показали равенство энергий активации α_3 -перехода, независимо от катализаторной системы. Доля же кинетических единиц с затрудненной сегментальной подвижностью, оцениваемая по отношению площади под пиком к сумме площадей $\alpha_1 + \alpha_2$, при переходе от одной катализаторной системы к другой резко изменяется и в присутствии ацетилацетона ванадия сводится почти к нулю.

Объяснение появления α_3 -релаксационного перехода следует ис-
кать в особенностях структурного состояния части сегментов, являю-
щихся функцией примененной катализаторной системы. С целью
выявления взаимосвязи структуры и релаксационных свойств эла-
стомеров нами в дополнение к более ранним результатам были предpri-
няты систематические структурные исследования этилен-пропиленовых-
эластомеров одинакового состава, синтезированных на различных ка-
тализаторных системах. Как показали результаты ИК-спектроскопии
(таблица), в эластомерах могут образовываться длинные микрополи-
этиленовые фрагменты в эластомерных цепях, характеризующиеся
усищением интенсивности полос при 720 см^{-1} , характеризующих нали-
чие цепочек $(CH_2)_n$, и уменьшением оптических плотностей полос
поглощения при 1378 cm^{-1} ($-\text{CH}_2-\text{CH}-$) и при 1150 cm^{-1} ($\begin{array}{c} | \\ -\text{CH}_2-\text{CH}- \\ | \\ \text{CH}_3 \end{array}$).

т. е. степени разветвленности. Рентгенофазовым анализом кристал-
личность не фиксируется, т. к. микрополиэтиленовые фрагменты скла-
дываются в микрокристаллы малых размеров (при электронномик-
роскопических исследованиях в режиме микродифракции они дают
характерную для упорядоченных структур картину). Эти квазикри-
сталлические структуры равномерно распределены в объеме эластомера,
Макропоявлением такого структурного состояния является наличие
в эластомерах "гель-фракции", содержание которой изменяется в
зависимости от типа катализатора, соотношения компонентов и прочих
условий синтеза. Исследования экстракта "гель-фракции" показали,
что в ней формируются структуры, аналогичные ПЭ. Доля таких
микроблоков доменов малых размеров (20–50 Å) в эластомерах дос-
тигает ~ 20 вес % и плотность их на 2–3% выше плотности основной
неупорядоченной части. Соотнесение количества "гель-фракции", эк-
страгированной из эластомера, с количеством релаксаторов, участвую-
щих в α_3 -релаксационном процессе, показывает довольно хорошую
сходимость результатов и свидетельствует в пользу нашего предпо-
ложения о наличии зон с ограниченной сегментальной подвижностью.
Вполне закономерно, что подвижность сегментов в микроупорядочен-
ных зонах с квазикристаллической структурой (микрополиэтиленовые

* Информацию о количестве кинетических единиц можно получить из соотношения площади под пиком до уровня базисной линии.

** Растворимость "гель-фракции" в *n*-гексане по сравнению с основной массой этилен-пропиленового эластомера затруднена.

домены) или в переходных к ним слоях затруднена и для ее реализации требуется несколько большая энергия активации. Переход β' — отражение мелкомасштабного движения в тех же зонах с квазикристаллической структурой и в этом случае по характеристикам он, естественно, будет близок β -переходу в ПЭНП. Так же, как β - и α -переходы составляют систему из слабовзаимодействующих подсистем в основной аморфной фазе, так и β' -и α_3 -переходы составляют аналогичную пару, но находящуюся в зонах микроупорядоченностей. Переход, аналогичный α_3 -процессу, наблюдался ранее Турлеем и Кескула [9] и был обозначен ими как $T_{1,1}$ -переход. Процесс этот увязывается авторами с движением молекулярных цепей в аморфных областях при температурах выше T_c . Это в принципе неверно, т. к. основной, наиболее крупной единицей, как показано многими исследователями, является сегмент, структурные особенности расположения которого обусловливают тот или иной релаксационный переход. Связь $T_{1,1}$ -перехода с кристалличностью и с различным составом этилен-пропиленовых сополимеров, видимо, должна быть увязана с зонами микрокристалличности, а не с аморфной фазой. Соотнесение площадей пиков стеклования и $T_{1,1}$ -перехода зависимости „ $x - T$ “ [9] к общей сумме площадей позволяет заключить, что в них участвуют 83 и 17 % общего количества релаксирующих сегментов. Первый, α -процесс, не вызывает никаких сомнений, а второй, $T_{1,1}$ — это α_3 -процесс, т. е. тот же α -процесс, но в микроупорядоченных зонах („гель-фракции“). Вполне естественно, что α_3 -процесс должен характеризоваться большей энергией активации и, следовательно, при одинаковых B_1 и частоте ω место проявления α_3 -процесса будет сдвинуто несколько правее по температурной шкале, чем α . Предполагаемая интерпретация наблюдаемого нами α_3 -процесса и $T_{1,1}$ -перехода объясняет все факты, которые казались авторам [9] необъяснимыми.

Литература

1. Алигулиев Р. М., Хитеева Д. М., Оганиян В. А. В сб. «Полиолефины, получение, модификация, применение». ЦНИИТЭнефтехим, 1981. 2. Акопян Л. А., Зобина М. В., Бартенев Г. М. ВМС, А 23, № 1, с. 63, 1982. 3. Бартенев Г. М. Релаксационные явления в эластомерах, с. 289. Химия, 1979. 4. Бартенев Г. М., Алигулиев Р. М., Хитеева Д. М. ВМС, с. 2003, А 22, № 9, 1981. 5. Бартенев Г. М., Ляйнина Н. М., Ревякин Б. И. ВМС, А 22, № 8, с. 1835, 1981. 6. Натта Дж., Вальвассори А., Сартори Дж. «Химия и технология полимеров», № 8, с. 101, 1964. 7. Погорельская В. П., Салова С. Ф., Галил-оглы Ф. А., Донцов А. А. «Каучук и резина», № 6, с. 10, 1981. 8. Сенцов Н. М. Новые синтетические каучуки на основе этилена и *α*-олефинов, с. 191. Баку, Элм, 1981. 9. Турей С. Г., Кесккула Ш. В кн.: «Переходы и релаксационные явления в полимерах», с. 86, Мир, 1968. 10. Шатики Т. Ф. В кн. «Переходы и релаксационные явления в полимерах», с. 156, Мир, 1968.

АМИ им. Н. Нариманова
Институт нефтехимических

Поступило 5. V 1982

Р. М. Элигулдиев, Д. М. Хитров, А. А. Наммалов, В. А. Осипов

ЕТИЛЕН-ПРОПИЛЕН ЕЛАСТОМЕРЛӘРИН ДАХИЛИ СУРТУНМЭЛӘРИНИН
МЕХАНИКИ СПЕКТРЛӘРИНИН ПРИНСИПНИЧЭ ЈЕНИ ИНТЕРПРЕТАСИЯСЫ
БАГГЫНАДА

β вә α-кечидләрни ики топлашына айрылмасы мүшаһидә едилемишдир ки, бу да кичик мигъяслы сегментал јүрүклүjу олан чётинләшмиш зоналарны мөвчудлугуну көстәрир. Бу процессләрдә бир катализэ системиндән дикәринэ кечәркәи, кинетик айрылыгларны һиссәләрни кәскини дәжишир.

Энээндээ структур методларла тээдиг едилмишдир ки, юксох гијмэти D_{720}/D_{450} -иэ характеризэ едилэн етилэн-пропилен еластомерлэрий гуруулушунда квазикристаллик структурлу микронизамламыш зоналар вардыр вэ онлар микросталлитлэр эмэлэ-кэтирмэ габилийжэти олан микрополиетилен фрагментларини инфаде едир. Белэ структур вэзинжэти макротезацүүр сластомерлэрдо катализатору типиндэн асылы олараг дэ-жишэн тэркибли «гел-фракси» адландырыланларын мөвчуд олмасыдьр. Turley вэ Keckkula-нын релаксациса кечидларини тэбийтийн етилен-пропилен сополимерлэрине интерпретасијасы мөвгейт тэнгизд едилмишдир.

R. M. Aliguliyev, D. M. Khiteyeva, A. A. Mamedov, V. A. Oganyan

A NEW INTERPRETATION TO MECHANICAL SPECTRA OF THE INNER FRICTION OF THE ETHYLENE-PROPYLENE ELASTOMERS

Frequency temperature correlations of the angle tangents of the mechanical losses of the ethylene-propylene elastomers, synthesized in the presence of the various catalytic systems, have been obtained.

The split of β - and α -transition into two components was observed. It proves the occurrence of complicated small scale and segmental mobility. The traditional structural methods proved the occurrence of the microarranged zones with quasi-crystal structure in the chemical composition of the ethylene-propylene elastomers.

Macromanifestation of such structural condition is the presence of the so-called "gel-fraction" in elastomers, the mobility of which depends on α - and β -transitions split.

УДК 541.127

ХИМИЯ НЕФТИ И НЕФТЕХИМИЧЕСКИЙ СИНТЕЗ.

В. С. ГАДЖИ-КАСУМОВ, Ж. М. СЕЙФУЛЛАЕВА,
Р. М. ТАЛЫШИНСКИЙ, А. А. АХУНДОВ, Р. Г. РИЗАЕВ

**КИНЕТИЧЕСКАЯ МОДЕЛЬ РЕАКЦИИ ОДНОСТАДИЙНОГО
ОКИСЛИТЕЛЬНОГО ДЕГИДРИРОВАНИЯ ИЗОПЕНТАНА
В ИЗОПРЕН**

(Представлено академиком АН Азербайджанской ССР Т. Н. Шахтахтиным)

Новым перспективным направлением в производстве изопрена—важнейшего мономера промышленности синтетического каучука—является одностадийное окислительное дегидрирование изопентана (ООДИ) [1, 2]. Сведения о комплексных исследованиях закономерностей протекания реакции ООДИ в литературе отсутствуют.

В данном сообщении изложены основные результаты, полученные при изучении кинетики и механизма ООДИ на специально разработанном нами для этого процесса высокоеффективном оксидном катализаторе.

Кинетические закономерности реакции изучались в следующих интервалах варьирования режимных параметров:

исходное парциальное давление изопентана, $P_{C_5H_{10}}^0$ —от $1,9 \cdot 10^3$ до $13,5 \cdot 10^3$ Па;

исходное парциальное давление кислорода, $P_{O_2}^0$ —от $1,2 \cdot 10^3$ до $11,8 \cdot 10^3$ Па;

объемная скорость изопентана—от 50 до 1000 ч^{-1} ; т-ра—от 590 до 630°C .

Удельная поверхность катализатора $\sim 80 \text{ м}^2/\text{г}$; $d = 0,7 \text{ г}/\text{см}^3$; размер гранул $0,5 \pm 0,8 \text{ мм}$.

Опыты проводили в безградиентном реакторе [3] в условиях, исключающих искажающее влияние процессов массо- и теплопереноса на наблюдаемые скорости химических превращений.

Продукты реакции состояли из непрореагировавших изопентана и кислорода, изоамиленов, изопрена, n -бутиленов, пропилена, этилена, углекислого газа и волнистого пара. Концентрации этилена и пропилена в контактном газе оказались приблизительно равны между собой, независимо от условий контактирования исходной реакционной смеси.

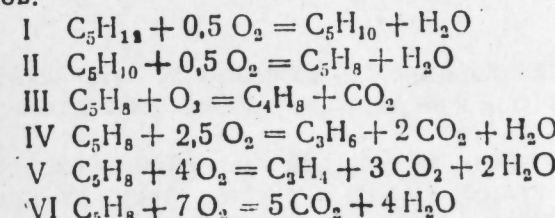
Специальная экспериментальная проверка показала, что олефиновые и диеновые углеводороды $i-C_5$ и углекислый газ не оказывают тормозящего влияния на наблюдаемые скорости суммарного превращения изопентана, накопление изоамиленов, изопрена и углекислого газа.

Изоамилены превращаются в изопрен с гораздо большей скоростью, чем изопентан, при одновременном увеличении скоростей накопления продуктов деструктивного расщепления и горения. Повы-

шение парциального давления изопрена в системе приводит к интенсификации процессов крекинга и глубокого окисления, причем последний преобладает. Скорость сгорания изопрена до углекислого газа в сопоставимых условиях намного превышает аналогичные значения для изоамиленов. Изопентан окислительной деструкции подвергается в значительно меньшей степени.

Повышение парциального давления кислорода в реакционной зоне увеличивает как скорость суммарного превращения изопентана, так и скорости накопления остальных углеводородов и углекислого газа. Отдельные направления процесса величины наблюдаемых скоростей зависят также и от парциального давления соответствующего углеводорода.

Для описания экспериментальных данных, учитывая полученные закономерности, была выбрана следующая совокупность независимых маршрутов:



Скорости по маршрутам I—VI связаны с экспериментально определяемыми значениями следующими уравнениями материального баланса:

$$\begin{aligned} \omega_{C_5H_{10}} &= -r^I, \quad \omega_{C_5H_8} = r^{III}, \\ \omega_{C_5H_{10}} &= r^I - r^{II}, \quad \omega_{C_3H_6} = r^{IV} + r^V, \\ \omega_{C_5H_8} &= r^{II} - r^{III} - r^{IV} - r^V - r^{VI}, \\ \omega_{CO_2} &= r^{III} + 2r^{IV} + 3r^V + 5r^{VI}. \end{aligned} \quad (1)$$

Минимизация на ЭВМ „Минск-22“ суммы квадратов отклонений расчетных значений скоростей от экспериментальной системы уравнений (1) показала, что наилучшая сходимость достигается при описании уравнений скоростей по отдельным маршрутам следующими зависимостями степенного вида:

$$r^I = \kappa_1 P_{C_5H_{10}} P_{O_2}^{0,5}, \quad (2)$$

$$r^{II} = \kappa_2 P_{C_5H_{10}} P_{O_2}^{0,5}, \quad (3)$$

$$r^{III} = \kappa_3 P_{C_5H_8} P_{O_2}, \quad (4)$$

$$r^{IV} = r^V = \kappa_4 P_{C_5H_8} P_{O_2}, \quad \kappa_4 = \kappa_5 \quad (5)$$

$$r^{VI} = \kappa_6 P_{C_5H_8} P_{O_2}. \quad (6)$$

Приводятся численные значения полученных констант:

$$K_1 = 1,80 \cdot 10^5 \cdot e^{-140130/RT}, \quad \text{л} \cdot (\text{л кат})^{-1} \cdot \text{ч}^{-1} \cdot \text{Па}^{-1,5},$$

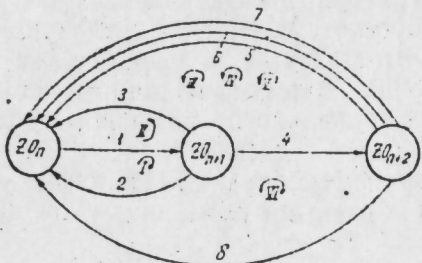
$$K_2 = 3,56 \cdot 10^4 \cdot e^{-145990/RT}, \quad \text{л} \cdot (\text{л кат})^{-1} \cdot \text{ч}^{-1} \cdot \text{Па}^{-1,5},$$

$$K_3 = 1,09 \cdot 10^6 \cdot e^{-184050/RT}, \quad \text{л} \cdot (\text{л кат})^{-1} \cdot \text{ч}^{-1} \cdot \text{Па}^{-2},$$

$$K_4 = K_5 = 3,00 \cdot 10^6 \cdot e^{-191420/RT}, \quad \text{л} \cdot (\text{л кат})^{-1} \cdot \text{ч}^{-1} \cdot \text{Па}^{-2},$$

$$K_6 = 4,19 \cdot 10^6 \cdot e^{-193890/RT}, \quad \text{л} \cdot (\text{л кат})^{-1} \cdot \text{ч}^{-1} \cdot \text{Па}^{-2}.$$

Уравнения (2–6) отвечают следующему направленному графу механизма (рисунок) при реализации процесса одностадийного окислительного дегидрирования изопентана в изопрен в области малых заполнений поверхности катализатора реагирующими веществами. Символом ZO_{n+2} обозначена совокупность активных центров, ответственных за реакции крекинга и глубокого окисления.



Энергетическая неоднородность поверхности катализатора доказана специальными опытами по термодесорбции изопентана, изоамиленов и изопрена.

Опытами с применением импульсной методики показано, что в изученных условиях процесс ОДИ протекает через стадии попарного окисления–восстановления поверхности катализатора.

В совокупности с уравнениями (2–6) граф механизма (рисунок) составляет кинетическую модель реакции одностадийного окислительного дегидрирования изопентана в изопрен.

Это модель с достаточно высокой степенью точности описывает реакции парциального, деструктивного и глубокого окисления, протекающие в системе и справедлива в широком интервале варьирования параметров проведения процесса, включая и область практической реализации.

Литература

1. Степанов Г. А. Ж. ВХО им. Д. И. Менделеева, № 3, 252–258, 1981.
2. Алхазов Т. Г., Лисовский А. Е. Окислительное дегидрирование углеводородов. «Химия», М., 240, 1980. 3. Тимошенко В. И., Буянов Р. А., Прошин О. А. «Кинетика и катализ», 10, 681, 1969.

Институт нефтехимических процессов АН Азерб. ССР

Поступило 28. IV 1982

В. С. Ыачыгасымов, Ж. М. Сејфуллајева, Р. М. Талышински, А. А. Ахундов,
Р. Г. Ризаев

ИЗОПЕНТАНЫН ИЗОПРЕНЭ БИРМӘРҮӘЛӘЛИ ОКСИДЛӘШДИРИЧИ ДЕҢДРОКЕИЛӘШМӘ РЕАКСИЯСЫНЫН КИНЕТИК МОДЕЛИ

Мүрәккәб тәркибли оксид катализатору үзәриндә изопентаны изопренә бирмәрүәләли оксидләшдіричи деңдрокенләшмә реаксијасынын градиентсиз системдә кинетик ганунауғүйлуглары өյрәнілмешдір. Алынаң кинетик модел кеңиши интервалда параметрлердин вариасијасының һәмчинин практики реаллашма областының әнатә едір. Реаксијаның сүр'ети парсивал оксидләшмә заманы карбоидрокен кәре 1 тәртибли, оксижен кәре исә 0,5 тәртибли, дәрнән оксидлошмә заманы исә һәм карбоидрокен, һәм дә оксижен кәре 1 тәртибли тәжілікләрдә инфаде олунур.

V. S. Gaddzi-Kasumov, Dz. M. Seifullaeva, R. M. Talyshinsky,
A. A Akhundov, R. G. Rizaev

KINETIC MODEL OF ONE-STEP OXIDATIVE DEHYDROGENATION REACTION OF ISOPENTANE TO ISOPRENE

Kinetic regularities of one-step oxidative dehydrogenation reaction of isopentane to isoprene over a complex oxide catalyst were studied in the gradientless system. The complete kinetic model (kinetic equations + mechanism graph) was obtained. Velocities for individual routes were described by kinetic equations in degree form (partial oxidation of paraffin to olefin, and olefin to diene proceeds by the first order according to hydrocarbon and 0.5—according to oxygen; whereas cracking and deep oxidation of diene are described by the first order according to diene as well as to oxygen).

Чл.-корр. Ак. А. АЛИ-ЗАДЕ, С. А. АЛИЕВ

РАСПРЕДЕЛЕНИЕ БАРИЯ В РАКОВИНАХ ПОНТИЧЕСКИХ МОЛЛЮСКОВ И ЕГО ЗНАЧЕНИЕ ДЛЯ ПАЛЕОГЕОГРАФИИ

Одной из важных практических задач палеобиогеохимии является изучение палеогеографических условий древних геологических эпох. В этом отношении интерес представляют исследования влияния химического состава и лиофациальной обстановки на миграцию и распределение химических элементов в минеральной части беспозвоночных древних бассейнов.

Объектом исследования являлись пробы раковин понтических моллюсков Восточного Азербайджана. Анализу подвергались раковины представителей как одного вида, обитавшего в различное время понтического века, так и раковины разных видов, представляющих тот или иной биоценоз. Особое внимание уделялось изучению характера распределения бария во вмещающих их отложениях.

Таблица 1

Распределение Ba в раковинах *Dreissensia stefanescui* F o n t.

Место взятия образцов	Возраст	Средн. содер- жание Ba в раковинах	Средн. содер- жание Ba в породе	Литологический состав пород
Хыныслы	Сред. point	Не обн. 0,01	0,1 0,1	Глины
	Верх. point	Не обн. Не обн.	0,1 0,1	Глины с песчаным мат.
Мейсары	Сред. point.	Не обн. 0,007	0,05	Глины
	Сред. point.	0,007	0,05	Тонкозернистые пески с примесью глини
Набур	Верхн. point	Не обн.	0,1	Глины
	Средн. point	Не обн.	0,05	Глины
Сагиян	Верхн. point	Не обн.	0,05	Глины
	Верхн. point	0,01	0,05	Тонкозернистые пески с глинистым и значи- тельным ракушечным материалами
Джорат	Верхн. point	Не обн.	0,1	Глины

По данным рентгеноструктурных исследований раковины изученных моллюсков сложены арагонитом с характерным эндотермическим эффектом при 400—460°C. Исследования показали, что содержащийся в раковинах барий распределяется неравномерно. При этом, пропорциональной зависимости между содержанием бария в раковинах и вмещающих их отложениях не устанавливается. Достаточно убедительно

это иллюстрируется на табл. 1, 2. Содержание бария в породах варьирует в пределах от 0,05 до 0,1%. При одном и том же количестве бария в отложениях, содержащих раковины моллюсков, один и тот же вид из различных фациальных зон бассейна, по-разному накапливает барий. Так, при наличии 0,05% бария в породе (табл. 2) его присутствие обнаруживается во всех пробах ископаемых скелетных остатков моллюсков и выражается в диапазоне 0,003—0,01%. В другом случае при содержании бария в субстрате раковины содержат настолько малое количество бария, что он не улавливается ни в одной из проб ископаемых материалов.

Таблица 2

Распределение Ba в раковинах отдельных видов беспозвоночных, приуроченных к глинистым и песчаным отложениям

Название видов	Место сбора	Возраст	Средн. содер. Ba в ракови- нах, %	Литологический состав пород
<i>Dr. rimestiensis</i>	Мейсары	Ср. point	0,01	Мелкозернистые слабоглинистые пески
<i>Dr. antsoconcha</i>	"	"	0,005	"
<i>Dr. meissarensis</i>	"	"	0,007	"
<i>Pr. ampelakiensis</i>	"	"	0,006	"
<i>Pr. schirvanica</i>	"	"	0,01	"
<i>Nev. sundica</i>	"	"	0,008	"
<i>Zag. rugosa</i>	"	"	0,003	"
Вмещающие породы	"	"	0,05	"
<i>Dr. stefanescui</i>	Хыныслы	Ср. point	Не обн.	Глины
<i>Dr. antsoconcha</i>	"	"	Не обн.	"
<i>Dr. polymorpha</i>	"	"	Не обн.	"
<i>Pr. ampelakiensis</i>	"	"	Не обн.	"
<i>Pr. schirvanica</i>	"	"	Не обн.	"
Вмещающие породы	"	"	0,075	"

Обращает на себя внимание содержание бария в раковинах моллюсков, обитавших в мелководной зоне бассейна. Лиофациальный анализ и многочисленные определения содержания бария в раковинах и породах показывают, что все пробы ископаемых остатков пелеципод и гастropод из верхней части сублиторали по сравнению с таковыми относительно глубоководных биоморфических зон бассейна содержат устойчивое повышенное количество бария. Данные о содержании бария в раковинах как одинаковых, так и различных видов моллюсков в зависимости от литологического типа отложений, очевидно, свидетельствуют о разных свойствах геохимической миграции бария для отдельных биоморфических зон бассейна.

Следовательно, отсутствие корреляционной связи между концентрацией бария пород и раковин, с одной стороны, и контрасты, выражающиеся в обеднении содержания бария в раковинах моллюсков из глубоководных фаций свидетельствуют, во-первых, о первичности его содержания в раковинах, и во-вторых, обусловлены, как нам представляется, различной концентрацией бария в отдельных биоморфических зонах

палеобассейнов. Тесная увязка концентраций бария с литофациальной характеристикой отложений может быть использована как один из важных критериев палеогеографических реконструкций.

Институт геологии

Ак. А. Элизадэ, С. А. Алиев

БАРИУМУН ПОНТ МОЛЛЮСКАЛАРЫНЫ ГАБЫГЛАРЫНДА ЯЈЫЛМАСЫ ВӘ ОНУН ПАЛЕОЧОГРАФИЯ УЧУН ӘҢӘМИЙЛӘТИ

Мәгаләдә кениш аналитик тәдғигат әсасында бариум элементинин Шәрги Азәрбайжанын pont molluskalaryнын габыгларында яјылма хүсусијәтлери арашдырылышы дыр. Нәтичәдә бу элементтин газынты налында олан molluskalardaky фаиз мигдары илә һөвзәнин билавасытә физики-чографи шәранти арасында асылылыг мүәյҗәни едилмишdir.

Ak. A. Alizade, S. A. Aliyev

DISTRIBUTION OF BARIUM IN TESTS OF PONT MOLLUSKS AND ITS VALUE FOR PALEOGEOGRAPHY

Results of study of biochemical characteristics of barium on an example of pont mollusks in Eastern Azerbaijan are summarized on a large analytical material. Clear correlation between barium distribution in test specimens and lithofacies conditions of basin is established by the results of comparison of middle content of barium in the tests of fossil mollusks with its data in rocks and lithological composition.

АЗӘРБАЙЧАН ССР ЕЛМЛӘР АКАДЕМИЈАСЫНЫН МӘРУЗӘЛӘРИ

ДОКЛАДЫ АКАДЕМИИ НАУК АЗЕРБАЙДЖАНСКОЙ ССР

ТОМ XXXIX ЧИЛД

№ 2

1983

УДК 551.781.42

ПАЛЕОНТОЛОГИЯ

С. А. ШИХЛИНСКИЙ

О ПРИСУТСТВИИ GLOBOROTALIA LEHNERI В СРЕДНЕЭОЦЕНОВЫХ ОТЛОЖЕНИЯХ НАХИЧЕВАНСКОЙ АССР

(Представлено академиком АН Азербайджанской ССР К. А. Ализаде)

Группа планктонных фораминифер, широко представленная в среднеэоценовых отложениях Араксинской зоны Малого Кавказа по разнообразию видового и родового состава, заслуживает особого внимания. Изучение их в конкретных разрезах позволило нам выделять снизу вверх четыре микрофаунистических зоны: *Hantkenina aragonensis*, *Globigerinatheka subconglobata*, *Acarinina rotundimarginata*, *Truncorotaloides rohri*.

Среди них зона *Acarinina rotundimarginata* характеризуется присутствием следующего планктонного комплекса: *Acarinina rotundimarginata* Sub b., *Globigerina frontosa* Sub b., *G. pseudoeocana* Sub b., *G. eocaena* Guemb., *G. subtriloculinoides* Chal., *G. pseudovenecuelana* Bäppig et Blow, *Globigerinatheka index* (Finl.), *C. kugleri* (Bölli, Loebi. et Tapp.), *Globorotalia lehneri* Cus h m. et Jarv., *G. spinulosa* Cus h m., *G. renzi* Bölli, *G. centralis* Cus h m. et Berm., *G. pomeroli* Toum. et Bölli, *Hantkenina lehneri* Cus h m. et Jarv., *H. alabamensis* Cus h m., *H. liebusi* Shokh. *Truncorotaloides topplensis* (Cus h m.).

Наиболее интересно присутствие в комплексе *Globorotalia lehneri* Cus h m. et Jarv., впервые описанного Кешмэном и Джарвисом из формации Навет Тринидада [4]. Биозона данного вида охватывает, начиная с верхней части зоны *Globigerapsis kugleri* до зоны *Truncorotaloides rohri* включительно [1, 3, 4, 5]. В разрезах Нахичеванской АССР стратиграфический интервал данного вида несколько сокращенный. Вид появляется позже—в средней части зоны *Acarinina rotundimarginata* и исчезает в ее кровле. Наиболее типичные экземпляры приурочены к средней части зоны.

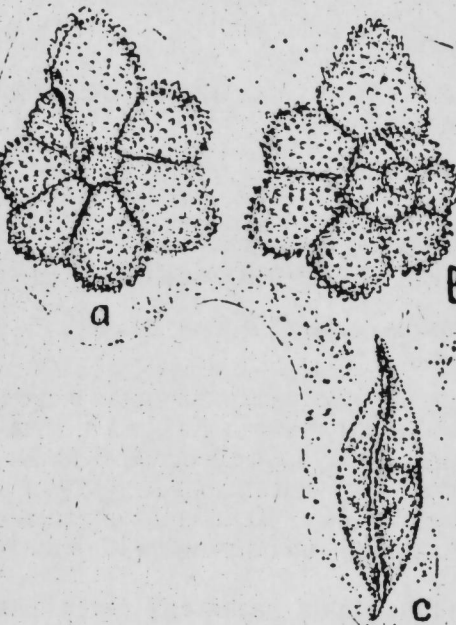
На значительной территории Средиземноморья *Globorotalia lehneri* принят как зональный вид. Поэтому присутствие его в составе зоны *Acarinina rotundimarginata* повышает возможность корреляции отложений данной зоны Нахичеванской АССР с одновозрастными осадками различных регионов. Изучение среднеэоценовых планктонных фораминифер Араксинской зоны Малого Кавказа позволяет сопоставить их с синхроничными комплексами Средиземноморья, Тихого, Атлантического и Индийского океанов.

Ниже приводится описание *Globorotalia lehneri* Cus h m. et Jarv.

Globorotalia lehneri Cushman et Jarv., 1929.

Рисунок а—с.

Globorotalia lehneri: Cushman and Jarvis, 1929, т. 3, рис. 16; Bolli, 1957 т. 38, рис. 9—13; Postuma, 1971, стр. 198—199.



Globorotalia lehneri Cushman et Jarv., 1929
Экз. №4592/1. Нахичеванская АССР,
сел. Кирна, средний эоцен, зона
Acarinina rotundimarginata; а—вид с
брюшной стороны; б—вид со спираль-
ной стороны, в—вид с перифериче-
ского края.

Оригинал—ИГ АН Азерб. ССР, № 4592/1, Нахичеванская АССР
сел. Кирна, средний эоцен, зона *Acarinina rotundimarginata*.

Описание. Раковина линзовидная, более выпуклая с пупочной стороны. Спираль низкотроходная, состоит из 2,5 оборотов быстро возрастающих по ширине. Периферический край лопастной, сильно заостренный, снабжен хорошо развитым прозрачным зазубренным килем. На спинной стороне камеры начального оборота различаются с трудом, почти не возвышаются над последним оборотом. В последнем обороте семь постепенно возрастающих, неплотно прилегающих друг к другу камер. Из них первые три имеют очертание неправильной трапеции, где ширина меньше длины. Следующие четыре камеры округло-треугольные, их ширина превышает длину. Последняя камера вытянута в радиальном направлении. На брюшной стороне камеры округло-треугольного очертания. Пупочные концы камер закругленные. На спинной стороне септальные швы между ранними камерами слабоизогнутые, слегка углубленные. Между последними камерами выпрямленные. На пупочной стороне швы радиальные, углубленные. Пупок маленький, неглубокий. Устье щелевидное, расположено у основания последней камеры, протягивается от пупка до периферического края. Поверхность стенки мелкопористая.

Размеры:

Экз.	Наибольший диаметр, мм	Толщина мм
№ 4592/1	0,51	0,18
№ 4592/2	0,49	0,17
№ 4615/1	0,47	0,18
№ 4603/6	0,31	0,13

Изменчивость. Наиболее изменчивым бывает число камер последнего оборота (от 5 до 8).

Сравнение. Близким видом является *Globorotalia spinulosa* Cushman, описанный Кешмэном из отложений формации Гуаябал (средний эоцен) Мексики. Описываемый вид отличается от него менее выпуклой брюшной стороной, отсутствием гранул на пупочных концах камер, сильно сжатым периферическим краем, округло-треугольной формой камер на брюшной стороне.

Распространение. В Нахичеванской АССР встречается в зоне *Acarinina rotundimarginata*. Известен из среднего эоцена Сирии, Югославии, Италии, Марокко, Сенегала, Тринидада, Кубы, Индии, Новой Зеландии, Японии.

Материал. Более 25 экземпляров удовлетворительной сохранности найдены в разрезах Кирна и Сира.

Литература

- Крашениников В. А. Географическое и стратиграфическое распределение планктонных фораминифер в отложениях палеогена тропической и субтропической областей. Труды ГИН АН СССР, вып. 202, 1969.
- Крашениников В. А. Вопросы микропалеонтол., вып. 18, стр. 95—135, 1975.
- Bolli H. Planktonic foraminifera from the Eocene Navet and San Fernando formations of Trinidad. B. W. I., U. S. Nat. Mus. Bull., N 215, 1957.
- Cushman J. A., Jarvis P. W. New foraminifera from Trinidad. Contr. Cushman Lab. Foram. Res., vol. 5, pt. I, pp. 6—17, pls 2—3, 1929.
- Postuma J. A. Manual of planktonic foraminifera, p. 198—199, 1971.

Институт геологии

Поступило 19. I 1982

С. А. Шихлинский

Globorotalia lehneri НӨВҮҮНҮН НАХЧЫВАН МССР-НИ ОРТА ЕОСЕН ЧӨКҮНТҮЛЭРИНДЭ ТАПЫЛМАСЫНА ДАЙР

Мэгэлэдэ Нахчыван МССР-ни эразиснндэ ишишар етмиш Орта Еоцен яшлы *Acarinina rotundimarginata* зонасынын комплексндэ ишилрак сээн G. lehneri Cushman et Jarv. нөвүүн илк, тэсвир иерилж. Бу нөв Аралыг дээнизи, Сакит, Атлантик вэ Һинд океанлары нөвзэлэрийн ejinijschliyli чөкүнтулэриндэ зонал нөв кими танынмышдыр. Она көрэ дэ Нахчыван МССР-ни *Acarinina rotundimarginata* зонасынын чөкүнтулэрийн јухарыда адлары чөкилэн реконларын ejinijschliyli сүхурлары илэ билавасын коррелясијасында бу тапытынын эхэмийжти гејд олуур.

S. A. Shikhilinsky

ON THE PRESENCE OF *GLOBOROTALIA LEHNERI* IN THE MIDDLE EOCENE OF NAKHICHEVAN ASSR

Globorotalia lehneri Cushman et Jarv. species participated in composition of *Acarinina rotundimarginata* zone of Middle Eocene deposits of Nakhichevan ASSR is described in this article. Its presence in the *Acarinina rotundimarginata* zone raises the possibility of deposit correlations of this zone in Nakhichevan ASSR with synchronous complexes of Mediterranean sea, the Pacific, the Atlantic and the Indian oceans.

С. Ш. МАМЕДОВ

ИЗМЕНЕНИЕ СОДЕРЖАНИЯ КАРОТИНОИДОВ И МАСЛА ПЛОДОВ ОБЛЕПИХИ В ПРОЦЕССЕ СОЗРЕВАНИЯ

(Представлено академиком АН Азербайджанской ССР В. И. Ульянищевым)

Облепиха крушиновая *Hippophae rhamnoides* L. относится к семейству лоховых *Elaeagnaceae*, объединяющему 3 рода, в которые входят 45 видов деревьев и кустарников [12, 13].

В составе плодов облепихи обнаружено значительное количество важнейших полезных веществ, таких как витамины C, B₁, B₂, E, провитамины A (каротин), а также жирное масло, сахара, органические кислоты и аминокислоты, некоторые фенольные и другие соединения [1, 14, 15, 16]. Масло облепихи, полученное из ягод, используется в качестве препарата для лечения различных заболеваний [2, 4, 5, 17].

Исследования показали, что водные и спиртовые вытяжки из коры содержат активные вещества против различных штаммов из опухулей мышей. Одно из них 5-окситриптамин, содержание которого в коре колеблется от 0,3 до 0,4% [10].

Таблица 1

Изменение содержания каротиноидов в плодах различных сортов облепихи в различные фенологические фазы (мг % на 100 г веса сырья)

Фаза созревания	Название сорта							
	Золотой початок		Дар Катуни		Витаминная		Новость Алтая	
	на сырой вес	на сухой вес	на сырой вес	на сухой вес	на сырой вес	на сухой вес	на сырой вес	на сухой вес
Плоды зеленые	Следы	Незначительное количество	Следы	Незначительное количество	Следы	Незначительное количество	Следы	Незначительное количество
Плоды побуревшие	6,25	20,1	3,6	18,4	7,4	22,5	4,6	19,9
Ботанически зрелые	9,8	30,3	11,0	42,7	10,5	47,4	29,6	49,2
Полная зрелость	11,7	44,7	19,4	51,3	17,6	55,6	35,2	57,8

Изучение химического и биохимического состава плодов облепихи проводится достаточно обширно. Известно, что основные массивы облепихи в СССР распространены на Кавказе [3, 11]. Однако естественные заросли облепихи уже не удовлетворяют растущий спрос, поэтому свое-

временно встал вопрос о выращивании этого растения в культуре во многих районах нашей страны. В настоящее время известны работы по культуре облепихи, переведенной в пределы естественного ареала и вне его [3, 7, 8, 9, 11].

Весьма вероятно, что введение облепихи в культуру является чрезвычайно важной задачей не только с практической, но и теоретической точки зрения. Это возможно лишь при глубоком изучении ее биологии, химии, биохимии и других особенностей. В настоящей работе излагаются некоторые данные по содержанию каротиноидов и жирного масла в плодах различных сортов облепихи, выращиваемой в условиях Апшерона.

Таблица 2

Изменение содержания масла в плодах различных сортов облепихи в различные фенологические фазы (% на сырой вес сырья)

Фазы созревания	Название сорта							
	Золотой початок		Дар Катуни		Витаминная		Новость Алтая	
	Плодовая мякоть с кожурой	Семена						
Плоды зеленые	—	—	—	—	—	—	—	—
Плоды побуревшие	1,55	3,4	2,49	3,7	1,75	2,8	3,45	5,0
Ботанически зрелые	2,6	4,45	3,9	4,1	2,4	3,6	4,85	6,1
Полная зрелость	4,7	7,6	5,2	7,83	3,9	5,4	5,2	6,75

Сырье для исследования было собрано в Ботаническом саду Института ботаники АН Азербайджанской ССР у 4 сортов облепихи — «Золотой початок», «Дар Катуни», «Витаминная», «Новость Алтая». Общее содержание жирного масла определяли по методу Ермакова и др. [6]. Сумма каротиноидов определялась по методу Мурри [6]. Анализы плодов проводились в 4-кратной повторности. В результате проведенных исследований было установлено, что вес 100 шт. плодов у сорта «Золотой початок» составляет 28,2 г, «Дар Катуни» — 32,9 г, «Витаминная» — 41,2 г, «Новость Алтая» — 19,5 г.

В результате проведенных исследований установлено, что содержание суммы каротиноидов в плодах изученных сортов облепихи в зависимости от процесса созревания наибольшее — в зрелых плодах, минимальное — в зеленых (табл. 1).

Такая изменчивость показывает, что количество каротиноидов по мере созревания плодов увеличивается, что характерно для многих плодово-ягодных растений.

По всей вероятности, это происходит в результате превращения ряда веществ в другие продукты обмена, в частности каротиноиды. Изучение динамики накопления каротиноидов в плодах различных сортов облепихи происходит наряду с динамикой накопления жирного масла, в течение процесса созревания плодов.

Из данных табл. 2 видно, что в семенах и в плодовой мякоти указанных сортов облепихи, количество жирного масла постепенно повышается.

шается и наибольшее содержание его отмечено в фазе полного созревания плодов.

Таким образом, следует отметить, что закономерность в изменении каротиноидов в плодах исследуемых сортов облепихи имеет некоторое сходство с динамикой содержания масла.

Выводы

1. Содержание каротиноидов и жирного масла изменяется в зависимости от фазы созревания плодов облепихи сортов «Золотой початок», «Дар Катуни», «Витаминная» и «Новость Алтая», выращенных в условиях Апшерона Азербайджанской ССР.

2. Наибольшее количество каротиноидов, жирного масла отмечено в плодах указанных сортов облепихи в фазе полного созревания.

Литература

1. Абуталыбов М. Г., Асланов С. М., Новрузов Э. И. «Растительные ресурсы», 14, № 2, 220, 1978.
2. Акулинина И. А. «Советская медицина», № 11, 137, 1958.
3. Гатин Ж. Г. «Облепиха», 155. Сельхозиздат, 1963.
4. Городецкая Н. М. В кн.: «Вопросы витаминологии», 321. Барнаул, 1959.
5. Гуревич С. К. ского исследования растений», 107, 220, «Колос». Л., 1972.
6. Маликовский В. В. В кн.: «Облепиха в культуре», 12. Барнаул, 1970.
7. Мочалов В. В. В кн.: «Пути и методы обогащения дендрофлоры Сибири и Дальнего Востока», 21. Новосибирск, 1969.
8. Мочалов В. В. В кн.: «Облепиха в культуре», 29. Барнаул, 1970.
9. Пухальская Е. Ч., Петрова М. Ф., Меньшикова Г. П. «Бюллетень экспериментальной биологии и медицины», т. 50, № 10, 105, 1960.
10. Трофимов Т. Т. «Облепиха в культуре». Изд-во МГУ, 22, 1976.
11. Флора СССР, г. XV, 515, М.-Л., 1949.
12. Флора Азербайджана, т. VI, 307, Баку, 1955.
13. Шишкина Е. Е. В кн.: «Вопросы химизации сельского хозяйства Алтая», 117. Барнаул, 1965.
14. Шишкина Е. Е. В кн.: «Продуктивность дикорастущих ягодников и их хозяйственное использование», 47. Киров, 1972.
15. Шугам Н. А. Автореф. канд. дисс., 26, М., 1969.
16. Юдкина Л. Н. «Вестник венерологии и дерматологии», № 2, 20, 1951.

Институт ботаники

Поступило 15. XII 1980

С. Ш. Мамедов

ЈЕТИШМЭ ПРОСЕСИНДЭ ҖАЙТИКАНЫ БИТКИСИНИН МЕЈВӘЛӘРИНДЭ КАРОТИНОИД ВӘ ЙАГЛАРЫН МИГДАРЫНЫН ДӘЈИШМәСИ

Мәгәләдә Абшерон шәрәнтиндә јетишдирилмиши «Золотој початок», «Дар Катуни», «Витаминнаја» вә «Новост Алтая» җайтиканы сортларынын мејвәләриндэ каротиноидләр вә пижагларышынын үмуми мигдарынын јетишмә фазасындан асылы олараг дәјишилмәси көстәрилир.

Гәjd едилән җайтиканы биткисинин бу сортларынын мејвәләриндэ каротиноидләрин вә пижагларышының эн чох там јетишмә фазасында топланмасы мүэйжән едизмишилдир.

S. Sh. Mamedov

THE CHANGE OF THE CONTENTS OF THE CAROTINOIDS AND THE OIL OF THE SEA-BUCKTHORN'S FOETUSES IN THE PROCESS OF RILENING

The contents of the carotinoids and fat oil change due to the phase of ripening of the sea-buckthorn's foetuses of the "Zolotoy pochatok", "Dar Katuny", "Vitaminnaya" and "Novost Altay" sorts, cultivated in the conditions of Apsheron, Azerbaijan SSR.

The great number of the carotinoids and fat oil is marked in the foetuses of the above-mentioned sorts of the sea-buckthorn in the phase of full ripening.

АЗЭРБАЙЧАН ССР ЕЛМЛӘР АКАДЕМИЯСЫНЫН МӘРҮЗӘЛӘРИ

ДОКЛАДЫ АКАДЕМИИ НАУК АЗЕРБАЙДЖАНСКОЙ ССР

ТОМ XXXIX ЧИЛД

№ 2

1983

УДК 581.1

БОТАНИКА

Н. ЧАПАРИ

ФОРМИРОВАНИЕ ПОЛИКАМБИАЛЬНОГО УТОЛЩЕНИЯ ПРЕДСТАВИТЕЛЕЙ СУККУЛЕНТОВ И СКЛЕРОФИТОВ В УСЛОВИЯХ АПШЕРОНА

(Представлено академиком АН Азербайджанской ССР В. И. Ульянищевым)

Несмотря на многочисленные работы [1, 2, 3], посвященные изучению поликамбимальной структуры, возникновение этой структуры до сих пор не ясно.

Нами в течение трех лет проводились исследования формирования органов вегетативного побега суккулентных и склерофитных представителей маревых в естественных условиях Апшерона (Карадаг).

Суккулентные формы маревых — членистые маревые обнаруживают редукцию листовой поверхности, а их молодые побеги состоят из суккулентных ассимиляционных междуузлий, придающих молодым растениям членистый вид. Широко распространеными на Апшероне суккулентами являются поташник каспийский и сарсазан шишковатый. О. Н. Радкевичем [4] было отмечено о наиболее ярких изменчивых признаках ксероморфизма — линификации, создающие анатомический склерофит.

Из пустынных и полупустынных растений в СССР наибольшее распространение имеют склерофиты. Широко распространеными на Апшероне галофитами, ярко выраженным признаками склерофитов являются виды солянок — с. древовидная, с. вересковидная и с. почеконосная.

Результаты сравнительно-морфологического исследования побегов суккулентных форм маревых в процессе роста и формирования в условиях Апшерона показали: виды суккулентов — поташник каспийский и сарсазан шишковатый различаются по периодам роста; продолжительность формирования побегов I порядка у обоих видов почти совпадает. Побеги II и III порядка у этих видов различаются периодами роста и развития и их продолжительностью, при этом побеги II порядка являются генеративными побегами. С развитием побегов II порядка на поперечном срезе оси побегов обоих видов наблюдается поликамбальное утолщение.

Для склерофитов так же, как для суккулентов поликамбальное утолщение коррелирует с ростом и развитием побегов II порядка или генеративных побегов. Исследованные представители суккулентов и склерофитов различаются: первые редуцированными или афильными листьями, вторые — микрофильтрными. Характеризуются сходными структурными признаками оси побегов, строением меристематической зоны, поликамбимальностью проводящей системы — склеренхимной соединительной тканью с включенными вторичными пучками. Темпы роста и формирования основных органов как суккулентов, так и склерофитов

связаны с их видовой принадлежностью и, вероятно, выработами в процессе исторического развития каждого вида.

Резюмируя результаты исследования следует отметить: изученные представители маревых характеризуются высокой структурой специализацией основного органа побега—оси побега (поликамбимальное утолщение — склеренхимная соединительная ткань с включенными вторичными пучками) и листа (афильтность и микрофильтность с соответствующими анатомическими признаками), являющихся приспособительными признаками к аридным условиям и относятся к структурной эволюции.

Поликамбимальное строение как для суккулентов, так и склерофитов коррелирует с ростом и развитием генеративных побегов.

Поликамбимальное утолщение оси побегов связано главным образом с систематической принадлежностью и коечено с экологическими типами.

Литература

1. Шилкина И. А. Уч. зап. ЛГУ, серия биол. наук, 3, стр. 15—23, 1952. 2. Вутин А. А. Сб. «Морфологические структурные особенности кормовых растений Узбекистана», стр. 28—35. Изд-во ФДН Узбекск. ССР. Ташкент, 1972. 3. Василевская В. К. «Бот. журн.», т. 57, № 1, стр. 233—237, 1972. 4. Радкевич О. Н. Виола. Бот. сада СССР, т. XXVII, № 4, стр. 8—12, 1928.

Институт ботаники

И. Чапары

АВШЕРОН ШЭРАНТИНДЭ ТЭРӨЧИЧЭКЛИЙОР ФЭСИЛЭСИНИИ СУККУЛЕНТ ВЭ СКЛЕРОФИТ НУМАЛОНДЭЛЭРИНДЭ ПОЛИКОМБИАЛ ГҮРУЛУУШУН ЭМЭЛЭ КЭЛМЭСИ

Могалдо суккулент на склерофит формаларын узориндо широкий төдгигаталарын нэтийнээр гэж единийнээр. Мүүஜэн фдамшидэр ки, төдгиг одонумын номын Kallenichia сарксит, Halopeplum atrypetalum Salsola dendroidea; S. ericoides, S. диплавесен зөвсөн органилары юксөк дараахад ихтиене угрымын оламотгээр харктеризэх олонурлар. Поликамбиял гүрүлүүш генератив зогларын ишкниафа илийн коррелятивийн благодар олуб энэ сэтийнэрээ систематик группордан вэ склерофитийн асуултадар.

N. M. Chaparli

FORMATION OF POLYCAMBIAL THICKENING OF REPRESENTATIVES OF SUCCULENTS AND SCLEROPHITES IN THE CONDITIONS OF APSHERON

The paper is concerned with the results of investigations of organ formation of vegetative shoots which are the representatives of loomng forms (succulents and sclerophites).

The difference is exposed between succulents and sclerophites, which lies in the act of growth rate and development of organs of vegetative shoot.

АЗЭРБАЙДЖАН ССР ЕЛМЛОР АКАДЕМИЯСЫНЫН МЭРГҮЗӨЛӨРИ

ДОКЛАДЫ АКАДЕМИИ НАУК АЗЕРБАЙДЖАНСКОЙ ССР

ТОМ XXXIX ЧИЛД

№ 2

1983

ПОЧВОВЕДЕНИЯ

УДК 631.7

Чл.-корр. АИ Азерб. ССР С. А. Алиев, Р. А. Агабекова, И. К. Бондарь

АМИНОКИСЛОТНЫЙ СОСТАВ СЕРОЗЕМНО-ЛУГОВЫХ ПОЧВ ПОД ЛЮЦЕРНОЙ НА ФОНЕ МИНЕРАЛЬНЫХ УДОБРЕНИЙ

Поскольку аминокислоты принимают участие в биохимических процессах гумусообразования, являются биологически активными веществами, источниками азотной пищи для микроорганизмов и растений, изучение аминокислотного состава почвенных гидролизатов сероземно-луговых почв под различными культурами на фоне удобрений имеет определенное значение.

Таблица 1

Изменение количества связанных аминокислот сероземнолуговых почв под люцерной на фоне минеральных удобрений (мг на 10 г почвы)

Аминокислоты	Варианты опыта					
	контроль—без удобрений		$N_{50} P_{50} K_{50}$		$N_{100} P_{100} K_{50}$	
	глубина, см					
	0—10	10—30	0—10	10—30	0—10	10—30
Цист (серин)	0,12	0,12	0,21	0,24	0,21	0,18
Лизин	0,21	0,11	0,28	0,18	0,28	0,18
Гистидин	0,22	0,22	0,35	0,28	0,36	0,22
Аргинин	0,25	0,25	0,40	0,26	0,45	0,22
Аспарагиновая кислота	0,26	0,11	0,43	0,22	0,37	0,27
Глутамин	0,17	0,17	0,36	0,30	0,43	0,30
Серин	0,27	0,11	0,46	0,39	0,35	0,28
Глютаминовая кислота	0,32	0,32	0,53	0,49	0,60	0,44
Тreonин	0,21	0,11	0,34	0,28	0,27	0,22
Аланин	0,28	0,28	0,45	0,55	0,39	0,50
Пролин	0,21	0,21	0,36	0,27	0,30	0,48
Тирозин	0,18	0,18	0,27	0,28	0,22	0,33
Валин	0,16	0,11	0,46	0,30	0,37	0,33
Метионин	0,27	0,17	0,37	0,33	0,30	0,30
Фенилаланин	0,43	0,33	0,53	0,66	0,56	0,22
Лейцин	0,55	0,55	0,74	0,50	0,63	0,44
Сумма	4,11	3,35	6,54	5,53	6,09	5,00

Нами изучено изменение аминокислотного состава кислых гидролизатов сероземно-луговых почв под люцерной на фоне минеральных удобрений, а также количественный и качественный состав свободных

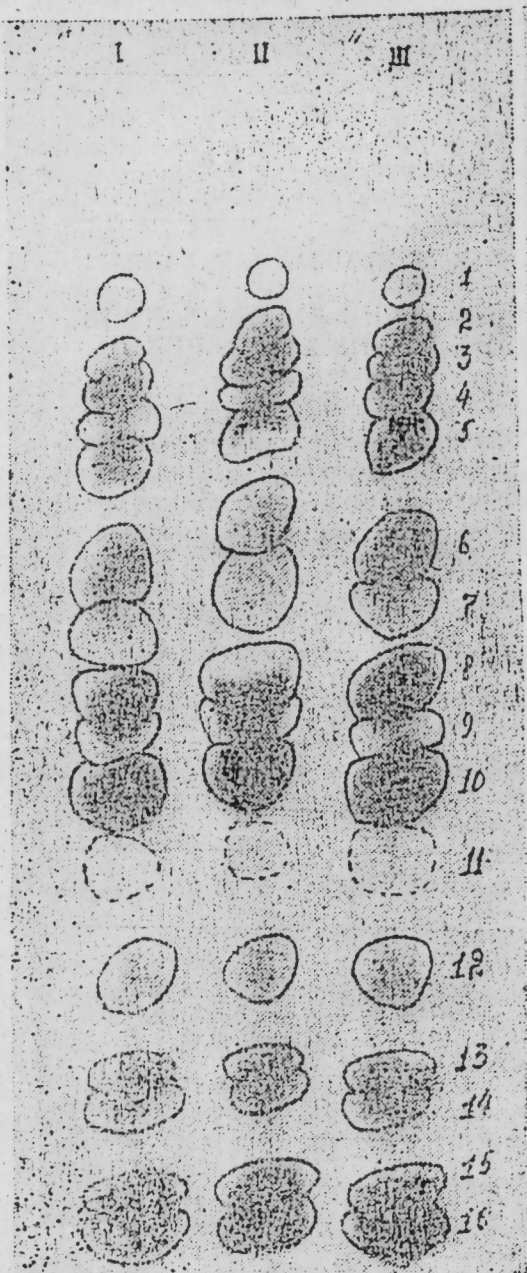


Рис. 1. Хроматограмма аминокислотного состава 0–10-сантиметрового слоя сероземно-луговых почв. Варианты опыта: I—контроль—без удобрений; II— $N_{50}P_{50}K_{50}$; III— $N_{100}P_{100}K_{50}$. Аминокислоты: 1—цист(е)ин; 2—лизин; 3—гистидин; 4—аргинин; 5—аспарagineвая кислота; 6—глицин; 7—серин; 8—глютаминовая кислота; 9—трейонин; 10—пролин; 11—глутамин; 12—тироzin; 13—валин; 14—метионин; 15—фенилаланин; 16—лейцин.

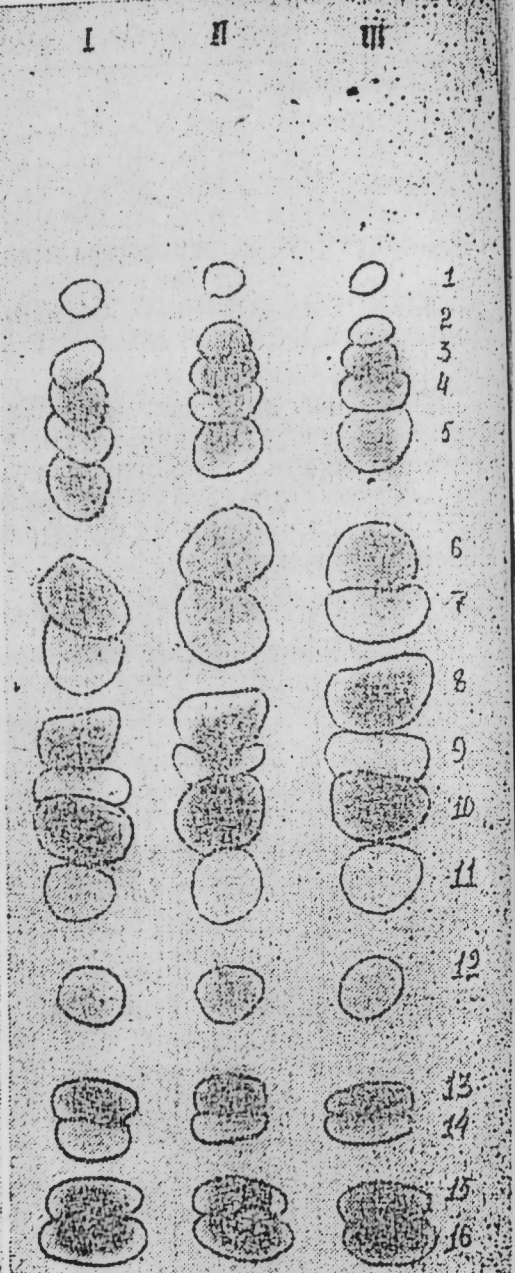


Рис. 2. Хроматограмма аминокислотного состава 10–30-сантиметрового слоя сероземно-луговых почв. Варианты опыта: см. рис. 1.

аминокислот в надземной части люцерны. Эти вопросы освещены в научной литературе, но недостаточно. (Турчин, 1956; Адерихин, Щербаков, 1970; Wand Thomas, 1967; Sovodens, 1966; Krishnamorthy, 1963).

Наши опыты на сероземно-луговых почвах показывают, что под люцерной второго года пользования при внесении оптимальных доз

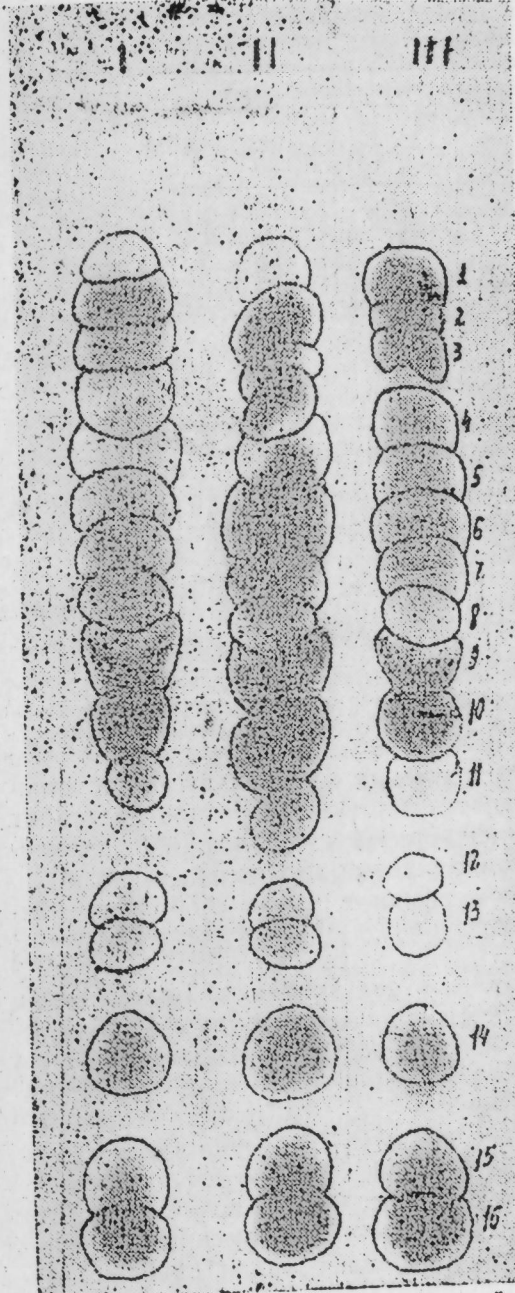


Рис. 3. Хроматограмма свободных аминокислот надземной части люцерны. Варианты опыта: см. рис. 1.

($N_{50}P_{50}K_{50}$) минеральных удобрений происходит не только накопление аминокислот, но и улучшается их качественный состав, повышается содержание незаменимых аминокислот, улучшается азотный режим почв (табл. 1, рис. 1–2). Повышение доз минеральных удобрений $N_{100}P_{100}K_{50}$) снижает накопление и качественный состав аминокислот в почве. Одна-

ко, в этом варианте общее количество и качественный состав аминокислот несколько выше, чем в контрольном неудобренном варианте.

Внесение минеральных удобрений оказывает положительное влияние на накопление аминокислот и в 10—30-сантиметровом слое почвы.

Таблица 2

Изменение количества свободных аминокислот люцерны на фоне минеральных удобрений

Аминокислоты	Варианты опыта		
	Контроль— без удобрений	N ₅₀ P ₅₀ K ₃₀	N ₁₀₀ P ₁₀₀ K ₆₀
Цист(е)ин	0,26	0,28	0,31
Лизин	0,25	0,27	0,33
Гистидин	0,44	0,49	0,71
Аргинин	0,36	0,27	0,34
Аспарагиновая кислота	1,30	1,34	1,32
Глицин	0,22	0,56	0,70
Серин	0,36	0,43	0,41
Глютаминовая кислота	0,65	0,68	0,77
Треонин	0,23	0,46	0,32
Аланин	0,68	1,96	1,05
Пролин	0,22	0,24	0,24
Тирозин	0,26	0,29	0,28
Валин	0,26	0,50	0,27
Метионин	0,39	0,49	0,45
Фенилаланин	0,25	0,27	0,29
Лейцин	0,26	0,58	0,32
Сумма	6,39	9,11	8,11

В научной литературе вопросам изучения минеральных удобрений на содержание свободных аминокислот в растении посвящен ряд работ (Ратнер и др., 1956; Пейве, 1961; Плешков, 1964; Цанаева, 1965; Казиев, Хаджиев, Аvezov, 1972; Алиев, Шыхов, Захидова, 1981).

Нами изучены количество и качественный состав свободных аминокислот люцерны второго года пользования при внесении в почву минеральных удобрений (табл. 2).

Наши исследования показывают, что под влиянием оптимальных доз минеральных удобрений повышается количество и улучшается качественный состав свободных аминокислот в надземной части люцерны (рис. 3). При повышении доз удобрений количество аминокислот несколько уменьшается.

Для характеристики качества кормов важное значение имеет содержание незаменимых аминокислот, которые не синтезируются в животном организме и должны быть введены извне. Опыты показывают, что под влиянием минеральных удобрений количество незаменимых аминокислот, таких, как фенилаланин, метионин, лизин, валин, треонин, лейцин, гистидин и, особенно, треонин увеличиваются. Наибольшее количество их обнаружено при оптимальной дозе удобрений (N₅₀ P₅₀ K₃₀).

Таким образом, в результате исследований установлено, что внесение под люцерну оптимальных доз минеральных удобрений положитель-

но влияет на азотный обмен растений, количество и качественный состав связанных и свободных в том числе незаменимых аминокислот почв и растений.

Литература

1. Алиев С. А., Шыхов М. А., Захидова Б. Б. «Изв. АН Азерб. ССР. серия биол. наук», № 6, стр. 30—33, 1981.
2. Адерихин П. Г., Шербаков А. П. Науч. докл. высшей школы. Биол. науки, № 6, стр. 99, 1970.
3. Казиев С. М., Хаджиев Т. Х., Аvezov K. «Агрохимия», № 4, стр. 127—135, 1972.
4. Пейве Я. В. Биохимия почв., стр. 111—124. М., 1961.
5. Плешков Б. П. Изв. ТСХА, № 3, стр. 112—114, 1964.
6. Ратнер Е. И., Колесов И. И., Ухтина С. Ф., Доброхотова И. Н., Кацуто О. Н. «Изв. АН СССР, серия биол.», № 6, стр. 64—82, 1956.
7. Турчин В. Ф. «Почвоведение», № 6, стр. 15—29, 1956.
8. Цанаева Н. Г. «Агрохимия», № 3, стр. 97—105, 1965.
9. Wang Thomas S. C. Jong Tze-Ken. Chengsan, Ja O Amino acids in subtropical soil hydrol. sates. Soil sci., № 1, 103, 67—74, 1967.
10. Soilfoden F. Y. Nature of the amino acid compounds of soil. I. Isolation and fractionation. Soil sci., № 3, 102, 202—207, 1966.
11. Krishnamorthy K. K., Duralraj D. Y. Amino acid distribution patserus In soil. Madras Agric. J., № 3, 55, 134—139, 1968.

Институт почвоведения
и агрохимии

Поступило 12. VII 1982

С. Э. Элиев, Р. Э. Агаджанова, Н. К. Бондар

МИНЕРАЛ КҮБРЭЛЭР ФОНУНДА ЙОНЧА БИТКИСИ АЛТЫНДА БОЗ-ЧЭМЭН ТОРПАГЛАРЫНЫН АМИНТУРШУЛАР ТЭРКИБИ

Мэгэлэдээ минерал күбрэлэри тэ'сирцдэн юнча биткиси алтында боз-чэмэн торпагларынын аминтуршуларын вэ слэчэ да юнча биткиси тэркибиндэки сэрбэст аминтуршуларын дэјшилмэсн мэсэлэлэри ёзранчилмийшидир.

Тэдгигат заманы мэ'лум олмушдур ки, аз мигдарда верилмиш минерал күбрэлэри торпагда вэ биткидэ аминтуршуларын тохиамасына мүсбэт тэ'сир көстэрир вэ торпагын биологи активилийни, биткисиний иед јемлилж дээрчэсний јүксэлдир. Лакин күбрэлэри дозасынны артырылмасы N₁₀₀, P₁₀₀, K₆₀ оптималь варианты (N 50 р 80 к 30) нисбэтэн амин туршуларынын мигдарынын ашагы дүшмэснэ сэбэб олур.

S. A. Aliev, R. A. Agabekova, N. K. Bondar

THE AMINO-ACID COMPOSITION OF GREY-GRASS-CROUNDS SOILS UNDER LUCERNE AGAINST A BACKGROUND OF MINERAL FERTILIZERS

It has been defined that adding different doses of mineral fertilizers to soil makes positive influence both to the qualitative composition of the soil and to the nitrates of plants, to the quantitative and qualitative composition of the free amino-acid of lucerne.

УДК 616.346.2—002:616—076.4

МЕДИЦИНА

И. М. ИСАЕВ, И. А. АХМЕДОВ

**УЛЬТРАСТРУКТУРА НЕЙРОСЕКРЕТОРНЫХ ОКОНЧАНИЙ
ЧЕРВЕОБРАЗНОГО ОТРОСТКА ПРИ РАЗЛИЧНЫХ ФОРМАХ
АППЕНДИЦИТА**

(Представлено академиком АН Азербайджанской ССР М. Г. Абуталыбовым)

При изучении нейросекреторного процесса главное внимание уделяется нейросекреции, осуществляющейся первыми клетками отдельных областей центральной нервной системы (А. Л. Поленов, 1971, 1974, А. А. Войткевич, Дедов И. И., 1972, Ю. И. Сенчик, 1971, Б. А. Сааков, с соавторами, 1972 и др.).

Об участии в нейросекреторном процессе волокон периферической нервной системы в литературе имеется мало сведений (Н. И. Зазыбин, 1953, М. Р. Купарадзе, 1954, И. В. Торская, 1957, З. Я. Ткаченко, 1964, и др.). Н. И. Зазыбин (1953) одним из первых описал эти явления и встречал по ходу периферических нервных волокон зернышки, глыбки и полагал, что они являются продуктом секреции. Тщательное изучение механизма выделения частиц «нервного вещества» позволило автору прийти к заключению, что характер данного процесса напоминает апокриновую секрецию.

При изучении рефлекторных связей нервного аппарата червеобразного отростка с различными отделами желудочно-кишечного тракта, наблюдались в сплетениях желудочно-кишечного тракта, первые клетки: их отростки, волокна, первые окончания, на поверхности которых видны зернышки различной величины и формы, грибковидные выросты. Выявленные зернышки встречались не всегда на волокнах, иногда они лежали и рядом с ними (З. Я. Ткаченко, 1964).

В литературе мы не нашли сведений об ультраструктуре нейросекреторных окончаний в периферической нервной системе, а также червеобразного отростка.

В связи с этим мы подвергли электронномикроскопическому изучению червеобразный отросток при остром (4 случая) и флегмонозном аппендиците (6 случаев). Материал брали тут же во время операции аппендэктомии, фиксировали в 2,5%-ном растворе глутаральдегида на фосфатном буфере, с последующей дофиксацией в 2%-ном забуферном растворе осмииевой кислоты. Заливку материала производили в смесь аралдитов и эпон-аралдита. Из блоков на ультратоме ЛКВ «4800» приготовили срезы, контрастировали гидроокисью свинца и уранилом, исследовали в электронном микроскопе IEM100-S.

При остром, простом и флегмонозном аппендиците во всех случаях обнаружены нейросекреторные окончания. Ряд наших электронограмм показал, что нейросекреторные окончания находятся в тесном контакте с капиллярами (рис. 1). Они могут прымяться к наружной базальной пластинке, ограничивающей перекапиллярное пространство. Сходный

тип контакта был описан в гипофизе крыс, кроликов, сумчатых крыс, мышей и млекопитающих (Hartman, 1958; Fujita a. Hartmann, 1962; Bodian 1963; Oota, Kawayashi, 1963; М. А. Беленький, 1966; R. Schulz, 1967; Ю. И. Сенчик, 1971 и др.).

Ю. И. Сенчик (1971) в области супраптического ядра белых мышей обнаружил нейросекреторные клетки, отделенные от базальной мембранны капилляров отростками глии. В таких случаях между плазматической оболочкой нейросекреторной клетки и базальной мембранны капилляра автор наблюдал нередко, но на довольно значительном протяжении глиальный отросток в виде дубликатуры составляющих его мембран. Нарушения целостности мембран глиального отростка он не наблюдал. Чрезвычайно редко в области супраптического ядра автор обнаруживал картины непосредственного контакта плазмолеммы нейросекреторной клетки с базальной мембранны капилляра, но плазматические мембранны нейросекреторной и эндотелиальной клеток в местах контакта не были изменены.

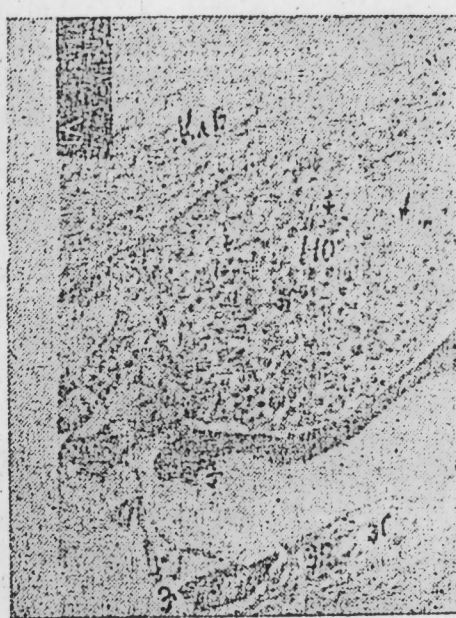


Рис. 1.

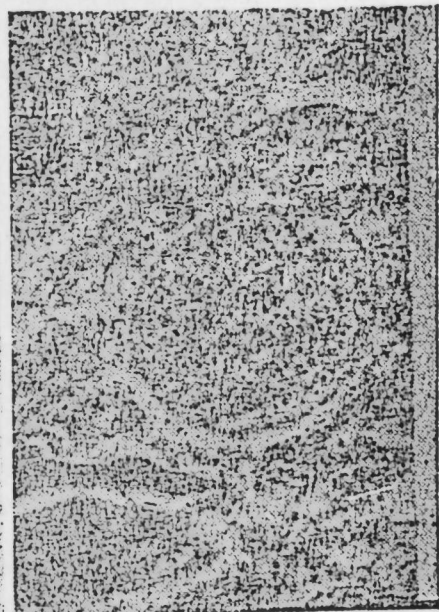


Рис. 2.

Нейросекреторные окончания, контактирующие с капиллярами в задней доле гипофиза белых мышей, встречаются относительно часто и вероятно, обеспечивают наиболее быстрое поступление нейрогормонов в кровоток. Согласно данным некоторых исследователей, имеется два типа нейроцитов, содержащих нейросекреторный материал. Первый тип характеризуется высоким содержанием нейросекреторного материала и субстанции Нисселя, находится в состоянии «накопления или фазе покоя». Второй тип характеризуется малым числом элементарных гранул и ниссоловского вещества: эти клетки считаются высокоактивными (Lambgram, Mordoch 1966).

При исследовании различных типов нейросекреторных окончаний никогда не наблюдалось каких-либо изменений их плазматических

оболочек, а также выход элементарных нейросекреторных гранул за их пределы (А. Л. Поленов, М. А. Беленький, 1964).

В некоторых наших электронограммах обнаружено крупное нейросекреторное окончание с высоким содержанием нейросекреторного материала, которое расположено около капилляра. В ряде участков описанного окончания отмечается разрушение плазматической оболочки, а также элементарные гранулы за пределами нейросекреторного первого окончания. В просвете капилляра просматриваются эритроциты (рис. 1). При флегмононом аппендиците в электронограммах отмечается нейросекреторное окончание, содержащее относительно малое число элементарных гранул, находящихся в межклеточном пространстве, а также за пределами.

Обнаруженное нами при остром простом аппендиците нейросекреторное окончание, содержащее элементарные гранулы, митохондрии, расположено около капилляра. (рис.2). На одном участке описанного нейросекреторного окончания видны разрушения их плазматической оболочки.

Элементарные гранулы выходят за пределы нейросекреторного окончания. В данной электронограмме прослеживаются также коллагеновые волокна в продольном срезе. В ряде электронограмм обнаружено нейросекреторное окончание, находящееся в межклеточном пространстве между коллагеновыми волокнами. В некоторых участках этого нейросекреторного окончания видны разрушения их плазматической оболочки, элементарные гранулы находятся за пределами.

В литературе имеются сведения о том, что экзогенный гистамин резко уменьшает количество нейросекрета в нейрогипофизе, приводя иногда к полной элиминации окрашивающегося продукта. Одним из возможных механизмов влияния гистамина на нейросекрецию является изменение системы ацетилхолин-холинэстеразы. Следует отметить, что изменения в нейросекреторной системе под влиянием гистамина связаны не только с действием самого препарата, а также опосредуются через включение холинергического механизма (А. А. Галоян, 1965).

Аналогичные явления—уменьшение количества нейросекрета под действием эндогенного гистамина (как известно, при воспалительных процессах образуются гистамины и гистаминоподобные вещества—серотонин и др.) наблюдались нами при флегмононом аппендиците.

Согласно литературным данным, для поступления активных пептидов из аксона в кровоток, они должны преодолеть 6 препятствий: 1) оболочку гранулы; 2) оболочку аксона или аксолемму; 3) наружный листок базальной мембраны капилляра; 4) перинедотелиальное пространство; 5) внутренний листок базальной мембраны; 6) эндотелиальные клетки или поры (Б. А. Сааков с соавторами, 1972).

Известно, что наиболее активной зоной сброса является область нейроваскулярного синапса, где сосредоточено большое количество синаптических пузырьков, содержащих ацетилхолин. По мнению Саакова и соавторов, плотный материал элементарных гранул растворяется под воздействием ацетилхолина синаптических пузырьков и диффундирует в септальную зону, откуда путем пиноцитоза и через фенестры эндотелиальных клеток гормональное начало нейросекрета достигает просвета капилляров. При этом септальная зона, являясь своеобразным коллек-

тором водоизмененного нейросекрета, проникает между окружающими терминалами и образует, по образному выражению Hartman (1958), «метаболические озера», имеющие, несомненно, физиологическое значение в обмене между кровью и тканью.

Как показывают наши исследования, проведенные на обширном материале, взятом во время удаления отростков по поводу острого простого и флегмононого аппендицита, поступление активных пептидов из нейросекреторных окончаний в кровоток или межклеточное пространство осуществляется и следующим путем: ацетилхолин, входящий в состав синаптических пузырьков, растворяет оболочку аксонов или аксолемму окончаний, вследствие чего элементарные гранулы покидают нейросекреторное окончание и оказываются в межклеточном пространстве или в просвете капилляра.

Имеется прямая зависимость между клинико-морфологической формой аппендицита с количеством элементарных гранул в нейросекреторных окончаниях. Вероятно, это зависит от степени интоксикации: чем сильнее интоксикация, тем меньше элементарных гранул в нейросекреторных окончаниях, и наоборот.

Литература

1. Войткевич А. А., Дедов И. И. Архив анат., гистол. и эмбриология, 53, 8, 18—29, 1976.
2. Галоян А. А. Некоторые проблемы биохимии гипоталамической регуляции. Ереван, 1965.
3. Беленький М. А. Электронная микроскопия клеток животных, 26—51. М.—Л., 1966.
4. Зазубин И. И. Сб. Проблемы межнейронных и нейротканевых отношений, 90—101. Киев, 1953.
5. Купарадзе М. Р. Канд. дисс. Тбилиси, 1954.
6. Поленов А. Л. Гипоталамическая нейросекреция. Л., 1971.
7. Поленов А. Л. Архив анат., гистол., эмбриология, 67, 7, 5—19, 1974.
8. Поленов А. Л., Беленький М. А. «Дан СССР», 154, 4, 940—943, 1964.
9. Сааков Б. А., Бардахчян Э. А., Гульян Э. С., Наумов Н. И. Электронная микроскопия нейросекреторной системы. М., 1972.
10. Ткаченко З. Я. В сб.: «Мат-лы нейросекреторные элементы и их значение в организме», 217—219. М., 1964.
11. Торская И. В. Мат-лы научн. конф. и симпозиума по проблеме «Морфологическое выражение реактивности нервной системы в нормальных и патологических условиях», 181—187. Баку, 1967.
12. Bodian D. Bull. Johns Hopkins Hospital, 113, 2, 57, 93, 1963.
13. Оота У., Kabayashi H., Rana catesbeiana, 2. Zellforsch., 60, 5, 667—687, 1966.
14. Schulz R., Uett J. Res., 20, 422, 1967.
15. Fujita H., Hartman, F. Z. Zellforsch., 34, 6, 734—763, 1961.

АМИ им. Н. Нариманова

Поступило 30. VI 1981

И. М. Исаяев, И. Э. Эймэдов

АППЕНДИСТИН МУХТАЛИФ ФОРМАЛАРЫ ЗАМАНЫ НЕЙРОСЕКРЕТОР СОНЛУГЛАРЫН УЛТРАСТРУКТУРУНА ДАИР

Кәсқин садә (дөрд тәсадүф) вә флегмонозу аппендицит (алты тәсадүф) заманы кор бағырсағ чыхынтысы электрон микроскопия методу иле ойренилмешdir. Бу заман бүтүн тәсадүфләрдә нейросекретор сонлуглар ашқар едилмишиdir.

Шәхси мүшәндәләр эсасында чәрәни амәлијат заманы көтүрүлмүш кор бағырсағ чыхынтыларында (кәсқин садә вә кәсқин флегмонозу аппендицитләрдә) нейросекретор сонлугларын эксеријэтинде онларын плазматик мембраннынын дагылмасы вә элементар дүйнүчүләрди сонлуглардан кәнарда ташымасы мүшәнди едилмишиdir.

Аппендицитин клиники-морфологи формалары иле нейросекретор сонлугларда элементар дүйнүчүләрни мигдары арасында гарышылыгы асылылыгы ашқар едилмишиdir. Бу, интоксикацијаның дәрәсесинде асылыдыр. Интоксикација иә гәдәр күчлүдүрсө, элементар дүйнүчүк нейросекретор сонлугларда о гәдәр аз вә экениң тәсадүф едиллир.

I. M. Isaev, I. A. Akhmedov

ULTRASTRUCTURE OF THE NEUROSECRETORY ENDINGS OF APPENDICES IN APPENDICITIS OF VARIOUS KINDS

6 and 4 appendices from patients with acute simple and phlegmonous appendicitis, respectively, were studied by electronmicroscopic method. Investigations of the appendices which were taken during the operation in simple and phlegmonous appendicitis showed the destruction of the neurosecretory endings plasmatic membrane. In all cases. The correlation between the clinical and morphological kind of appendicitis and the quantity of elementary granules in the neurosecretory endings was established. The number of the elementary granules in the neurosecretory endings was decreased. Apparently, this is related to heaviness of the intoxication.

УДК 612.822.3:612.66:371.711

ФИЗИОЛОГИЯ ЧЕЛОВЕКА И ЖИВОТНЫХ

T. K. БАГИРОВ, A. P. АЛЛАХВЕРДИЕВ

ПЕРВИЧНЫЙ АНАЛИЗ ЭЛЕКТРОЭНЦЕФАЛОГРАММ ДЕТЕЙ ШКОЛЬНОГО ВОЗРАСТА

(Представлено академиком АН Азербайджанской ССР Г. Г. Гасановым)

Многочисленными исследованиями электрической активности головного мозга детей было показано, что частотно-амплитудные характеристики ЭЭГ с возрастом изменяются [1, 2, 3, 4]. При этом в указанных работах для анализа ЭЭГ использовались ручные методы обработки, позволяющие вскрывать наиболее общие закономерности изменений амплитуды и ритмов активности, что по своим разрешающим возможностям существенно уступает анализу ЭЭГ на ЭВМ.

В литературе имеются отдельные работы, в которых ЭЭГ детей анализировалась с помощью ЭВМ. Так, используя метод спектрального анализа Катада с сотрудниками [5] показал наличие в электрической активности передне-центральных отделов коры наряду с доминирующей частотой субординантной составляющей, взаимоотношения между которыми складываются по-разному у детей различных возрастных групп. Однако, на наш взгляд, наиболее приемлемым для сопоставления полученных результатов с большим объемом литературных данных по визуальному анализу и обеспечения возможности дальнейшего клинико-нейрофизиологического сопоставления является метод первичного анализа ЭЭГ, предложенного А. И. Никифоровым [6].

В настоящей работе с целью описания онтогенетической динамики электрографических показателей головного мозга детей нами проводился первичный анализ электроэнцефалограмм школьников на ЭВМ.

МЕТОДИКА

Запись фоновой электрической активности головного мозга была проведена у 48 детей в возрасте от 7 до 14 лет, разделенных на четыре возрастные группы (I — 7—8, II — 9—10, III — 11—12, IV — 13—14 лет).

Регистрацию ЭЭГ осуществляли монополярным способом от лобной, центральной и затылочной областей обоих полушарий головного мозга, расположенных по международной схеме 10—20, на магнитограф 100-62 для последующего ввода в ЭВМ.

Первичный анализ ЭЭГ представлял собой полностью автоматизированную методику общепринятого ручного анализа и был реализован на ЭВМ ЕС-1010. Используемый в первичном анализе алгоритм основан на принципе выделения электрографических волн и измерения их параметров [6].

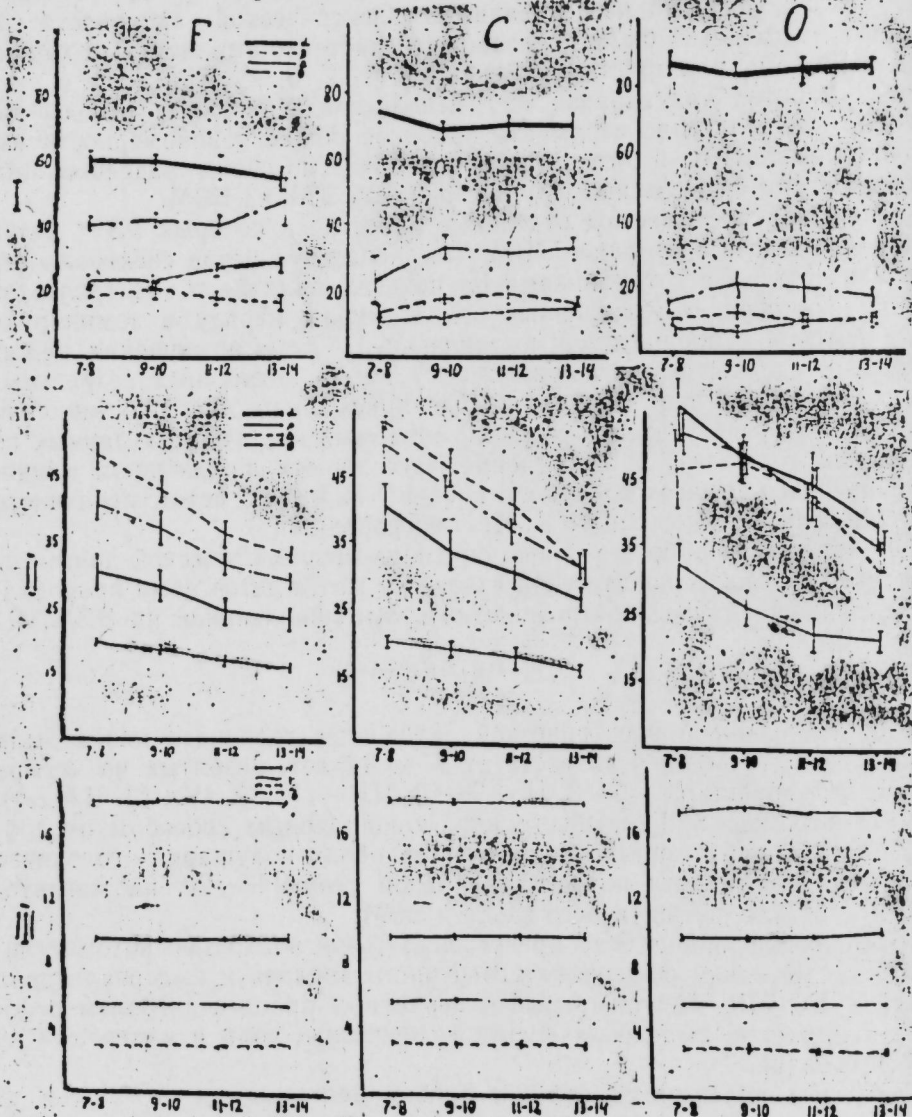
Аналиту подвергались отрезки кривой деятельности по 60 сек. В

результате обработки ЭЭГ каждое отведение описывалось 12 элементарными характеристиками: индексами, периодами, амплитудами бета-, альфа-, тета- и дельта-ритмов. Описание каждой электроэнцефалограммы содержало всего 72 предмета.

Результаты первичного анализа по каждой из исследуемых возрастных групп были обработаны статистически. Вычислялись средние величины и средне-квадратические отношения характеристик и определялась достоверность различия групповых средних (критерий Стьюдента).

РЕЗУЛЬТАТЫ ИССЛЕДОВАНИЯ И ИХ ОБСУЖДЕНИЕ

Первичный анализ электрической активности исследуемых областей правого и левого полушарий детей разных возрастных групп (от 7 до 14 лет) выявил определенные закономерности распределения выраженности частотных диапазонов ЭЭГ. Нами представлены характеристики ЭЭГ детей по ритмам.



Дельта-ритм

Индекс дельта-ритма в среднем в лобных отделах равнялся 22%, в центральных — 10—11%, в затылочных — 55%. Возрастную динамику обнаруживали изменения индекса в лобных и центральных отделах, где достоверные увеличения отмечались между I и IV группами (в среднем на 6%). В затылочных же отделах с возрастом величина индекса не изменялась (рисунок 1).

Частота дельта-ритма в среднем у детей I группы равнялась 2,7—2,8 Гц, за исключением лобных отделов и правой затылочной области, где частота была 30 Гц. В лобных отделах частота дельта-ритма возрастной динамики не обнаруживала, в то время как в центральных и затылочных областях с возрастом отмечалось некоторое снижение частоты (на 0,2—0,3 Гц) (рисунок, III). При этом следует отметить, что нарастание индекса дельта-ритма в переднецентральных отделах сопровождалось снижением его частоты.

Наиболее отчетливо с возрастом изменялась амплитуда дельта-ритма. В лобных отделах средняя амплитуда детей I группы равнялась 48 мкВ, в центральных — 5,6 мкВ, в левой затылочной — 46 мкВ, в правой — 54 мкВ. В то время как у IV группы она соответственно равнялась 34, 30, 32 и 33 мкВ (рисунок, II).

Тета-ритм

Индекс и частота тета-ритма не обнаруживали возрастных изменений. При этом величина индекса в передних отделах мозга равнялась 40% при частоте 5,3 Гц, в центральных — 28% при частоте 5,5 Гц, затылочных — 14—15% при частоте 5,8 Гц (рисунок I, III).

Достоверно с возрастом во всех отделах коры изменялась амплитуда ритма, уменьшаясь в лобных областях с 40 мкВ в I группе до 29 мкВ в IV группе, в центральных — с 47—48 до 32 мкВ, в затылочных — с 51 до 33 мкВ (рисунок, II).

Альфа-ритм

Наиболее высокий индекс альфа-ритма 85—90% наблюдался в затылочных отделах. В центральных отделах его величина равнялась 75%, в лобных — 60%. Эти величины были одинаковыми у всех возрастных групп (рисунок, I).

Частота альфа-ритма во всех отделах у детей I группы равнялась 54 Гц. При этом, если в передних отделах с возрастом она не изменялась, то в затылочных к 14 годам частота альфа-ритма повышалась до 9,8 Гц (рисунок, III).

С возрастом отмечалось резко выраженное снижение амплитуды альфа-волны. При сравнении I и IV групп можно отметить по всем отделам коры в среднем снижение в лобных на 8 мкВ, в центральных — на 15 мкВ и затылочных — на 18 мкВ (рисунок, II).

Бета-ритм

Индекс бета-ритма у 7—8-летних детей в лобных отделах был выше, чем в центральных и затылочных и равнялся соответственно 20,15 и 10%. Возрастную динамику отражает лишь индекс центральных от-

делов, который к 9—10 годам повышался до 19% и в дальнейшем не изменялся. (рисунок, I).

Средняя частота бета-ритма во всех отделах коры равнялась 18 Гц. С возрастом эта величина изменялась недостоверно (рисунок, III).

Амплитудные характеристики бета-ритма в затылочных отделах были выше, чем в передних, соответственно 27—32 и 19—20 мкВ. С возрастом детей амплитуда во всех областях коры имела тенденцию к снижению (рисунок, II).

Таким образом, проведенные нами исследования позволили выявить элементарные характеристики ЭЭГ и проследить их онтогенетическую динамику. При этом у детей 7—8 лет в ЭЭГ как передних, так и затылочных отделов коры отмечался отчетливо выраженный альфа-ритм с частотой 9,4 Гц, который с возрастом нарастал только лишь в затылочных отделах и к 13—14 годам достигал 10 Гц.

Определенный интерес вызывает снижение амплитуды всех ритмов с возрастом, это позволяет предположить, что возрастную динамику фоновой ЭЭГ детей наиболее отчетливо отражает данная характеристика. Описание особенности динамики амплитуды электрической активности с возрастом согласуется с данными некоторых авторов, наблюдавших аналогичные изменения у детей школьного возраста другими методами анализа [7].

Однако следует отметить, что выявленные характеристики ЭЭГ детей различных возрастных групп по индексам, амплитудам и частотам представляет собой большой объем информации, требующей дальнейшего глубокого анализа методами математической обработки.

Литература

1. Smith J. R. J. genet. Psychol., 1938, 53, 431—453.
2. Corbin H. P. F., Vickford R. G. EEG and Clin. Neurophysiol., 1955, 10, 31—50.
3. Фарбер Д. А., Алферова В. В. „Педагогика“, с. 200. М., 1972.
4. Алферова В. В., Фрид Г. М. Новые исследования по возрастной физиологии, № 2, с. 3—8, 1977.
5. Kataoka A., Ozaki H., Suzuki H., Suhara K. EEG and Clin. Neurophysiol., 1981, 52, № 2, 192—201.
6. Никифоров А. И., Бочкарев В. И. Журн. „Невропат. и психиатр.“, 1979, т. 74, № 2, с. 288—290.
7. Пратусевич Ю. М., Соловьев А. В., Иванов Е. И. „Сан. и гигиена“, 1980, № 9, с. 27—30.

Институт физиологии

Поступило 4. II 1983

Т. К. Багиров, Э. Р. Аллахвердиев

МЭКТЭБ ЙАШЛЫ УШАГЛАРДА ЕЛЕКТРОЕНСЕФАЛОГРАМЫНЫ ИЛКИН АНАЛИЗИ

Мүхтәлиф юш групундан олар ушагларда ЕЕГ-дә индекс, амплитуда вә тезликләр үзәр мүэйян характеристикалар алымышылар. Онларын онтогенетик динамикасыны изләмәклә белә иәтичәјә кәлмәк олар ки, ритмләрин амплитуду юш динамикасыны даһа ајдын экес етдирир.

T. K. Bagirov, A. R. Allakhverdiev

PRIMARY ANALYSIS OF EEG IN SCHOOLCHILDREN

The definite EEG characteristics of children of different age groups were obtained by means of indices, amplitude and frequencies. Observing their ontogenetic dynamics one could suggest that amplitude of every rhythm reflected age dynamics more distinctly than above mentioned characteristics.

А. С. ЮНУСОВ

ЭКИПИРОВКА ТЯЖЕЛОВООРУЖЕННЫХ ВСАДНИКОВ В АЗЕРБАЙДЖАНЕ В XII НАЧАЛЕ XIII ВВ. (ПО «ИСКЕНДЕР-НАМЭ» НИЗАМИ)

(Представлено академиком АН Азербайджанской ССР З. М. Буниятовым)

Великий азербайджанский поэт и мыслитель Низами жил и творил в один из периодов средневековой истории своей родины, когда важную роль играло государство атабеков Азербайджана—Ильденизидов. Дальнейшее развитие феодального способа производства, а вместе с ним и феодальных производственных отношений привело к изменениям в характере вооруженных сил. Пехота потеряла свои боевые качества и уже не играла серьезного значения. Военное дело полностью стало прерогативой феодалов и их конных дружины, что было вообще характерно для средневековья. Не случайно Ф. Энгельс отметил, что в эпоху феодализма кавалерия являлась «главным родом войск во всех армиях» [1, 304].

На рубеже 80—90-х гг. XII в. государство атабеков Азербайджана испытало серьезные потрясения, в основном в результате междоусобий, которые усилились после смерти в 1191 г. атабека Кызыл-Арслана [4, 77]. Политическое дробление страны сопровождалось децентрализацией вооруженных сил, а многочисленные столкновения феодалов увеличивали роль тяжеловооруженной конницы.

В это же время (между 1196 и 1200 гг.) Низами создавал поэму «Искендер-намэ», где отражен процесс дальнейшей феодализации Азербайджана. Его произведение отличается обилием батальных сцен, которые «дают богатый материал для познания различных сторон военного искусства того времени: военной техники, организации военного дела и военной психологи» [7, 63]. Изучение же этого материала актуально, ибо «ничто так не зависит от экономических условий, как именно армия и флот. Вооружение, состав, организация, тактика и стратегия зависят прежде всего от достигнутой в данный момент ступени производства» [2, 171]. Вместе с тем, сведения Низами, дополненные данными археологии и восточных миниатюр, позволяют изучить экипировку азербайджанских тяжеловооруженных всадников в XII—начале XIII вв.

Отличительной чертой военного снаряжения тяжеловооруженных всадников средневековья было наличие оборонительных доспехов—важнейшего атрибута военной культуры, показателя ремесленного мастерства и даже жизнестойкости народа [6, 7].

В „Искендер-намэ“ из всех видов доспехов чаще всего говорится о кольчугах (درع) или (جزر) широко распространенных в это время на Востоке. Так, Искендер, готовясь к бою, одел

На тело кольчугу небесного цвета,

Кольцо в кольцо, как негритянское руно,

بن بريکی آسمان گون زرده
چو مر غول زنگی گرمه برب گرمه

[14, 97]

В другом месте Низами указывает:

یکی درع رخشندۀ چشمۀ دار

[14, 197]

Одел кольчугу, блестящую, обладающую множеством колец. По данным археологии кольчуга была известна в Азербайджане уже с I в. до н. э. [3, 13; 11, 58, 62]. На одной из глазированных чаш, найденных в Байлакане при раскопках слоев XI—XII вв., изображена кольчуга [10, 143, рис. 19, а].

Средневековые кольчуги отличались от античных длиной, что позволяло воину закрыть все свое тело до горла. Низами отмечает:

سواری شتابنده چون آتشی

ز سر تا قدم زیر آهن نهان

[14, 174]

Всадник быстрый, словно пламя,

От головы до пят скрытой под железом

Шея и лицо были защищены кольчужной бармицей, одходящей от шлема. Открытыми оставались только "рот для дыхания и глаз" [14, 427]. На средневеком Востоке такие шлемы имели широкое распространение [5, илл. 3; 13, табл. XXVII; 12, рис. 17]. Шлемы (گام‌خود ترک) были в основном цельные—из железа [14, 390, 419], или склепаны из бронзы и железа [14, 423].

Дополняли это снаряжение наплечники и боевой пояс [14, 96, 97], предохранявшие плечи и живот. Для усиления защиты под кольчугу чисто надевали "кафтаны из плотного шелка" [14, 103, 107, 109 и сл.]. Доспехи иногда были комбинированными: поверх кольчуги надевали панцирь (جوشن) [14, 101, 105, 145 и сл.] из железных пластинок, нашиваемых на мягкую основу. В Байлакане в слоях XI—XII вв. были найдены остатки такого пластического панциря [10, 156, рис. 32а].

Завершали защитное снаряжение щиты (سپر). По форме круглые, они изготавливались из дерева и обтягивались кожей [14, 457].

В исследуемое время в тяжелооруженной коннице броня надевалась и на коня. Низами отметил:

فرسی را برافکند بر گستوان

На коня набросил броню.

[14, 423]

Это сообщение подтверждается азербайджанскими вообще восточными миниатюрами [5, илл. 11, 18, 19, 21 и сл.], и, несомненно, свидетельствует о высоком искусстве местных оружейных мастеров.

Боевое снаряжение тяжелооруженной конницы состояло из меча (شمشیر), кинжала (خنجر), копья и дротика (ژمی), палицы (حک) или булавы (گرز), лука (کمان) и стрел (پیل).

В бою тяжелооруженные всадники применяли это оружие поэтапно, что отражено у Низами [14, 102—103, 322]. На начальной стадии они использовали метательное оружие—лук, стрелы и дротики. Частое

упоминание и описание в «Искендер-намэ» лука и стрел не случайно еще и потому, что на родине Низами, в Гяндже, «молодые люди храбрые стрелки из лука и... хорошо натягивают луки и обстругивают стрелы» [8, 208]. Низами особо отмечает двух- и трехгранные стрелы [14, 413, 453 и сл.], специально применяемые против доспехов, и указывает, что наконечники не только стрел, но и дротиков были отравлены [14, 107].



Затем в ход шли копья — оружие таранного действия, почему они были тяжелыми и длинными. Их наконечники были листовидной и четырехгранный формы [14, 107, 243, 419 и сл.]. Найденные в Азербайджане в слоях XI—XII вв. копья в основном такие, какими их описал Низами [10, 53].

Основным оружием для рукопашного боя были мечи, очень тяжелые и, возможно, двуручные, ибо Низами, говоря о поединке тяжелооруженных всадников, отмечает:

عنان يك رکابی بر انگیختند
دو دستی بیخ اند آو بیختند
Все сразу опустили поводья
И двумя руками схватились за меч.

В рукопашном бою применяли также очень тяжелые булавы и палицы [14, 82, 101, 352 и сл.]. Они, однако, скоро утратили свое первоначальное назначение, превратились в символ власти и нередко имели отличительные знаки и украшения [5, илл. 18, 51]. Низами говорит, что Искендер выступал

یکی گرزة شیر پکر بدست
Держа в руках булаву с львиной головой.

По сообщению Рашид ад-дина, у иракского султана Тогрула II (1178—1194) была булава с набалдашником в форме бычьей головы [9, 101].

Таким образом, подводя итог всему вышеприведенному, можно заключить, что военное дело в Азербайджане в XII—начале XIII вв. стояло на высоком уровне. А сведения Низами в совокупности с данными археологии и восточных миниатюр позволяют с большой долей вероятности реконструировать внешний облик азербайджанского тяжелооруженного всадника тех столетий (рисунок).

Литература

1. Энгельс Ф. Кавалерия. К. Маркс и Ф. Энгельс. Сочинения, изд. 2, т. 14. 2. Ф. Энгельс. Анти-Дюринг. К. Маркс и Ф. Энгельс. Сочинения, изд. 2, т. 20. 3. Алесов А. А. Оружие древних албанов. Авт. канд. дисс. Тбилиси, 1978. 4. Буниятов З. М. Государство атабеков Азербайджана. (1136—1225 гг.). Баку, 1978. 5. Керимов К. Азербайджанские миниатюры. Баку, 1980. 6. Кирпичников А. Н. Древнерусское оружие, вып. 3. Л., 1971. 7. Маковельский А. О. Низами о войне. «Изв. АзФАН СССР», № 6, с. 63, 1944. 8. Миклухо-Маклай Н. Д. Географическое сочинение XIII в. на персидском языке. «Уч. зап. ИВАН СССР», т. IX, 1954. 9. Рашид ад-дин. Сб. летописей, т. I, кн. 2. М.—Л., 1952. 10. Эймэдов Г. М. Орга əср. گلەن شەنەر. Бакы, 1979, 11. Ф. Л. Османов, Ф. Э. Ибрахимов. Нүздىمән тапылмыш антик дөвр албан силалары нағында Изв. АН Азерб. ССР, серия ист., филос. и права № 4 1976, 12. Notice sur le Mu see de Tsorskoe-Selo. Spb., 1960. 13. F. Sorgе. E. Herzfeld. Iranische Fel-reliefs Berlin 1910.

ظامى گنجوى. شرف نامه (ترتیب دهنده متن علمی و تدقیقی ع. ع. علیزاده) . باکو ، ۱۹۴۸

Институт истории

Поступило 11. IX 1981

А. С. Юнусов

XII ƏSR-XIII ƏSRİN ƏVVƏLLƏRİN DƏ AZƏRBALJANDA AFYR SILAHLI SÜVARILƏRİN TƏČHİZİ

(Низамини «Искандернаме» əsəri үzər)

Мəгалə Низами Кənçəviniñ «Искандернаме» поемасынын Азərbajchannda XII əsr və XIII əsrin əvvəllərində hərbi iştərixtən arashdyrlmasınyны мənbəni kimi əvrənilməsinə əsər eđilmişdir.

Кəstəriñlən dəvrədə Azərbajchannda afyır silahlı süvarininə hərbi iştərə rolu xəjli artımyshdı.

«Искандернаме» поемasыnda təsvir eđilmiş külə məğdarda dejüş cəhiylərinin təhlili kəstəriñ ki, Nizami dəvründə Azərbajchannda afyır silahlı süvarininə silahta təçhiz eđilmasın jüksək səviyyədə olmuşdur. Arxeoloji və Şərg miniatüru faktaları onlaryn zañiri kərkəməni bərpa etməjə imkan verir.

A. S. Yunusov

THE EQUIPMENT HEAVILY-ARMED RIDERS IN AZERBAIJAN IN THE XII AND AT THE BEGINNING OF THE XIII CENTURIES (ACCORDING TO „ISKANDER-NAME“ OF NIZAMI)

This article is dedicated to the history of military affair in Azerbaijan in the XII and at the beginning of the XIII centuries according to the material of the poem of Nizami Gandjevi „Iskander-name“.

Numerous war pictures in the poem of Nizami and facts of archaeology and oriental miniatures gave the author the possibility to restore the equipment of Azerbaijan heavily-armed riders in the XII and at the beginning of the XIII centuries.

АРХИТЕКТУРА

К. МАМЕДЗАДЕ, В. КЕРИМОВ

О СКЛЕПЕ МАВЗОЛЕЯ В ХАРАБА-ГИЛАНЕ

(Представлено академиком АН Азербайджанской ССР М. А. Усейновым)

Городище Хараба-Гилан расположено на территории, занимаемой тремя возвышеностями и находящимися между ними оврагами. На юго-востоке возвышается крутая обособленная скала, занятая цитаделью. К северо-западу от этой скалы идут два горных кряжа, простирающейся к югу равнины Аракса и тянущиеся на 2 км к северо-востоку в сторону к городищу. Они оканчиваются тремя высокими холмистыми возвышеностями, на которых и располагались в прошлом части города [1].

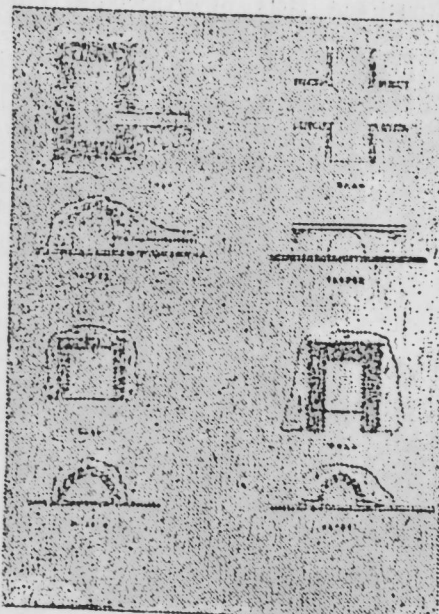


Рис. 1. Гробницы Харабы-Гилана.

Харабагиланский некрополь занимает юго-западную часть нижнего кряжа, простирающегося до самой шоссейной дороги Джульфа-Ордубад. Здесь расположено большое количество могил с огороженными участками. Могилы в основном имеют в плане форму квадрата и прямоугольника шириной 2 м и длиной 2,5–3,0 м. Покрытие — стрельчатый свод (рис. 1).

В октябре 1979 г., во время проведения археологических работ, на верхнем кряже к северо-западу от некрополя на участке стыка западной и южной крепостных стен, был обнаружен склеп мавзолея [2]. В

плане он имеет восьмиграниную форму с внутренним столбом. Расстояние между параллельными гранями — стенами составляет 530 см (рис. 2). Вход в склеп устроен с восточной стороны. На грани, расположенной с противоположной стороны входного проема, устроена боль-



2.

шая ниша шириной 2,20 м, высотой 1,4 м и глубиной 90 см. На ее левой стороне размещена маленькая ниша для хранения свечей. Несомненный интерес представляет сводчатое перекрытие склепа. На высоте 1,85 м кривые своды переходят в горизонтальную плоскость шириной 80 см, заглубленную на 4 см, образующую полосу зеркала-плафона (рис. 3).

Необходимо отметить, что подобная конструктивная схема, получившая в XII в. в знаменитом произведении Аджеми Нахичевани — мавзолее Момине-хатун — такое совершенное решение, вероятно, прошла определенный период формирования в недрах нахичеванской школы. В формировавшемся виде эта конструктивная схема оказалась достаточно устойчивой и «живучей» и нашла применение не только в нахичеванском регионе, но и далеко за его пределами [3]. Легко устанавливается ее генетическая связь с рядом усыпальниц Малой Азии более позднего периода, таких, как мавзолей Менгичек Гази а Кемахи [4], Шах Султан Хатун и Черкез бека в Иозгаде (Турция).

Изучение нами погребальных сооружений в городище Хараба-Гилане позволило установить в сохранившемся восьмигранином склепе мавзолея применение такого же конструктивного приема, но упрощенного вида. Возведение этого склепа из грубо оклоченных камней, невысокий уровень мастерства исполнения, не оставляет сомнения в том, что мастер лишь подражал шедевру усыпальной камеры мавзолея Мо-

мине—хатун. Харабагиланский мавзолей, видимо, по времени строительства может быть отнесен к периоду не ранее XV—XVI вв. Нами предлагается эскизный проект реставрации мавзолея в Хараба-Гиляне (рис. 4), который поможет восстановить его первоначальный облик. Любопытно отметить, что несколько сходные конструктивные решения

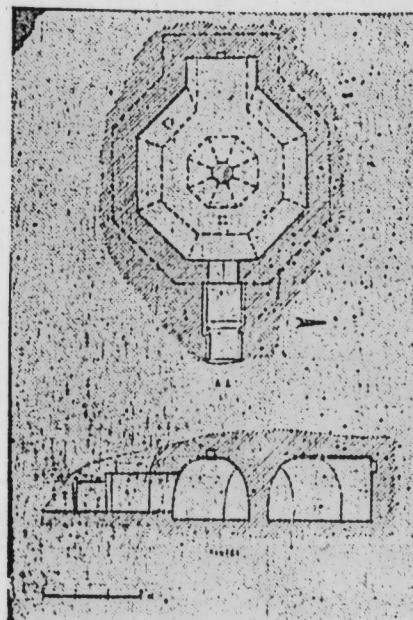


Рис. 3. Склеп мавзолея Хараба-Гилян

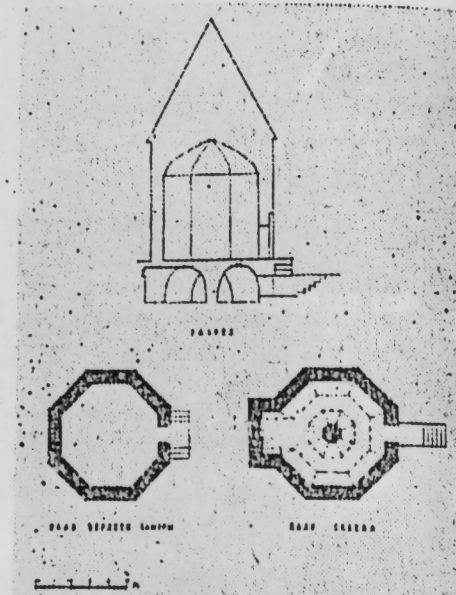


Рис. 4. Эскизный проект реставрации мавзолея

дает русское градостроительное зодчество XV в., в котором также были известны типы одностолпных трапезных палат (Грановитая палата Московского кремля, палата Новгородского кремля и т. д.).

Безусловно, все это свидетельствует об известной общности развития инженерной мысли зодчих различных стран и областей Востока и Запада, эпохи феодализма.

Литература

1. Тер-Аветисян С. В. Изв. Кавказск. историко-археолог. ин-та т. VI, с. 110. Тбилиси, 1927.
2. Мамедзаде К. М. и др. Журн. „Элм вəхаят-№ 2, с. 37—38. Баку, 1981.
3. Саламзаде А. В. Алжеми Нахичевани, с. 19. М., 1976.
4. Olaus M. Arlk Erken devir Anadolu-türk mimarisinde turbe Bİçimleri, Ankara, XIV, XLVI, sek. 2, 1969.

Институт архитектуры и искусства

Поступило 28. V 1981

К. Мамедзаде, В. Керимов

ХАРАБА-КИЛАНДАҚЫ ТҮРБЭНИН СӘРДАБАСЫ ҮАГГЫНДА

Хараба-Килан шаһәр гәбринстанлыгы Ордубад районунун әразисинде јерләшир. Бурада квадрат вә дүэбучаг шәкилләр хөјли мигдарда шәхси сәрдабалар вардыр. 1979-чу илдә бурада түрбә сәрдабасы ашкәр едилинишdir.

Сәрдаба гурулушу е'тибарилә сәккизбучаглы олуб, кириш һиссәси шәрг тәрәфдән-дир. Сәрдабаның дахиلى конструктив гурулушу—тагбәнд өртујү чох мараглыдыр. Гејд етмәк пазымдыр ки, бу конструкция гурулуш Мө'минәхатын түрбәсинде јүкәк техники сәвијјәдә һәлл олунышдур. Белә гурулушу түрбә сәрдабаларин орта Шәрг мәрмарлығында тәсадүф олунар. Абидәнин XV—XVI əсрләрдә тикилдији күмән едилир.

K. Mamedzade, V. Kerimov

THE CRYPT OF KHARABA-GILAN MAUSOLEUM

Site of ancient town Kharaba-Gilan is on the territory of Ordubad region. A great number of fenced family graves is there in Kharaba-Gilan necropolis. They are in the form of square and rectangular in plan (pict. 1). The crypt of the mausoleum was discovered here in 1979. In plan it is of an octahedral form with internal column (pict. 2,3). The crypt entrance is on the east side. On the opposite side of it there is a big niche. Left to this niche there is a small one for keeping candles. Arched ceiling of the crypt attracts special attention. It is necessary to note that the constructive scheme like this reached its perfect solution in Momine-Khatun Mausoleum. The formation of this constructive scheme probably takes its beginning from the Nakhichevan school. We can easily follow its genetic link with a number of the latest period (pict. 4). In this article we suggest restoration draft of the Kharaba-Gilan mausoleum.

Фитокимја

С. Ш. Маммадов. Іетишмә процессинде чајтиканы биткисинин мејвөләриндә каротиноид ва јагдарынын дајнишмәси 52

Ботаника

И. Чапари. Абисерон шәрәнтиндә торочи чакләр фасиләсимиң суккулент ва склерофит нұмајәндәләринде поликомбиал гүрулушуның амәлә көлмәсі 55

Торнағашұнаслығ

С. Ә. Әлиев, Р. Ә. Ағабаева, И. К. Бондар. Минерал құбрәләр фонунда юнча биткиси алтында боз-чәмән торнағларының ампнтуршулар тәркиби 57

Тибб

И. М. Испеев, И. Ә. Әхмәдов. Аппендицитин мұхтәлиф формалары нејросектор сонгуттарының ултраструктурна дәнр 62

Инсан және ветеринарлық физиологиясы

Т. К. Багиров, Ә. Р. Аллахвердиев. Мәктәб юашым ушагларда электросенфалограммының психикалық анализи 67

Тарих

А. С. Жунусов. XII әсер--XIII әсерин әввәлләринде Азәрбајҹанда атыр сийәнәли сүнәриләрни тәғбижи 71

Архитектура

К. Маммадзадә, В. Қаримов. Хараба-Киландакы түрбәнин сәрдабасы 76

МУНДӘРИЧАТ

Ријазијат

А. Ф. Кононенко, У. М. Мұхтаров. Иларасициләр үзәринде биркәмәндулуг шарты олдыгыда гејри-антагонистик дифференциал оғындар үчүн дајындылар нәзіккәттөн нағызында 3

Х. Р. Муратов. Шредникер тәнлизи бириңчи сәрбіл мәсөләсін нағызында 8

Астрономија

М. М. Мусаев. Мәншәлләрни контрасттың үзелесентрик мәсәфәдөн астында оларға дајнишмәсі 13

Физика

М. Ы. Қазымов, И. Р. Әмиррасланов. Икіпакетли CdInGaS₄-үн кристаллкүй структура 10

Р. Б. Шофизадә, Ф. Н. Әлиев, Р. М. Сұлтанов. Ag₂Te тәбәгәләринде $\alpha \rightarrow \beta$ фаза көчидинин кинетикасының тәддиги 22

Жарымкечирничеләр физикасы

К. М. Нифтиев, Б. Ҙ. Тагиев, С. А. Абушов. GaSe<46> монокристалларының фотопартермостимуллашының көчирничилүү 25

Ә. Ш. Абдинов, І. Н. Һәсәнов. n-InSe монокристалларында мәнфи фотояддаш 29

Биофизика

С. М. Усеинова, Әли Қазым әл Зөйди, А. Ы. Дәмиров, Н. М. Гоцаев. Гүлкагон молекулунун Glu³--Glu⁴ дипептид фрагментинин нәзәри конформасия тәнлили 33

Полимерләр кимјасы

Р. М. Әлигулиев, Д. М. Хитејева, А. А. Маммадов, В. А. Оганијан. Етилен-пропилен еластомерләрни дахили сүртүмләринин механик спектрләринин принципчә жөннө интерпретасиясы нағызында 37

Нефт кимјасы және нефткимја синтези

В. С. Іачигасимов, Ж. М. Сејфуллаева, Р. М. Талышински, А. А. Ахундов, Р. Ҙ. Ризаев. Изопентаның изопрене бирмәрәләли оксидләширический деңгидрокенлашма реакциясының кинетик модели 42

Палеочография

Ак. А. Әлизадә, С. А. Әлиев. Барнумун поинт полјускаларының табыгыларында дајнишмәсінен онын палеочография үчүн эшамийләті 46

Палеонтология

С. А. Шахлински. Globorotalia Lehneri новунун Научаван МССР-ин Орта Еосен чокуңтүләринде ташалмасына дәнр 49

СОДЕРЖАНИЕ

Математика

А. Ф. Кононенко, У. М. Мухтаров. О ситуациях равновесия в неантагонистических дифференциальных играх со связанными ограничениями
Х. Р. Мурадов. О первой краевой задаче для уравнения Шредингера

3
8

Астрономия

М. М. Мусаев. Изменение контраста факелов в зависимости от гелиоцентрического расстояния

13

Физика

М. Г. Кязимов, И. Р. Амирасланов. Кристаллическая структура двухпакетного CdInGaS₄

19

Р. Б. Шафизаде, Ф. И. Алиев, Р. М. Султанов. Исследование кинетики $\alpha \rightarrow \beta$ превращения в пленках Ag₂Te

22

Физика полупроводников

Г. М. Нифтиев, Б. Г. Тагиев, С. А. Абушов. Фотопроводимость и термостимулированная проводимость в монокристаллах GaSe<Ув>

25

А. Ш. Абдинов, Я. Г. Гасанов. Отрицательная фотопамять в монокристаллах n-InSe

29

Биофизика

С. М. Усейнова, Али Казим Аль Зейиди, А. Г. Дамиров, Н. М. Годжаев. Теоретический конформационный анализ дипептидного фрагмента Gln³—Glu⁴ молекулы глюкагона

33

Химия полимеров

Р. М. Алигулиев, Д. М. Хитеева, А. А. Мамедов, В. А. Оганин. О принципиально новой интерпретации механических спектров внутреннего трения этилен-пропиленовых эластомеров

37

Химия нефти и нефтехимический синтез

В. С. Гаджи-Касумов, Ж. М. Сейфуллаевъ, Р. М. Талышинский, А. А. Ахуидов, Р. Г. Ризаев. Кинетическая модель реакции одностадийного окислительного дегидрирования изопентана в изопропен

42

Палеогеография

А. Ализаде, С. А. Алиев. Распределение бария в раковинах юрских моллюсков и его значение для палеогеографии

46

Палеонтология

С. А. Шихлинский. О присутствии *cloboralia lehneri* в среднеэоценовых отложениях Нахичеванской АССР

49

ФИТОХИМИЯ

С. Ш. Мамедов. Изменение содержания каротиноидов и масла плодов облепихи в процессе созревания

52

Ботаника

Н. Чапари. Формирование поликамбиального утолщения представителей суккулентов и склерофитов в условиях Апшерона

55

Почвоведение

С. А. Алиев, Р. А. Агабекова, Н. К. Бондарь. Аминокислотный состав сероземно-луговых почв под люцерной на фоне минеральных удобрений

57

Медицина

И. М. Исаев, И. А. Ахмедов. Ультраструктура нейросекторных окончаний червеобразного отростка при различных формах аппендицита

62

Физиология человека и животных

Т. К. Багиров, А. Р. Аллахвердиев. Первичный анализ эокроэнцефалограмм детей школьного возраста

67

История

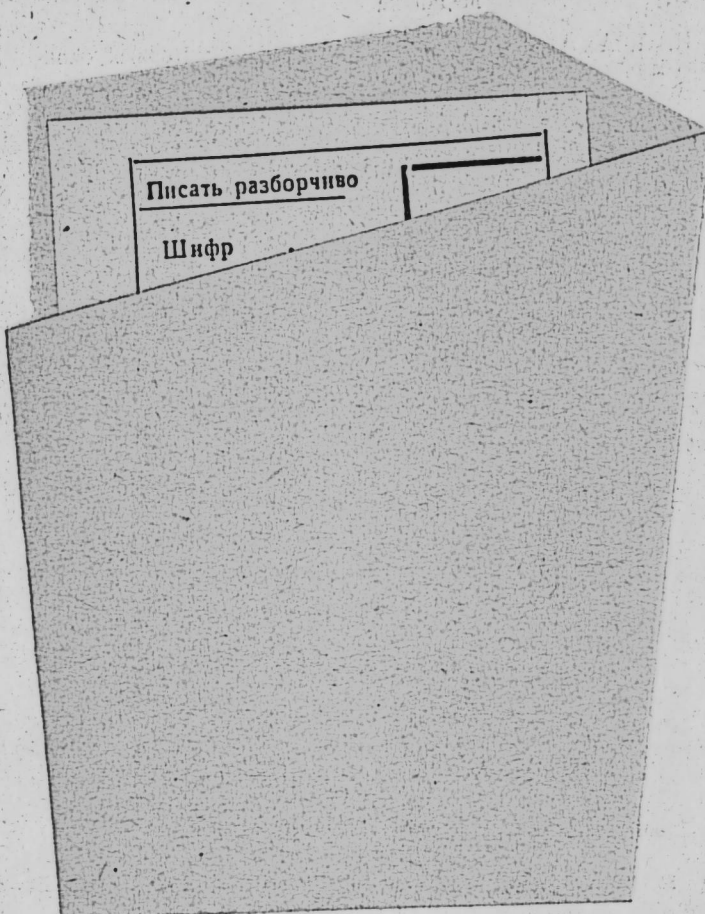
А. С. Юнусов. Экипировка тяжеловооруженных всадников в Азербайджане в XII—начале XIII вв. (По «Искендер-намэ» Низами)

71

Архитектура

К. Мамедзаде, В. Керимов. О склепе мавзолея в Харабагилане

76



Сдано в набор 29. 03. 83 г. Подписано к печати 26. 07. 83 г. ФГ 10085. Формат бумаги 70×100^{1/16}. Бумага типографская № 1. Гарнитура шрифта литератур. Печать высокая. Печ. лист 6,82. Уч. изд. лист 5,28. Тираж 620. Заказ 691. Цена 70 коп.

Издательство „Элм“.

370143 Баку-143, проспект Нариманова, 31, Академгородок, Главное здание Типография „Красный Восток“ Государственного комитета Азербайджанской ССР по делам издательств, полиграфии и книжной торговли. Баку, ул. Ази Асланова, 80.

9. Текст статьи печатается на белой бумаге через два интервала на одной стороне листа стандартного размера, с полями с левой стороны (не более 28 строк на одной странице по 58—60 знаков в строке). В тексте нельзя делать рукописные вставки и вклейки.

Статьи, напечатанные на портативной машинке, не принимаются.

10. Текст статьи должен быть изложен кратко, тщательно отредактирован и подписан авторами в печать. В математических статьях желательно избегать доказательств теорем, лемм и т. п. При использовании в тексте сокращенных названий (кроме общепринятых) необходимо давать их расшифровку.

11. Математические и химические формулы и символы в тексте должны быть вписаны четко. Следует избегать громоздких обозначений, применив, например, дробные показатели степени вместо радикалов, а также эксп. Занумерованные формулы обязательно выключаются в красную строку, номер формулы ставится у правого края страницы. Желательно нумеровать лишь те формулы, на которые имеются ссылки. Подстрочные и надстрочные индексы и степени следует отмечать карандашом, дугами сверху и снизу:

$$K^n, r_n$$

Греческие буквы нужно обводить (в кружок) красным карандашом. Буквы готического шрифта и рукописные в рукописях не использовать, векторные величины — подчеркивать черным, буквы латинского рукописного шрифта следует отметить на полях (например, Н рукоп.).

Во избежание ошибок следует четко обозначать прописные (заглавные) и строчные буквы латинского алфавита, имеющие сходное начертание (Cc; Kk; Pp; Oo; Ss; Uu; Vv; и т. д.), буквы I(i) и J(j), букву I и римскую единицу I, а также арабскую цифру 1 и римскую I' (вертикальная черта), I и штрих в индексах, I (латинское эль) и e. Прописные буквы подчеркивают карандашом двумя черточками снизу (С), а строчные — сверху (с.).

Следует избегать знаков типа ~ (волна), ⊖, ⊕, ⊗; □, ⊥, ⊥, √, ∧ (крышки) над и под буквами, а также знаков:

$$\hbar \times \underline{\epsilon}, \phi\phi, \phi, \epsilon$$

Латинские названия вписываются на машинке.

Слова «теорема», «лемма», «следствие», «определение», «замечание» и т. п. следует подчеркивать штриховой чертой, а текст утверждений типа теорем — волнистой чертой (исключая математические символы).

При выборе единиц измерения рекомендуется придерживаться международной системы единиц СИ.

12. При описании методики исследования следует ограничиваться оригинальной ее частью. При элементном анализе приводить только усредненные данные.

13. Необходимо тщательно проверить написание местных географических названий.

14. Цитированная литература проводится общим списком на отдельной странице: ссылки в тексте даются порядковым номером в круглых скобках над строкой (например, 1). Список литературы оформляется следующим образом:

для книг: инициалы и фамилии авторов, полное название книги, место и год издания;

для журнальных статей: инициалы и фамилии авторов, название журнала, номер тома, номер выпуска, страница и год издания.

Ссылки на неопубликованные работы не допускаются.

15. Все статьи должны иметь резюме на английском языке, кроме того статьи написанные на русском и азербайджанском языках должны иметь резюме на азербайджанском и на русском соответственно.

Публикация статьи в «Докладах» не препятствует напечатанию расширенного ее варианта в другом периодическом издании.

1980-1981